

Fortsatte  
maling  
udgave

FORTSATTE MALINGER PÅ  
500 M<sup>3</sup> FORSØGSVARMELAGER

KURT KIELSGAARD HANSEN  
PREBEN NORDGAARD HANSEN  
VAGN USSING

LABORATORIET FOR VARMEISOLERING  
DANMARKS TEKNISKE HØJSKOLE

RAPPORT NR. 85-2

JANUAR 1985

RESUMÉ

Denne rapport omhandler det fortsatte måleprogram med tilhørende simuleret drift og verificering af beregningsprogram for 500 m<sup>3</sup> forsøgsvarmelageret på DTH's forsøgsareal.

Først omtales edb-programmet til beregning af temperaturledning i jordvolumen og varmetab fra lager gennem bund, skråside og top. Dernæst omtales den udførte simulerede drift bestående af 8 oplade- og afladecykler med tilhørende verificering af beregningsprogrammet.

Det med beregningsprogrammet fundne varmetab fra lageret samt energimængden til opvarmning af lagervandet i de 8 opvarmningsperioder sammenholdes med den indkøbte gasmængde korrigeret med kedelsystemets nyttevirkning.

Sidst i rapporten beskrives dels observationer og beregninger af fugtbevægelsen i det flydende låg, herunder udtagning af prøver til fugtbestemmelse, dels jordfugtighedsmålinger ved varmelager.

Indholdsfortegnelse

side

1.	INDLEDNING	1
2.	EDB-PROGRAMMET FORSØGSVARMELAGER .....	2
2.1	Numerisk beskrivelse af varmetransport i jord .	4
2.2	Randbetingelser .....	11
2.2.1	Jordoverfladen .....	11
2.2.2	Temperaturerne i randnetpunkterne i jorden ....	11
2.3	Varmetab fra lager .....	12
2.3.1	Bundtab .....	12
2.3.2	Tab fra skråside .....	12
2.3.3	Toptab .....	12
2.4	Inddata til programmet .....	13
2.4.1	Jordmålepunkternes placering i differensnettet	13
2.4.2	Todimensional interpolation .....	13
2.4.3	Differensnet og jorddata .....	16
2.5	Uddata fra programmet .....	17
3.	SIMULERET DRIFT .....	20
3.1	Verificering af edb-programmet .....	22
4.	ENERGIBALANCE FOR MÅLEPERIODEN .....	23
4.1	Totalnyttevirkningsgrad for kedelsystem, korttidsmåling .....	23
4.2	Totalnyttevirkningsgrad for kedelsystem, langtidsmåling .....	24
4.3	Energibalance indtil 16/9 1984 .....	25
5.	FUGTBEVÆGELSER I DET FLYDENDE LÅG .....	27
6.	JORDFUGTIGHEDSMÅLINGER VED VARMELAGER .....	28
7.	KONKLUSION .....	31
8.	LITTERATUR .....	33

Appendix 1. Reviderede tegninger	35
Appendix 2. Målte og beregnede temperaturer i jordmålepunkterne	42
Appendix 3. Prøveattest for KBE-Tagisoleringsplade	93
Appendix 4. Måleresultater fra jordfugtighedsmålinger ved varmelager	94

## 1. INDLEDNING

I fortsættelse af EFP-82 projektet Sæsonvarmelager og det hertil hørende EF-arbejde, der blev afsluttet 30. juni 1983, omhandler denne rapport projektets forlængede måleprogrammer indtil midten af september 1984.

Der er i denne rapportering altid fuld temperaturopblanding af lagervandet af hensyn til en nøjagtig verificering af edb-programmet. Efter denne måleperiodes afslutning er der yderligere udført en cyklus med stratificeret drift, se [5], der vil være den almindelige driftsform i kommercielle lagre.

Rapporten skal ses som en forlængelse af den ovenfor omtalte rapportering, se [1]. De figurer og tegninger fra [1], der ikke er ændret, er ikke medtaget i denne rapport, men de forudæsttes kendte ved læsningen af rapporten.

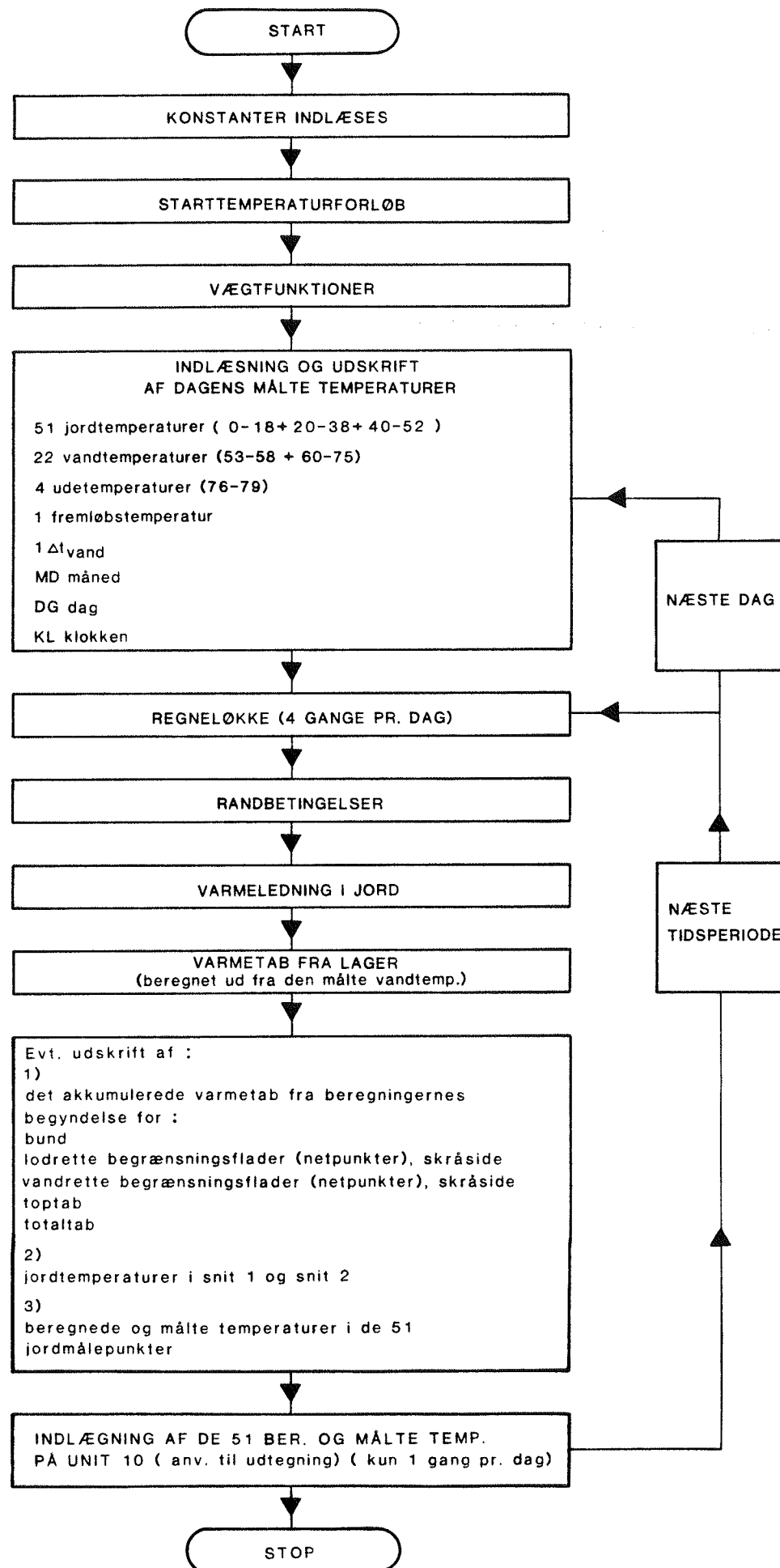
Iøvrigt bygger rapporten delvis på materiale, der har været offentliggjort tidligere, se [6], [7], [8], [9] og [10].

## 2. EDB-PROGRAMMET FORSØGSVARMELAGER

Ved Laboratoriet for Varmeisolering arbejdes med udvikling af såvel analytiske som numeriske beregningsmetoder for simulering af varmetabet fra termiske sæsonvarmelagre. Da den analytiske metode ikke er generelt anvendelig, idet den f.eks. forudsætter konstante temperaturafhængige termiske stofdata ned gennem jorden, vil denne metode ikke blive omtalt yderligere i denne fremstilling.

I de numeriske beregninger anvendes "endelige differencers metode" til beregning af varmetransporten i jorden. Med udgangspunkt i et eksisterende EDB-program til LfV's 540 m<sup>3</sup> FORSØGSVARMELAGER [1] vil den tredimensionale model for 1/8 af lager og omgivende jord blive gennemgået. I denne model er det muligt i inddata til EDB-programmet at specificere forskellige termiske egenskaber ned gennem jorden.

Ud fra den målte lagertemperatur (der er i denne rapportering altid fuld temperaturopblanding af lagervandet) og den målte udetemperatur beregner modellen temperaturen i forskellige dybder i det omgivende jordvolumen som funktion af tiden samt opsummerer varmetabet fra lageret. Derefter udskrives varmetabet, jordtemperaturer i snit 1 og snit 2 samt beregnede og målte temperaturer i de 51 jordmålepunkter. Et oversigtsdiagram over programmet er vist på figur 1.



FIGUR 1. OVERSIGTSIDIAGRAM - FORSØGSVARMELAGER - SAMKØRING

## 2.1 Numerisk beskrivelse af varmetransport i jord

Der tages udgangspunkt i Fouriers instationære varmeledningsligning:

$$\frac{\partial T}{\partial t} = \alpha \left( \frac{\partial^2 T}{\partial x^2} + \frac{\partial^2 T}{\partial y^2} + \frac{\partial^2 T}{\partial z^2} \right)$$

idet  $\alpha = \frac{\lambda}{\rho c_p}$  er temperaturledningstallet og  $\lambda$  regnes uafhængig af temperaturen  $T$ . ( $\lambda$  er varmeledningsevne og  $\rho c_p$  er specifik varmefylde).

Den benyttede "endelige differencers metode" er beskrevet nøjere i [2]. Der startes med indlæggelse af differensnetpunkter i jordvolumenet, se figur 2, figur 3 og figur 4 (netpunktet er midtpunkt i det tilsvarende volumenelement).

På figurene er netpunkterne lagt tættest nær jordoverflade og lager, fordi der her "sker mest"; netpunktsafstanden  $\Delta x = \Delta y$  er her 0,4 m og  $\Delta z = 0,3$  m. Dybere og længere væk fra lageret forøges afstandene.

Til starttidspunktet må temperaturerne i netpunkterne kendes. Endvidere må man have givet randbettingelser.

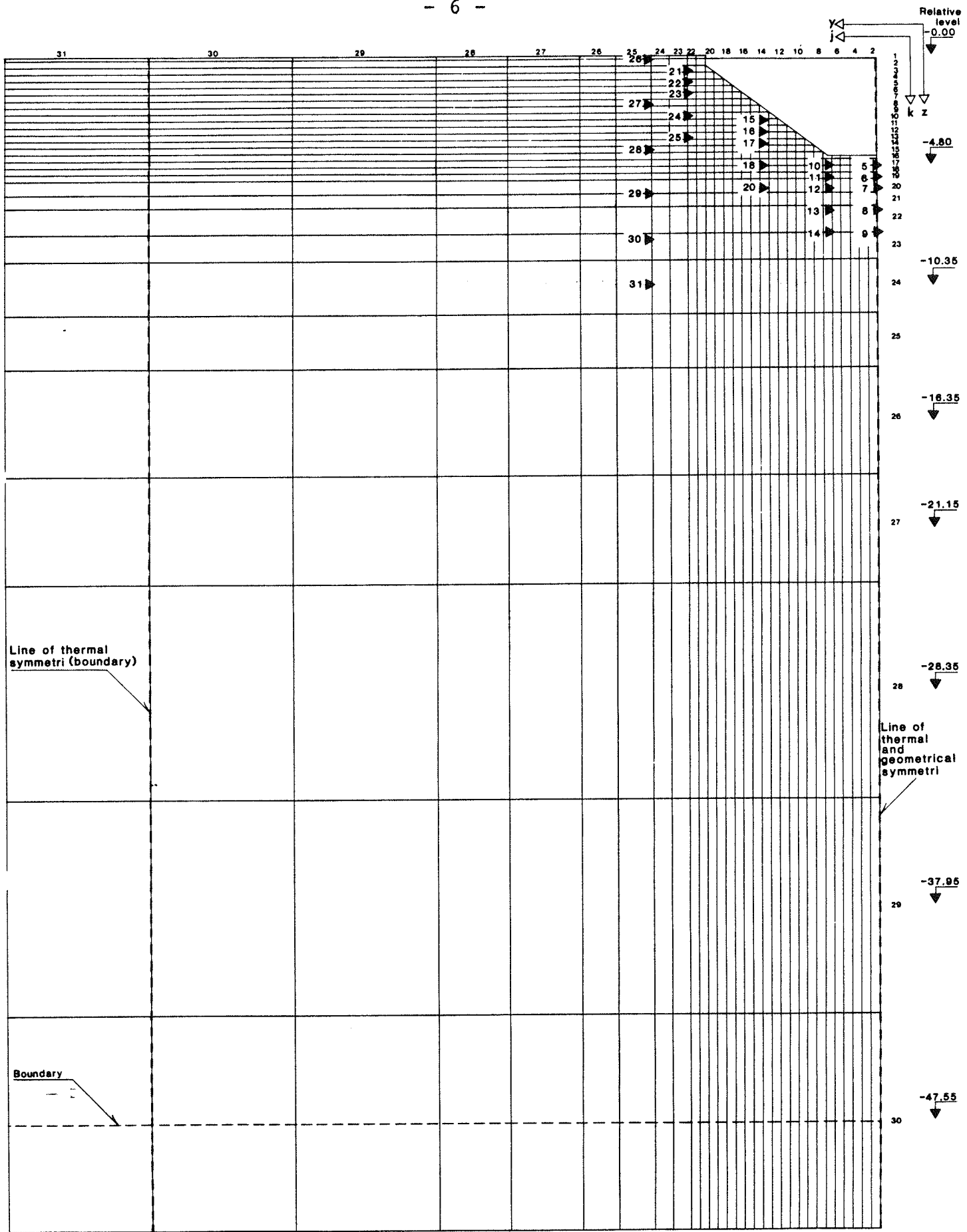
Regningerne udføres nu på den måde, at temperaturen i et netpunkt (pkt.  $(i, j, k)$ ) til tiden  $t = t_1 + \Delta t$  beregnes ud fra den kendte temperatur i netpunktet selv og i 6 nabonetpunkter til tidspunktet  $t = t_1$ , idet følgende ligning (1) anvendes:

$$Vol \cdot \rho c_{p, jord} \cdot \frac{\Delta T_t}{\Delta t} = \sum A \cdot \frac{\Delta T_{akseretn. = i, j el. k}}{M} \quad (1)$$

Lign. (1) siger: Ändringen i et volumenelements temperatur pr. tidsenhed er lig med summen af varmestrømmene gennem elementets begrænsningsflader.

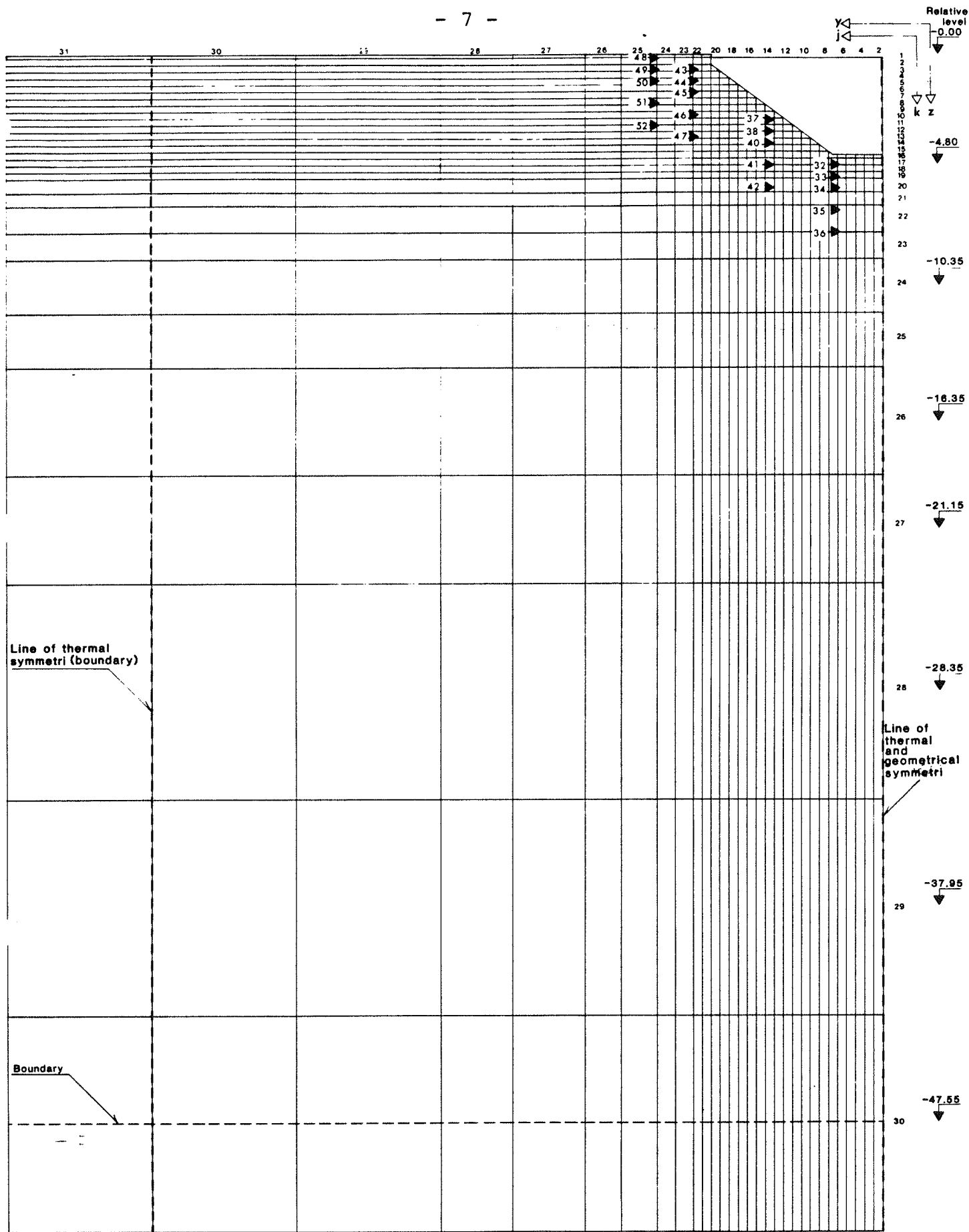
Princippet i programmeringen af ligning (1) vises ved følgende eksempel for varmestrømmen over volumenelementets "venstre" begrænsningsflade. Figur 5 viser det betragtede pkt.  $(i, j, k)$ .

SLH Mat fig 2

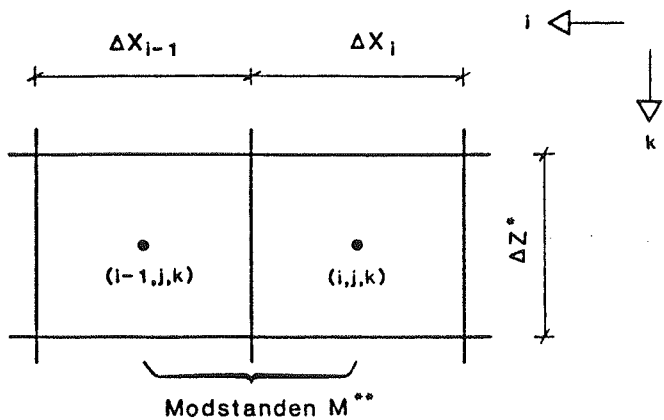


► Soil temperature measurement

Figur 3. Netpunkter. Snit D - D ( række 1 ).



Figur 4. Netpunkter. Snit E-E (række 2).



\* Hele rækken har varmeleddningsevnen  $\lambda$ .

$$** M = \frac{\Delta x_i}{2 \cdot \lambda_k} + \frac{\Delta x_{i-1}}{2 \cdot \lambda_k}$$

Figur 5. Modstanden mellem 2 volumenelementer.

Anvendes ligning (1) på denne begrænsningsflade fås:

$$\text{Vol} \cdot \rho c_{p,k} \cdot \frac{\Delta T_t}{\Delta t} = A \cdot \frac{\Delta T_{\text{akseretn.}} = i}{M}$$

⇒

$$\Delta x \cdot \Delta y \cdot \Delta z \cdot \rho c_{p,k} \cdot \frac{\Delta T_t}{\Delta t} = \Delta y \cdot \Delta z \cdot \frac{\Delta T_{\text{akseretn.}} = i}{\frac{\Delta x_i}{2 \cdot \lambda_k} + \frac{\Delta x_{i-1}}{2 \cdot \lambda_k}}$$

⇒

$$\Delta T_t = \frac{\Delta t \cdot \Delta y \cdot \Delta z \cdot \Delta T_{\text{akseretn.}} = i}{\left( \frac{\Delta x_i}{2 \cdot \lambda_k} + \frac{\Delta x_{i-1}}{2 \cdot \lambda_k} \right) \Delta x \cdot \Delta y \cdot \Delta z \cdot \rho c_{p,k}}$$

⇒

$$T_i^{t_1 + \Delta t} - T_i^{t_1} = Hl_{i,j,k} \cdot \left( T_{i-1}^{t_1} - T_i^{t_1} \right) \quad (2)$$

hvor  $Hl_{i,j,k}$  er vægtfunktionen for punkt  $(i,j,k)$ 's "venstre" begrænsningsflade. Tilsvarende regninger gælder for de øvrige 5 begrænsningsflader, og totalt fås følgende vægtfunktioner:

i - aksen:

$$\left. \begin{array}{l} H1 \\ H2 \end{array} \right\} = \frac{\Delta t}{\rho c_{p,k} \left( \frac{\Delta x_i}{2 \cdot \lambda_k} + \frac{\Delta x_{i+1}}{2 \cdot \lambda_k} \right) \Delta x_i} \quad (2a)$$

j - aksen:

$$\left. \begin{array}{l} H3 \\ H4 \end{array} \right\} = \frac{\Delta t}{\rho c_{p,k} \left( \frac{\Delta y_j}{2 \cdot \lambda_k} + \frac{\Delta y_{j+1}}{2 \cdot \lambda_k} \right) \Delta y_j} \quad (2b)$$

k - aksen:

$$\left. \begin{array}{l} H5 \\ H6 \end{array} \right\} = \frac{\Delta t}{\rho c_{p,k} \left( \frac{\Delta z_k}{2 \cdot \lambda_k} + \frac{\Delta z_{k+1}}{2 \cdot \lambda_{k+1}} \right) \Delta z_k} \quad (2c)$$

Den endelige ligning til beregning af temperaturen  $T_{i,j,k}^{t_1 + \Delta t}$  i punkt  $(i,j,k)$  til tidspunktet  $t = t_1 + \Delta t$  har følgende udseende:

$$\begin{aligned} T_{i,j,k}^{t_1 + \Delta t} &= T_{i,j,k}^{t_1} + H1 \cdot (T_{i-1,j,k} - T_{i,j,k}) + H2 \cdot (T_{i+1,j,k} - T_{i,j,k}) \\ &\quad + H3 \cdot (T_{i,j-1,k} - T_{i,j,k}) + H4 \cdot (T_{i,j+1,k} - T_{i,j,k}) \\ &\quad + H5 \cdot (T_{i,j,k-1} - T_{i,j,k}) + H6 \cdot (T_{i,j,k+1} - T_{i,j,k}) \quad (3) \end{aligned}$$

Det skal bemærkes, at leddene på højre side af lighedstegnet udregnes på grundlag af temperaturerne til det kendte tidspunkt  $t = t_1$ .

På denne måde beregnes temperaturerne i alle de indre netpunkter. Ud fra disse lige beregnede temperaturer på tidsniveauet  $t = t_1 + \Delta t$  kan temperaturerne på tidsniveauet  $t = t_1 + 2 \cdot \Delta t$  beregnes, o.s.v.

I [2] er det vist, at regningerne bliver stabile, når følgende stabilitetskriterium er opfyldt:

$$\Delta t_s \leq \frac{1}{2\alpha \left( \frac{1}{(\Delta x)^2} + \frac{1}{(\Delta y)^2} + \frac{1}{(\Delta z)^2} \right)} \quad (4)$$

Indsættes i ligning (4)  $\alpha = 20 \text{ m}^2/\text{år}$  fås  $\Delta t_s$  i år:

$$\Delta t_s \leq \frac{1}{2 \cdot 20 \left( \frac{1}{0,4^2} + \frac{1}{0,4^2} + \frac{1}{0,3^2} \right)} = 0,001059 \text{ år}$$

Gennemføres beregningerne 4 gange pr. døgn bliver

$$\Delta t = \frac{1}{4 \cdot 365} = 0,000685 \text{ år} \quad (\rightarrow \alpha_{\max} = 30 \text{ m}^2/\text{år})$$

Da  $\Delta t \leq \Delta t_s$  ses det, at fire gennemregninger pr. døgn er tilstrækkeligt til at sikre stabile regninger.

## 2.2 Randbetingelser

De randbetingelser, der skal kendes, er som følger:

### 2.2.1 Jordoverfladen

Skillefladetemperaturen mellem jord og luft (for  $k = 1$ ) følger udeluftens temperatur  $T_{ude}$  (målt middeltamperatur i tids-skridtet  $\Delta t = 6$  timer).

Temperaturen i differensnetpunkterne til starttidspunktet i de enkelte lag i jorden udregnes efter lign. (17) i [3]:

$$TEMP = \Delta T_u \cdot e^{-z \cdot \sqrt{\omega/2\alpha}} \left( \cos(\omega t - \phi - z \cdot \sqrt{\omega/2\alpha}) \right) + T_o \quad (6)$$

hvor  $z$  er dybden i meter under jordoverfladen. For amplituden  $\Delta T_u$  indsættes  $\Delta T_u = 9,2^\circ C$ , og for middelværdien  $T_o$  indsættes  $11,6^\circ C$ , da lagersiderne igennem flere måneder i byggeperioden blev kraftigt opvarmede af stærk solstråling. Med en bølgelængde på 1 år bliver perioden  $\omega = 2\pi$ , og faseforskydningen  $\phi$  udregnes, så cosinusleddet bliver  $\cos(\omega t - \phi) = 1$  den 1. oktober (måleperiodens startdato).

### 2.2.2 Temperaturerne i randnetpunkterne i jorden

De lodrette begrænsningsflader for jordvoluminet indlægges som termiske symmetriflader ved at kræve adiabatiske forhold, som opnås ved at kræve, at de symmetriske nabopunkter til fladerne har samme temperatur.

Nedadtil ( $k=30$ ) regnes med et varmedræn; temperaturen regnes konstant  $T_{k=30} = 9,1^\circ C$ , (se målefkt. 31 dag 1-12).

\* Denne værdi af  $T_o$  gives bedre overensstemmelse mellem målinger og beregninger for dag (1-30) ~~og førlængede målinger og beregninger for  $T_{k=30}$~~

### 2.3 Varmetab fra lager

I hvert tidsskridt  $\Delta t$  beregnes varmetab fra lagerets bund, skråside (lodrette og vandrette begræsningsflader) samt top. Derefter akkumuleres disse tab og kan sammen med total-tabet evt. udskrives.

I programmet anvendes 2 hjælpefunktioner, en funktion for varmetab i j-aksens retning (vandret) og en funktion i k-aksens retning (lodret).

I j-aksens retning:

$$FUNKJ_k = H_3 \cdot \rho c_{p,k} \cdot \Delta x_{30} \cdot \Delta y_{20} \cdot \Delta z_2 \quad (6)$$

I k-aksens retning:

$$FUNKK_k = H_5 \cdot \rho c_{p,k} \cdot \Delta x_{30} \cdot \Delta y_{20} \cdot \Delta z_2 \quad (7)$$

#### 2.3.1 Bundtab

Bundtabet beregnes for bundelementerne v.hj.a. hjælpefunktionen (7).

$$SUM1 = (T_{i,j,k+1} - T_{lager}) \cdot FUNKK_k \quad (8)$$

#### 2.3.2 Tab fra skråside

Skråsidetabet deles op i et tab gennem de vandrette begræsningsflader og et tab gennem de lodrette begræsningsflader.

De vandrette begrænsningsflader:

$$SUM2 = (T_{i,j1,k} - T_{lager}) \cdot FUNKJ_k \quad (9)$$

- : De lodrette begrænsningsflader:

$$SUM3 = (T_{i,j1-1,k+1} - T_{lager}) \cdot FUNKK_k \quad (10)$$

#### 2.3.3 Toptab

Toptabet beregnes med følgende udtryk:

$$TOPTAB = \frac{\Delta t \cdot A \cdot (T_{ude} - T_{lager})}{\frac{e}{\lambda}} \quad (11)$$

hvor  $A$  er  $30,7 \text{ m}^2$  (1/8 af totalt areal med udeluft),  $e$  er  $0,5 \text{ m}$ , og  $\lambda$  er  $0,04 \text{ W/m}^\circ\text{C}$ .

## 2.4 Inddata til programmet

Inddata er delt i 2 dele. Den første del anvendes ved fastlæggelsen af de 51 jordmålepunkters placering i det indlagte differensnet, og den anden del angiver netpunktsafstande i differensnettet samt jorddata m.m.

### 2.4.1 Jordmålepunkternes placering i differensnettet

Figur 2 viser målekædernes placering i plan, og figurerne 3 og 4 viser målepunkternes placering i henholdsvis snit 1 og snit 2.<sup>\*)</sup> For at angive et jordmålepunkts placering i differensnettet skal beliggenheden af punkt A (øvre højre netpunkt!) samt afstandene sy og sz kendes, se figur 6.

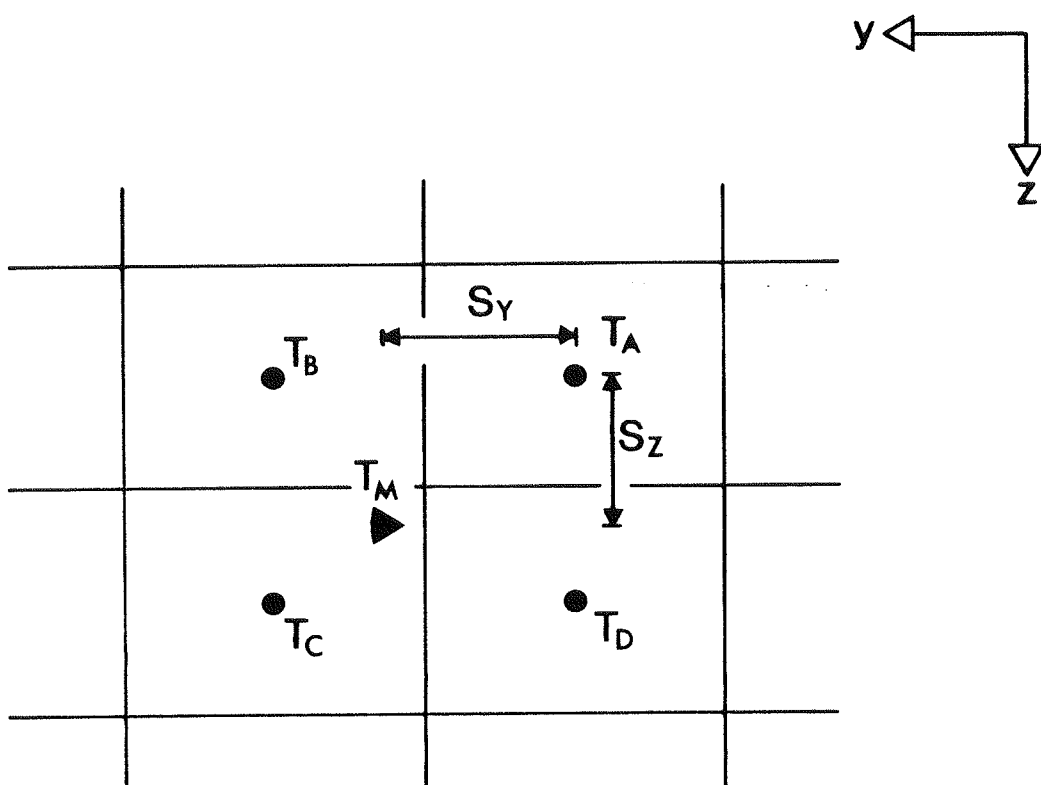
Figur 7 viser inddata til fastlæggelse af de 51 jordmålepunkters placering i det indlagte differensnet.<sup>\*)</sup>

### 2.4.2 Todimensional interpolation

For at finde den beregnede temperatur i målepunktet M udføres en todimensional interpolation med formlen (se også figur 6):

$$T_M = T_A + (T_B - T_A) \cdot sy + (T_C - T_A) \cdot sz + [(T_D + T_A) - (T_B + T_C)] \cdot sy \cdot sz \quad (12)$$

<sup>\*)</sup> Målekaden med målepunkterne 0-4 er ikke vist på Fig. 3 da kæden er placeret symmetrisk om centrum med målekæden 10-14. Kurvebladene for punkterne 0-4 viser målepunkterne i disse punkter sammeartig med de beregnede temperaturer i punkterne 10-14.



Note :

**T<sub>A</sub>** ER TEMPERATUREN I NETPUNKT A

**T<sub>B</sub>** ER TEMPERATUREN I NETPUNKT B

**T<sub>C</sub>** ER TEMPERATUREN I NETPUNKT C

**T<sub>D</sub>** ER TEMPERATUREN I NETPUNKT D

**T<sub>M</sub>** ER TEMPERATUREN I MÅLEPUNKDET

**S<sub>y</sub>** ER DEN RELATIVE VANDRETTE AFSTAND TIL MÅLEPUNKDET FRA NETPUNKT A

**S<sub>z</sub>** ER DEN RELATIVE LODRETTE AFSTAND TIL MÅLEPUNKDET FRA NETPUNKT A

Figur 6. Todimensional interpolation mellem de 4 netpunkter.

Målepunkt nr.				Sy · 100	Sz · 100
	i	j	k		
1	30	6	19	75	25
2	33	6	20	75	55
3	33	6	21	75	50
4	33	6	22	50	20
5	33	1	17	50	15
6	33	1	19	50	55
7	33	1	20	50	50
8	33	1	21	50	25
9	33	1	22	75	55
10	33	6	17	75	50
11	33	6	19	75	25
12	33	6	20	75	15
13	33	6	21	75	55
14	33	6	22	10	55
15	33	14	10	10	50
16	33	14	12	10	50
17	33	14	14	10	10
18	33	14	17	75	50
19	33	6	17	10	50
20	33	14	20	30	15
21	33	22	4	30	30
22	33	22	6	30	90
23	33	22	9	30	65
24	33	22	11	30	95
25	33	24	1	50	30
26	33	24	8	50	50
27	33	24	15	50	25
28	33	24	20	50	50
29	33	24	22	50	70
30	33	24	24	50	50
31	33	6	17	75	20
32	26	6	19	75	15
33	26	6	20	75	55
34	26	6	21	75	55
35	26	6	22	75	50
36	26	6	22	75	50
37	18	14	10	10	55
38	18	14	12	10	50
39	0	0	0	0	0
40	18	14	14	10	10
41	18	14	17	10	50
42	18	14	20	10	15
43	10	22	3	30	30
44	10	22	4	30	90
45	10	22	6	30	65
46	10	22	9	30	95
47	10	22	13	30	30
48	8	24	1	46	50
49	8	24	3	46	25
50	8	24	5	46	0
51	8	24	8	46	25
52	8	24	11	46	50

N.B. Målepunkt 0 her benavnt  
nr. 19.

Figur 7. Inddata til fastlæggelse af de 51 jordmålepunkters placering i det indlagte differensnet.

#### 2.4.3 Differensnet\_og\_jorddata

En udskrift af disse inddata er vist på figur 8. I hver dybde skal der således specificeres en varmeledningsevne  $\lambda$  og en varmekapacitet  $\rho c_{p,jord}$ . Her er specificeret  $\lambda = 1,6 \text{ W/m}^{\circ}\text{C}$  og  $\rho c_{p,jord} = 0,25 \cdot 10^7 \text{ J/m}^3 \text{ }^{\circ}\text{C}$  i alle dybder svarende til temperaturledningstallet  $\alpha = 22 \text{ m}^2/\text{år}$ .

	$\Delta z$	$\Delta y$	$\lambda$	$\rho c_{p,jord}$	*
1	0.30000	0.40000	1.60000	0.25E 0721	
3	0.30000	0.40000	1.60000	0.25E 0721	
5	0.30000	0.40000	1.60000	0.25E 0721	
7	0.30000	0.40000	1.60000	0.25E 0719	
9	0.30000	0.40000	1.60000	0.25E 0718	
11	0.30000	0.40000	1.60000	0.25E 0717	
13	0.30000	0.40000	1.60000	0.25E 0716	
15	0.30000	0.40000	1.60000	0.25E 0715	
17	0.30000	0.40000	1.60000	0.25E 0714	
19	0.30000	0.40000	1.60000	0.25E 0713	
21	0.30000	0.40000	1.60000	0.25E 0712	
23	0.30000	0.40000	1.60000	0.25E 0711	
25	0.30000	0.40000	1.60000	0.25E 0710	
27	0.30000	0.40000	1.60000	0.25E 07 9	
29	0.30000	0.40000	1.60000	0.25E 07 8	
31	0.30000	0.40000	1.60000	0.25E 07 7	
33	0.30000	0.40000	1.60000	0.25E 07 2	

\* J-aksens begrænsning med lageret (J1).

Figur 8. Inddata til angivelse af differensnet og jorddata.

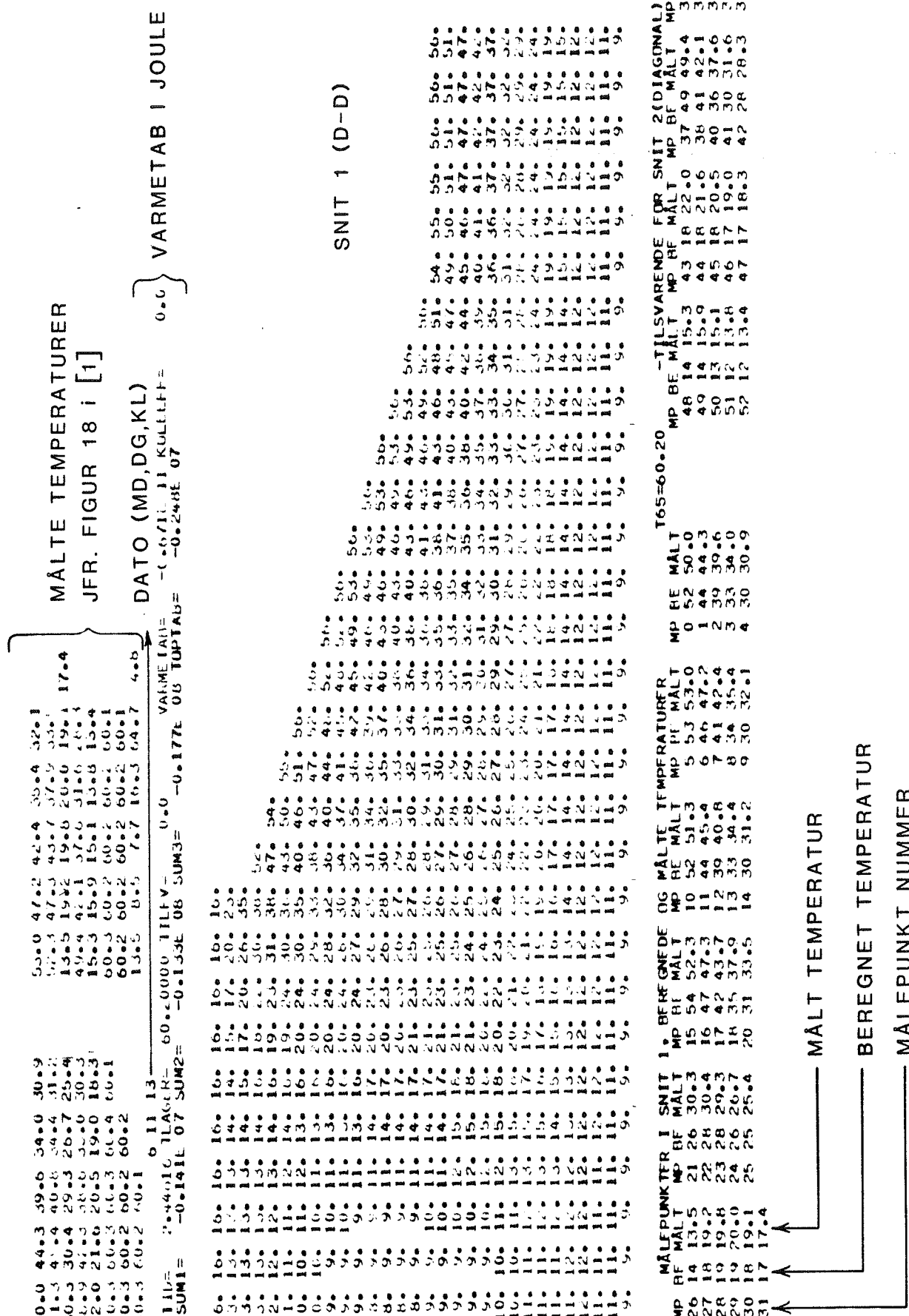
## 2.5 Uddata fra programmet

Et eksempel på uddata kan ses på figur 9. Først udskrives de målte middelværdier, der er indlæst fra dataloggersystemet samt dato og klokkeslæt.

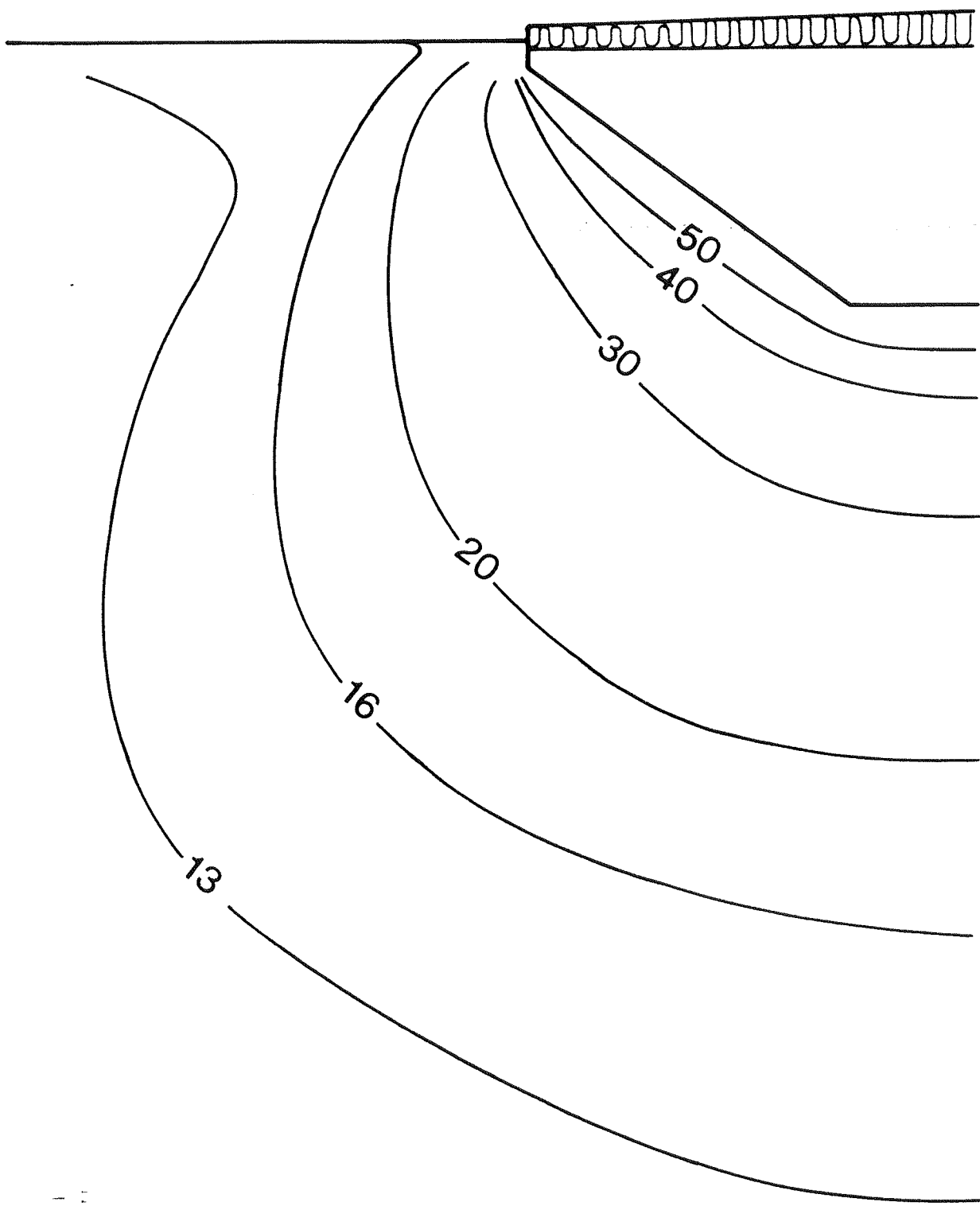
Derefter udskrives TID, der er den forløbne tid i år fra beregningernes start, TLAGER, der er "dagens" lagermiddeltemperatur, samt de foran beskrevne varmetab (VARMETAB = totaltab). De nævnte TILFV og KOLEEFF er nogle hjælpeuddata, der kun blev anvendt ved projektets start.

Så udskrives temperaturerne i netpunkterne i snit 1 (og evt. i snit 2), så isolermerne kan optegnes, se figur 10. Endeligt udskrives den beregnede og den målte temperatur for målepunkterne i både snit 1 og snit 2 til sammenligning. Det skal bemærkes, at T65 er lig med den ovenfor nævnte TLAGER.

For hver målt og gennemregnet dag "lagres" TLAGER, VARMETAB samt målt og beregnet temperatur i de 51 jordmålepunkter for senere udtegning.



Figur 9. Eksempel på uddata (dag nr. 620).



Figur 10. Temperaturprofil for dag nr. 620. Snit 1.

### 3. SIMULERET DRIFT

Figur 11 viser den målte vandtemperatur i forsøgsvarmelageret og det beregnede akkumulerede varmetab fra lageret til jorden og gennem låget.

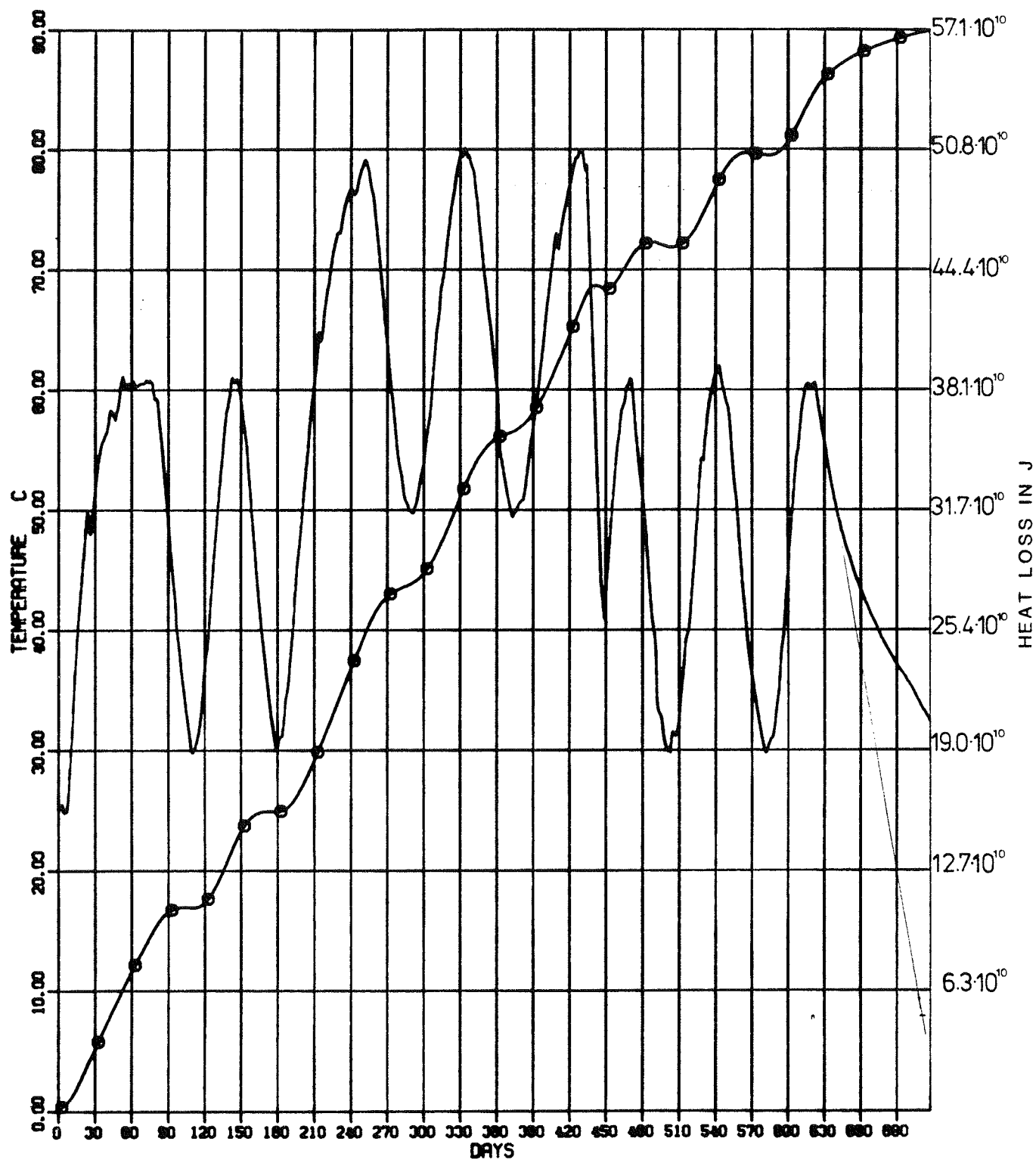
Den første opladningsperiode startede i september 1982 fra en vandtemperatur på 15°C. Det tog nogle uger, før kedelsystem og dataloggersystem var checket, og derfor blev den første temperaturstigning fra 15°C til 25°C ikke rapporteret.

På grund af den begrænsede tid til udførelse af eksperimenter blev det besluttet at accelerere oplade- og afladecyklene fra 365 dage til 70 dage. Der blev ligeledes tilstræbt sinusformede cykler (nødvendig tilført effekt og temperaturindstilling blev beregnet med beregningsprogrammet).

De første cykler blev udført med en middeltemperatur på 45°C og en amplitude på 15°C. Det blev dog klart, at luftkøleren var for lille til dette temperaturniveau i sommerperioden, så middeltemperaturen blev i denne periode hævet til 65°C (for 3 cykler). Fødeledningerne til lageret var dog ikke dimensionerede til en fremløbstemperatur på 85°C, så både ø75 PEL ledningerne og ø75 ABS-HT ledningerne gik i stykker (dag nummer 433). En 90° bøjning blev repareret i PEL ledningerne (nærmest kedelhuset), mens alle ø75 ABS-HT ledningerne blev udskiftet med ø32 PEX. De reviderede tegninger findes i appendix 1. Af denne årsag er afkølingen mellem dag 433 og 450 kun varmetab til jord, varmetab gennem låg og påfyldt koldt vand.

De sidste cykler blev igen udført med en middeltemperatur på 45°C. Fra dag nummer 625 blev der hverken tilført eller udtaget varme fra lageret, så det er den "naturlige" afkøling, der er registreret fra denne dag.

I det næste kapitel opstilles regnskab for den indkøbte gasmængde, og det beregnede akkumulerede varmetab fra lageret til jorden og gennem låget anvendes i denne forbindelse.



Figur 11. Den målte vandtemperatur i forsøgsvarmelageret og det beregnede  
akkumulerede varmetab fra lageret til jorden og gennem låget.

### 3.1 Verificering af edb-programmet

Med de på figur 7 viste jorddata, der giver temperaturlednings-tallet  $\alpha = 22 \text{ m}^2/\text{år}$ , er målte og beregnede temperaturer i jorden sammenlignet, idet lagertemperaturen igennem de 717 rapporteringsdage har haft det på figur 9 viste forløb. Temperaturerne i de 51 temperaturmålepunkter i jorden er vist i appendix 2. Det ses her, at overensstemmelsen mellem målt og beregnet temperatur overalt er ganske god. Under lageret er der næsten sammenfald i de 4 øverste målepunkter (på nær toppen af "sinusserne" i målepunktet nærmest lageret) i hver målekæde, mens det nederste målepunkt i hver målekæde har en lille difference (i dette målepunkt har den uønskede vandindtrængen fra de defekte fødeledninger dog største effekt). Uden for lageret er der dog også rimelig god overensstemmelse i de dybe målepunkter.

Det er i edb-beregningerne forsøgt at hæve temperaturlednings-tallet henholdsvis i ler til  $\alpha = 30 \text{ m}^2/\text{år}$  og i sand til  $\alpha = 25 \text{ m}^2/\text{år}$ , der især i lerlaget giver en bedre overensstemmelse med målingerne, men det herved forøgede varmetab (beregnet med programmet) er der ikke dækning for i gasindkøb. Som der redgøres for i kapitel 4.3 synes det valgte temperaturlednings-tal  $\alpha = 22 \text{ m}^2/\text{år}$  at give et varmetab til jord og udeluft, der sammen med den totale varmemængde til opvarmning af lagervandet i de 8 opvarmningsperioder giver en rimelig overensstemmelse med den indkøbte gasmængde.

Den observerede uønskede vandindtrængen i de lodrette huller, hvor målekæderne er placeret, leder til den konklusion, at sådanne kæder må sikres mod fugtighedsbevægelser i de lodrette huller. En sådan sikring kan f.eks. etableres med en ca. 5 cm "bentonit-prop" mellem hvert målepunkt.

#### 4. ENERGIBALANCE FOR MÅLEPERIODEN

##### 4.1 Totalnyttevirkningsgrad for kedelsystem, korttidsmåling

En måneds tid efter, at kedelsystemet i kedelhuset blev taget i brug, blev totalnyttevirkningsgraden for kedelsystemet bestemt ved en korttidsmåling: I en kort tidsperiode måles den gennemsnitlige effekt tilført lageret, og ved at sammenholde den således tilførte varmemængde med den i kedlerne indfyrede gasmængde kan totalnyttevirkningsgraden for kedelsystemet bestemmes.

Ved at måle temperaturdifferencen (nøjagtighed  $0,1^{\circ}\text{C}$ ) ved ø75 PEL i transmissionsledningernes gennemføring i betonvæggen ved lagerets top (se tegning 11A) negligeres varmetab i rørsystemet i kedelhuset og i transmissionsledningerne i jorden undervejs til lageret. Den opvarmede vandmængde i lagerkredsen måles med en ringstempelmåler (nøjagtighed 1%). Gasmåleren (nøjagtighed 0,1%) tilkobles den ene af de 2 gaskedler, og det antages, at de 2 gaskedler er identiske. Den indfyrede gas er kommercial propan, og den nedre brændværdi opgives til  $11.000 \text{ kcal/kg} = 21.600 \text{ kcal/Nm}^3$ .

Korttidsmåling udført den 27/10 1982:

Måleperiode: 1 time 40 minutter = 6000 sec.

Gasside:

Indfyret gasmængde i en kedel:  $2,255 \text{ m}^3 = 1,353 \text{ m}^3/\text{h}$ .

Denne gasmængde svarer til en tilført effekt pr. kedel baseret på den nedre brændværdi:

$$I = 21.600 \text{ kcal/Nm}^3 \cdot 1,353 \text{ m}^3/\text{h} \cdot 1,163 \cdot 10^{-3} \text{ kWh/kcal} = 33,99 \text{ kW}$$

- Vandside:

Opvarmet vandmængde i lagerkreds:  $6,24 \text{ m}^3$

Gennemsnitlig temperaturdifferens:  $12,45^{\circ}\text{C}$

Dette svarer til effekten:

$$E = \frac{6,24 \text{ m}^3}{6000 \text{ sec}} \cdot 988 \text{ kg/m}^3 \cdot 4,18 \text{ kJ/kg}^{\circ}\text{C} \cdot 12,45^{\circ}\text{C} = 53,47 \text{ kW}$$

Totalnyttevirkningsgraden for kedelsystemet bliver for to ens kedler:

$$\eta_k = \frac{E}{2 \cdot I} = \frac{53,47}{2 \cdot 33,99} = 0,787$$

#### 4.2 Totalnyttevirkningsgrad for kedelsystem, langtidsmåling

Totalnyttevirkningsgraden for kedelsystemet bestemmes igen efter ca. 9 måneders drift. På dette tidspunkt sættes den indtil da indkøbte gasmængde i relation til den af datalogger-systemet til lageret opsummerede varmemængde (fundet v.hj.a. målt temperaturdifferens og volumenstrøm):

Forbrugt gasmængde fra start til 12/7 1983:

$$Q_1 = 17.051 \text{ kg} \cdot 11.000 \text{ kcal/kg} \cdot 1,163 \cdot 10^{-3} \text{ kWh/kcal} = 218.130 \text{ kWh}$$

Målt varmemængde tilført til lager:  $Q_2 = 171.560 \text{ kWh}$

Totalnyttevirkningsgraden for kedelsystemet bliver:

$$\eta_1 = \frac{Q_2}{Q_1} = \frac{171.560}{218.150} = 0.787$$

Det ses, at denne nyttevirkningsgrad er identisk med nytte-virkningsgraden fundet ved korttidsmåling.

Kontrol af købt gasmængde v.hj.a. timetællere på kedlerne:

Timetæller kedel 1 (12/7 1983): 3165,56 h

Timetæller kedel 2 (12/7 1983): 3779,55 h

Totalt for begge kedler: 6945,10 h

Ud fra den målte gasmængde den 27/10 1982 (korttidsmåling) kan den indfyrede mængde bestemmes:

$$V = 1,353 \text{ m}^3/\text{h} = 1,353 \text{ m}^3/\text{h} \cdot \frac{1,16}{1,9} \text{ kg/m}^3 = \frac{2,52}{2,57} \text{ kg/h}$$

Dette giver en totalt målt gasmængde (baseret på timetællere)

$$GM = 6945,10 \text{ h} \cdot \frac{2,52}{2,57} \text{ kg/h} = \frac{17478}{17849} \text{ kg}$$

Dette tal ligger 4,6% over den fra start til 12/7 1983 indkøbte gasmængde på 17051 kg, men dels er gasrestmængden (ca. 900 kg, som er fradraget!) i gastanken den 12/7 1983 skønnet, og dels er timetællernes nøjagtighed ikke oplyst.

På dette grundlag findes, at overensstemmelsen mellem den indkøbte gasmængde og gasmængden fundet v.hj.a. timetællere på kedlerne er rimelig god.

#### 4.3 Energibalance indtil 16/9 1984

- : Denne rapportering stopper 16/9 1984 (dag nr. 717 fra rapporteringens start), og der skal hermed forsøges opstillet en energibalance for den samlede rapporteringsperiode.

En oversigt over de 8 opvarmnings- og afhølningsperioder med de målte temperaturer og de beregnede vamtab til omgivelserne er opstillet ind fra computer udslutningerne (tabel 1):

Dato	Dag nr.	Antal opv. dage	Antal lagerdage	Afk. vand temp.	Temp stign.	Temp fald	Akkum. varme-tab	Varme-tab v. opv.	Varme-tab v. Afk.	Varmetab i opv. per	Varmetab i aft. per
-	-	-	-	°C	°C	°C	Fx10 <sup>6</sup>	Fx10 <sup>6</sup>	Fx10 <sup>6</sup>	MWh	MWh
1/10	1	75		25,2			0,000				
14/11	75		35	60,8		35,6		0,115		25,6	
18/11	110		37	29,8		31,0		0,115			4,2 ✓
24/12	147		32	60,9		31,1		0,134			
28/1	179		32	30,0		30,9		0,180			4,0 ✓
9/6	252		39	79,1		49,1		0,198			
18/7	291		43	49,7		30,4		0,315			7,6 ✓
30/8	334		39	80,1		30,7		0,349			
8/10	373		57	49,4		30,6		0,413			8,0 ✓
4/12	430		19	80,0		39,1		0,449			
23/12	449		21	40,9		20,0		0,532			2,4 ✓
13/1	470		33	60,9		39,1		0,543			
15/2	503		40	29,8		31,1		0,563			1,8 ✓
26/3	543		39	62,0		32,2		0,571			
4/5	582		40	29,8		32,2		0,615			3,6 ✓
13/6	622		95	60,6		30,8		0,631			
16/9	717			33,4		28,2		0,674			8,9 ✓
								0,714			
Tot:	386	331	+7,2	259,8			X	0,532	0,182	118,2 ✓	40,5 ✓

Tabel 1. Målte vandtemperaturer og beregnede  
varmetab for 717 dage med 8 opvarmning-  
og 8 afkølingsperioder.

indre forbrug

Dens tilkende registrerede del af varmeforbruget kan beregnes ud fra tallene i tabel 1:

Opramning af lageranlæbet:

$$250.8^{\circ}\text{C} \times 0,001163 \text{ MWh/m}^3 \text{ g} \times 540 \text{ m}^3 = 163,1 \text{ MWh}$$

Varmetab i opvarmningsperioden

$$\text{beregnet med metoden: } 0,532 \times 8 \times 27,78 = \frac{105 \cdot 2,778 \cdot 10^{-4}}{118,2} \text{ -}$$

Samlet registreret varmeforbrug: 281,3 MWh

Der er indtil 16/9 1984 ialt forbrugt 36180 kg gas, der med den tidligere fundne totalnyttevirkningsgrad for kedelsystemet på  $\eta = 0,787$  giver en til lageret tilført varmemængde på

$$Q_4 = 36180 \text{ kg} \cdot 11000 \text{ kcal/kg} \cdot 1,163 \cdot 10^{-3} \frac{\text{kWh}}{\text{kcal}} \cdot 0,787 =$$

$$\frac{364264 \text{ kWh}}{364,3 \text{ MWh}}$$

Det ikke beregnede varmetab ved transmission gennem betonvæg og frithængende butylgummi, fordampningstab ved lågets kant samt små vandudslip gennem defekte transmissionsledninger under opvarmningsforløb kan bestemmes til:

Indfyret varmemængde: 364,3 MWh  
Målt og beregnet forbrug 281,3 MWh  
Tilte målt og beregnet forbrug: 83,0 MWh

Frudsættes dette forbrug alene at være frikaldt af transmissionstabene gennem den del af betonvæggen (0,2m), der er over terracce, samt gennem den butyl/dug (0,45m), der forbinder låget med betonkanten, da en gummcouplingstemperatur i tilmiddel strækker butyldagen og på betonens inderside skørmes.

Før den 0,3m tykke betonvæg kan k-værdien skørmes til:  $k = \frac{1}{0,17 + \frac{0,3}{1,6}} = 2,80 \text{ W/m}^2\text{C}$ .

Før dags 0,001 m tynde hærvældig kan k-værdien  
skønnes til:  $k = 10,17 + \frac{0,00}{0,23} = 5,74 \text{ W/m}^2\text{C}$ .

Kanttalset i MWh/C kan anslås til:

$$Q_{kant} = (4 \times 15,98 \times 0,2 \times 2,80 + 4 \times 15,98 \times 0,45 \times 5,74) \cdot \frac{717,24}{10^6} = \\ 3,46 \text{ MW/C}$$

Gennemsnits temperaturforstullen kan der  
fors skønnes til  $\Delta t_{kant} = 83,0^\circ / 3,46^\circ = 24,0^\circ \text{ C}$   
d. v. s. at gennemsnits temperaturne ved fra  
en indvendig ørstempératur  $\overset{\text{møgspænding}}{\underset{\text{middel}}{\text{mid}}}$  på  $8,7^\circ \text{ C}$  kan  
skønnes til  $T_{kant} = 8,7 + 24,0 = 32,7^\circ \text{ C}$ . Dette tal  
synes ikke rimeligt (samme lign "soil-  
temperature thermocouple 21"). Dayværdiet  
var i gennemsnit over 717 dage  $52,3^\circ \text{ C}$ .  
Da konstruktionen af fagen mellem lag og  
kant er blevet ændret fra dag 431 kan  
det være rimeligt at forsige at vurdere kant-  
talset i perioderne 1-430 og 431-717 hver  
for sig.

—  
når side følger umiddelbar mørke

Fra dag 1 til 430 var inelluminansmet mellen  
lægt og beton kanten delvis fyldt med en  
butylslange fyldt med olie. [1, s. 28]  
Gasforbruget i perioden udgjorde:

$$\begin{array}{ll} \text{Tatal forbrug:} & 36,18 \text{ t} \\ \text{Forbrug 431 - 717} & 9,66 \text{ t} \\ \text{Forbrug 1 - 430:} & \underline{\underline{26,52 \text{ t}}} \end{array}$$

Dette forbrug svares til:

$$26,52 \times 11,0 \times 1,163 \times 0,787 = 267,0 \text{ MWh}$$

Vandets opvarmning lever ( $\Sigma \Delta t = 176,8^\circ\text{C}$ )

$$176,8 \times 1,163 \times 10^{-3} \times 540 = 11,0 \text{ MWh}$$

Varmtablene i perioden:

$$0,425 \cdot 8 \cdot \frac{10^5}{2,778 \cdot 10^{-4}} = \underline{\underline{94,4 \text{ - }}}$$

$$\begin{array}{ll} \text{Målt og beregnet:} & 205,4 \text{ MWh} \\ \text{tavltabet} & \underline{\underline{61,6 \text{ MWh}}} \end{array}$$

$$\text{Gasforbrug:} \quad \underline{\underline{267,0 \text{ MWh}}}$$

Kvanttabet fra  ${}^\circ\text{C}$  udgiver:

$$3,46 \cdot \frac{430}{717} = 2,08 \text{ MWh/}{}^\circ\text{C} \quad \text{d.v.s}$$

Kvanttabet svares til en temperatordifferens  
over butylslangen på:  $\Delta t = \frac{61,6}{2,08} = 29,6 {}^\circ\text{C}$

Udtemperaturen i perioden udgør  $8,9 {}^\circ\text{C}$ ,  
hvorfor temperaturen in-

der butylslangen må antages at have været  ${}^\circ\text{C}$  under vandet.

$$T_{kmt} = 29,6 + 8,9 = 38,5 {}^\circ\text{C}, \text{ medens vandet har været}$$

ca.  $56,6 {}^\circ\text{C}$ .

I perioden dag 431 - 717 fæs tilsvarende:

Beregnet varmemængde:

$$19.66 \times 11.0 \times 1.163 \times 0.78\% = 97.3 \text{ mWh}^{\checkmark}$$

Beregnet varmetal:

$$\sqrt{0.107 \times 8 \times \frac{2.778 \cdot 10^{-4}}{27.78}} = -23.8 -$$

Opravmet lagravand: ( $E_{st} = 83.0$ )

$$\sqrt{83.0 \times 1.163 \times 10^{-3} \times 540} = -53.1 -$$

Kanttab:

$$\text{kanttabet m. } ^\circ\text{C udgør: } 3.46 \cdot \frac{287}{777} = 1.38 \text{ mWh}/^\circ\text{C}.$$

Til dette kanttab svares en temperaturlydif-  
ferens over btyldungen på  $\Delta t = \frac{21.4}{1.38} = 15.5 \text{ }^\circ\text{C}$

Den gennemsnitlige inde temperatur i den  
periode udgør  $8.5 \text{ }^\circ\text{C}$ , hvorfør temperaturen  
møder btyldungen kan stignes til  $24.0 \text{ }^\circ\text{C}$ .  
Lagravands temperatur i perioden var  
i gennemsnit:  $45.8 \text{ }^\circ\text{C}$ .

Da gennemsnitstemperaturen i skællerne er  
 $29.6 \text{ }^\circ\text{C}$  ved en gennemsnitstemperatur i  
lagret på  $56.6 \text{ }^\circ\text{C}$  ellers  $0.523 \text{ }^\circ\text{C}/\text{C}$  for de  
430 dage med btydlivsslange, men  $15.5 \text{ }^\circ\text{C}$   
ved  $45.8 \text{ }^\circ\text{C}$  lagrtemperatur ellers  $0.338 \text{ }^\circ\text{C}/\text{C}$   
for de 287 dage uden btydlivsslange  
med gummislange konstruktionen  
stignes at mindstekanttabet med  
36 %.

Betræktes endeligt perioden fra dag nr. 622  
til 717, der alene omfatter en afhållings-  
periode, bliver beregningerne afhængig  
af gasmængden.

Temperaturfald  $13/6 - 16/9 = 84$ ;  $\Delta T = 60.6 - 32.4 = 28.2^\circ C$

Jævnemangden udgør:

$$28.2 \times 7.163 \cdot 10^{-3} \times 540 = 17.7 \text{ MWh}$$

Heraf beregning af mæssigt:

$$0.04 \cdot 8 \cdot \frac{10^5}{2770} = \frac{8.9}{-}$$

Kanttabet udgør: 8.8 MWh

Kanttabet for  ${}^\circ C$  for 95 dage udgør:

$$3.46 \times \frac{95}{717} = 0.458 \text{ MWh/}{}^\circ C$$

Kanttabet er 8.8 mwh, hvilket tyder på at temperaturforstullen langs højden er ca.  $\Delta t = 8.8 / 0.458 = 19.2 {}^\circ C$ . Den gennemsnitlige indtemperatur er ca.  $16 {}^\circ C$  i perioden, hvorfor temperaturen endvidig minder betydeligen fra en del af ca.  $35 {}^\circ C$  i gennemsnit i perioden. Højdens temperatur var ca.  $42.2 {}^\circ C$  i gennemsnit for perioden. Jævnemsnitstemperaturforstullen  $19.2 {}^\circ C$  udgør  $0.458 {}^\circ C$  hvilket kan tyde på, at betydsomme korr har fremindsket kanttabet med 15%, mindens de øvrige tale og mulighedigheden i gasregnetalet er årsag til resten.

##### 5. FUGTBEVÆGELSER I DET FLYDENDE LÅG

Af hensyn til fugtbalanceen i lågets isolering blev membranen mellem vand og isolering udført med en fugtmodstand, der væsentligt overstiger fugtmodstanden mellem isoleringen i låget og det ydre klima. Mod vandet anvendtes 2,5 mm "High Density Polyethylene" (HDPE), og mod det ydre klima anvendtes 1 mm butylgummi. Isoleringen er NE 20 kg/m<sup>3</sup> ekspanderet polystyren.

I dette tilfælde har butylgummien en vanddamptransmission, der er 50 gange større end HDPE membranens vanddamptransmission. Diffusionsmodstandstallene eller PAM-værdierne (Pressure Against Moisture) beregnes på følgende måde baseret på oplysninger fra fabrikanterne: For 2,5 mm HDPE opgives værdien 0,01 g/m<sup>2</sup>·dag (bestemt efter ASTM standard E96-66), og dette svarer til  $Q = 0,1 \cdot 10^{-9}$  kg/m<sup>2</sup>·s. I ASTM standarden er prøvebetingelserne en relativ fugtighed på 100 procent ( $p_1 = 2808$  Pa) i prøvekarret og 50 procent ( $p_2 = 1404$  Pa) uden for prøvekarret (temperaturen er 23°C på begge sider af prøveemnet). På dette grundlag kan PAM-værdien findes:

$$PAM = \frac{p_1 - p_2}{Q} = \frac{2808 - 1404}{0,1 \cdot 10^{-9}} = 120 \cdot 10^{11} \frac{m^2 \cdot s \cdot Pa}{kg}$$

Den tilsvarende værdi for 1 mm butylgummi er:

$$PAM = 2,3 \cdot 10^{11} m^2 \cdot s \cdot Pa/kg.$$

PAM-værdierne falder formodentlig lidt med stigende temperatur, men denne effekt er ikke oplyst af fabrikanterne.

For at kontrollere om fugtbalanceen i låget har udviklet sig på hensigtsmæssig måde, udførtes bestemmelse af isoleringens fugtindhold efter ca. 2 års funktion. Den 14/8 1984 blev butylgummien åbnet, og enkelte vandråber kunne ses og mærkes (let våd hånd!) på gummiens underside. Der blev udtaget 4 prøver fra toppen af låget og 2 prøver fra bunden af låget (dimension ca. 10·10·10 cm<sup>3</sup>). Samme dag blev prøverne målt og vejet, og densiteten blev bestemt, se tabel 1. Densiteten i toppen af isoleringen adskilte sig fra densiteten i bunden med +6%.

Derefter blev prøverne sammen med 8 referenceprøver (udtaget af et emne, der har været lagret inde ved 20°C) sat til tørre i varmeskab ved 60°C. Vejeresultaterne efter 2, 6, 8 og 35 døgns udtørring fremgår ligeledes af tabel 1.

Fabrikanten angiver fugtindholdet til maksimalt 1,5% (vægt%) ved levering. Isoleringen henlå under afdækning i tør sommerluft inden indbygning, og den forsøgtes afdækket med pressninger under indbygningen i låget.

Den officielle prøveattest på isoleringen fremgår af appendix 3: De to fra KBE-lageret udtagne prøver har for prøve nr. 1's vedkommende et fugtindhold på henholdsvis 0,7 vægt% og 0,01 vol% og for nr. 2's vedkommende 0,8 vægt% og 0,02 vol%. Vore målinger antyder, at prøverne 1-6 fra låget ligner prøveattestens nr. 2, mens prøverne 7-14 fra referenceemnet ligner prøveattestens nr. 1. Derfor sluttes, at der ikke er ophobet fugt i isoleringen efter ca. 2 års funktion.

Da butylafdækningen kun er fastholdt med ca. 100 stk. fliser (a ca. 30 kg), ville selv ubetydelige damptryk give synlige buler i afdækningen. Det må derfor formodes, at den valgte forskel i dampdiffusionsmodstandene (PAM-værdierne) har været tilstrækkelig til at sikre fugtstabiliteten i lågets isolering.

#### 6. JORDFUGTIGHEDSMÅLINGER VED VARMELAGER

Gennem 1 år har HYDROTEKNISK LABORATORIUM ved K.J. Kristensen med neutronudstyr [11], [12] målt vandindhold i jorden omkring varmelageret. Udstyret er skitseret på figur 12, og måleresultaterne er vist i appendix 4.

Til start, inden membranarbejdet blev udført i varmelaget, udførte K.J. Kristensen en måling med neutronudstyret i de samme borer, hvor Dansk Geoteknisk Institut havde målt vægt% vand (DGI nr. 107, 108 og 109). Som det ses i appendix 4, opnås rimelig god overensstemmelse mellem de to metoder.

Prøve nr.	14/8 Densitet g/1	Fugt-indhold vægt%	Fugt-indhold vol%	14/8 Volumen cm <sup>3</sup>	14/8 Masse g	16/8 Masse g	20/8 Masse g	22/8 Masse g	18/9 Masse g
1	18,38 <sup>xx)</sup>	0,99	0,018	987,05	18,14	17,97	17,97	17,97	17,96
2	18,49 <sup>x)</sup>	1,04	0,019	992,52	18,35	18,16	18,16	18,14	18,16
3	17,42 <sup>xx)</sup>	1,15	0,020	996,00	17,35	17,17	17,17	17,17	17,15
4	18,72 <sup>xx)</sup>	0,99	0,018	974,15	18,24	18,06	18,06	18,08	18,06
5	18,60 <sup>x)</sup>	1,06	0,020	960,46	17,86	17,67	17,66	17,65	17,67
6	17,50	0,80	0,014	500,56	8,76	8,68	8,67	8,68	8,69
7	14,49	0,91	0,013	533,36	7,73	7,65	7,66	7,65	7,66
8	13,96	0,67	0,009	537,37	7,50	7,39	7,45	7,43	7,45
9	15,03	0,79	0,012	931,70	14,00	13,88	13,82	13,88	13,89
10	15,62	0,96	0,015	1070,09	16,72	16,56	16,50	16,55	16,56
11	14,79	-	-	1080,73	15,98	15,82	15,85	15,82	-
12	16,06	0,86	0,014	1225,04	19,68	19,49	19,41	19,48	19,51
13	15,51	0,58	0,009	1228,48	19,05	18,86	18,91	18,91	18,94
14	15,02	0,81	0,012	1225,61	18,41	18,23	18,21	18,20	18,26

x) Prøve fra bund af låg (17,46 g/1 i gennemsnit)

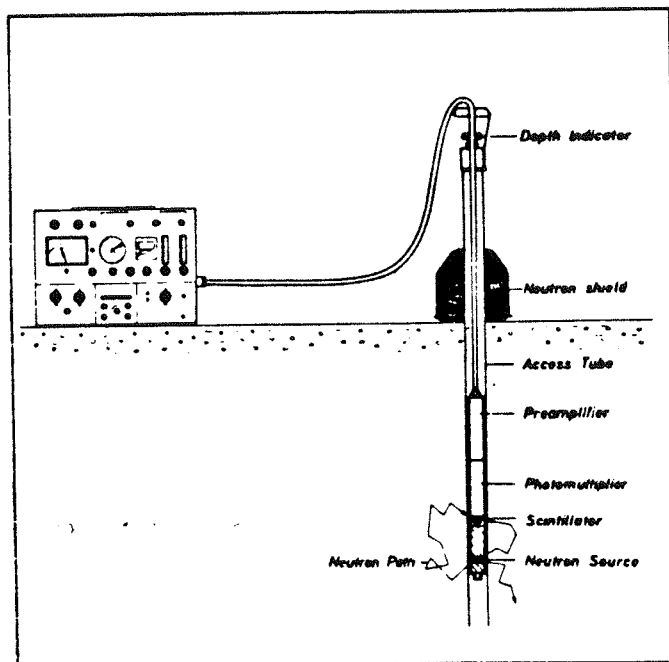
xx) Prøve fra top af låg (18,55 g/1 i gennemsnit)

(Prøverne 7-14 er referenceprøver. Udtaget af et emne, der har været lagret inde (20°)).

Tabel 1. Måleresultater fra polystyrenprøver.

Efter start på opvarmning af lagervandet i september 1982 blev der som nævnt udført løbende fugtmålinger i fugtmålerørene uden for varmelageret (R1, R2, S1, S2, der ikke er optegnet af DGI) indtil august 1983. Som det ses af resultaterne, har der ikke foregået en termisk forårsaget fugttransport i de afstande fra varmelageret, hvor målingerne har fundet sted. K.J. Kristensen påpeger, at for med større sikkerhed at bestemme en eventuel termisk betinget vanddampprøve bør et rimeligt stort areal omkring målestederne belægges med vandtæt materiale, således at tilgang fra nedbør o.a. og fordampning til atmosfæren hindres. Dette er ikke gjort af tids- og mandskabsmæssige grunde, og spørgsmålet er, om den termisk betingede vanddampprøve overhovedet vil kunne måles, da målerørene uden for lageret stort set befinner sig i ler, der er meget tæt mht. vanddampprøve.

Det vil være meget mere givtigt at kontrolmåle vandindholdet i vandet under bunden af varmelageret (107, 108 og 109), men dette kan først ske, når lageret er tømt for vand og bundmembranen er fjernet ud for toppen af målerørene.



**Figur 12. BASC fugtmåleudstyr. Reference [11].**

## 7. KONKLUSION

Projekteringen, anlægsarbejdet og starten på måleprogrammet for 500 m<sup>3</sup> Forsøgslageret er nøje beskrevet i reference [1]. Som nævnt i referencen er der lagt størst vægt på nøjagtighed i mulighed for beregning af lagerets effektivitet og mindre vægt på udførelsесdetaljerne, der til gengæld er blevet godt gennemarbejdede i et andet projekt, se reference [4]. I denne henseende mangler der dog meget arbejde endnu i forbindelse med en yderligere billiggørelse af projektet.

Den flydende pakning (en ø 12 cm oliefyldt butylgummislange) i spalten mellem betonvæg og flydende låg, der skulle forhindre fordampningstab m.m., blev taget op i forbindelse med reparation af fødeledningerne, og det er bagefter svært at konstatere, om pakningen overhovedet har haft nogen effekt. Som nævnt i [4] vil denne lågdetalje blive udført helt anderledes i fuldskala lagre, idet låget på disse lagre vil blive helt fastgjort til betonvæggen for at skabe et lukket lagersystem, hvor vandets temperaturudvidelse sker ved, at det fleksible låg buler lidt ud.

Den ovenfor nævnte lækage på fødeledningerne skete samtidig på både ø75 PEL rørene og ø75 ABS-HT rørene på dag nummer 433, men det er svært at forklare, hvorfor det først skete i afkühlingsfasen af den 3. cyklus med høj middeltemperatur. Temperaturen i lageret var ca. 78°C, da uheldet skete. Det må forventes, at en lækage var sket et halvt år tidligere, hvis materialerne ikke kunne modstå de relativt høje temperaturer!

Af hensyn til fugtbalanceen i lågets isolering blev membranen mellem vand og isolering udført med en fugtmodstand, der væsentligt overstiger fugtmodstanden mellem isoleringen og det ydre klima. Dette har været tilstrækkeligt, idet der overhovedet ikke er iagttaget synlige buler forårsaget af damptryk i butylafdækningen. Gennem en åbning i afdækningen er udtaget prøver af lågisoleringen til en fugtindholdsbestemmelse, der ligeledes ikke har vist tegn på ophobet fugt i isoleringen efter ca. 2 års funktion.

Flow- og temperaturmåling, dataopsamling og dataoverførsel til NEUCC har fungeret rutinemæssigt i hele måleperioden. Den elektrisk registrerende flowmåler har dog været til reparation og justering nogle gange, da den ikke har kunnet tåle opståede trykstød ved hurtig omstilling af trevejsventiler ved overgangen fra opvarmningsfase til afkølingsfase. Varmevekslerne er ligeledes nogle gange blevet efterset og eventuelt renset for tynde lag af belægninger.

Det i projektet udviklede edb-program til beregning af temperaturerne i jorden omkring lageret og til beregning af varmetab fra lageret er hermed verificeret med måleresultater for en 717 dages periode, og en god overensstemmelse er opnået. Det beregnede varmetab samt energimængden til opvarmning af lagervandet i de 8 opvarmningeperioder er sammenholdt med den indkøbte gasmængde korrigeret med kedelsystemets nyttevirkning. Der findes god overensstemmelse, idet kun 8,8% af den til lageret tilførte varmemængde tabes ved ikke beregnet varmetransmission gennem betonvæg og frithængende butylgummi, fordampningstab ved lågets kant samt små vandudslip gennem defekte transmissionsledninger under opvarmningsforløb. Dette resultat findes ganske tilfredsstillende, da lågdetaljen som nævnt ovenfor ikke er optimeret, og det kan derfor sluttes, at programmet kan bruges til simulering af jordens termiske opførsel for denne form for lagre.

Alle temperaturmålepunkter (51 i jord og 22 i vand) har virket upåklageligt i hele måleperioden, dog har den uønskede fugtbevægelse i de lodrette huller, hvor målekæderne er placeret, lokalt ændret (hævet!) temperaturen i perioder.

Fremtidige forsøgslagre og nogle af de første kommercielle lagre bør udstyres med kæder af termoelementer til temperaturregistrering, men kæderne skal sikres mod uønskede fugtbevægelser i de lodrette huller, hvor målekæderne er placeret.

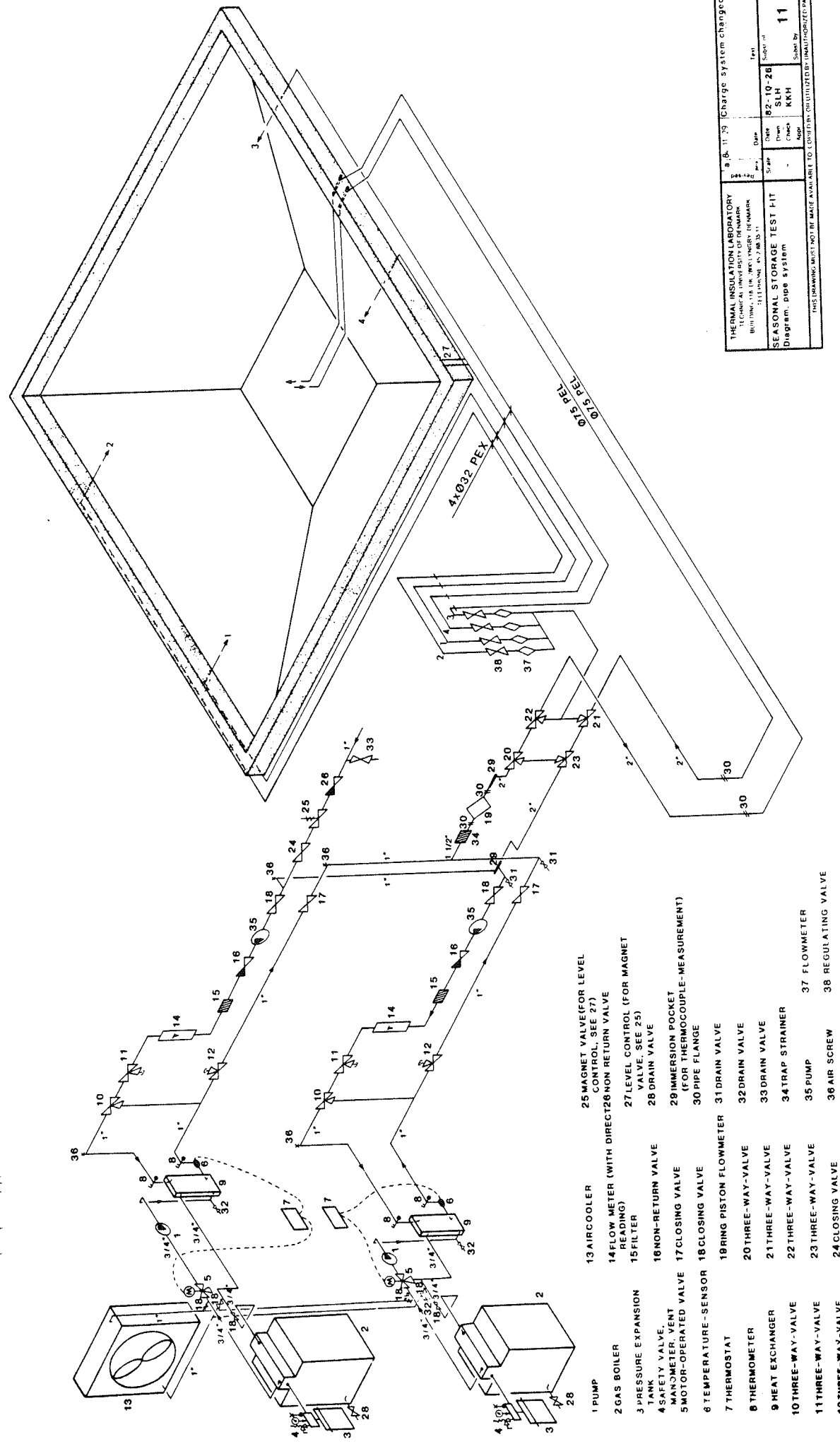
Dette projekt viser, at man med den opstillede edb-model med kendskab til jordens termiske egenskaber, lagertemperaturen samt nogle jordtemperaturer rimeligt nøjagtigt kan beregne tabet og dermed lagerets effektivitet.

8. LITTERATUR

- [1] Hansen, Kurt Kielsgaard, Hansen, Preben Nordgaard and Ussing, V.: Seasonal Heat Storage in Underground Warm Water Stores - Construction and Testing of a 500 m<sup>3</sup> Store. Thermal Insulation Laboratory, Technical University of Denmark. Meddelelse nr. 134, 1983.
- [2] Hansen, Preben Nordgaard: Termiske Beregningsmetoder. Laboratoriet for Varmeisolering, Danmarks Tekniske Højskole. Undervisningsnotat, 1978.
- [3] Hansen, Preben Nordgaard: Varmetab fra store Varmelagre. Laboratoriet for Varmeisolering, Danmarks Tekniske Højskole. Undervisningsnotat, 1979.
- [4] Hansen, Kurt Kielsgaard, Hansen, Preben Nordgaard and Ussing, Vagn: Seasonal Heat Storage in Underground Warm Water Stores. Dimensioning and planning of a full size store. Thermal Insulation Laboratory, Technical University of Denmark. Meddelelse nr. 154, 1984.
- [5] Hansen, Kurt Kielsgaard, Hansen, Preben Nordgaard og Ussing, Vagn: Temperatururlagdeling i Forsøgsvarmelager. Laboratoriet for Varmeisolering, Danmarks Tekniske Højskole. Rapport nr. 84-34, 1984.
- [6] Hansen, Kurt K. and Hansen, Preben N.: Seasonal Heat Storage in Underground Warm Water Stores - Construction and Testing of a 500 m<sup>3</sup> Store. In Solar Energy Applications to Dwellings - Solar Energy R&D in the European Community. Series A, Vol 2. (Ed. W. Palz and C. den Ouden). D. Reidel Publishing Company, 1983.
- [7] Hansen, Kurt Kielsgaard, Hansen, P. Nordgaard and Ussing, V.: Heat Storage in an Uninsulated Pit (Construction and Testing of a 500 m<sup>3</sup> Store). In proceedings of the Swedish Council for Building Research Conference "Subsurface Heat Storage - in Theory and Practice". June 6-8, 1983, Stockholm, Sweden.

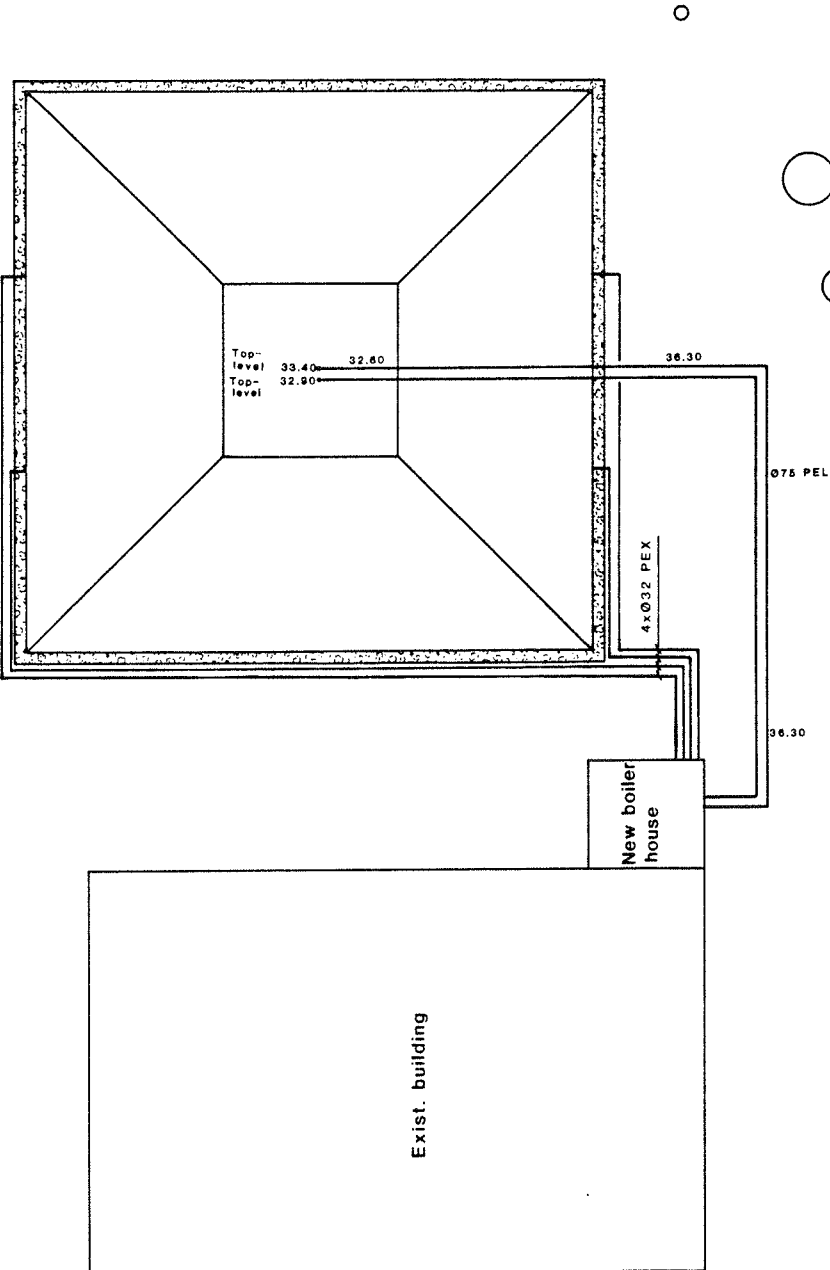
- [8] Hansen, K. Kielsgaard, Hansen, P. Nordgaard og Ussing, V.: Varmetab fra termiske sæsonvarmelagre. I proceedings fra Nordisk Ministerråds "Nordiskt seminarium kring säsongslagring av värme i jord, berg och vatten". 5-6 oktober 1983, Göteborg, Sverige.
- [9] Hansen, Preben N., Hansen, Kurt K. and Ussing, Vagn: Seasonal Heat Storage in Underground Warm Water Stores - Construction and Testing of a 500 m<sup>3</sup> Store. In Solar Energy Applications to Dwellings - Solar Energy R&D in the European Community. Series A, Vol. 4. (Ed. T.C. Steemers and C. den Ouden). D. Reidel Publishing Company, 1984.
- [10] Hansen, K.K., Hansen, P.N. and Ussing, V.: Seasonal Storage Test Pit. Testing of a 500 m<sup>3</sup> Store. In proceedings from "First EC Conference on Solar Heating". April 30 - May 4, 1984. Amsterdam, Holland.
- [11] NUCLETRONICS ApS (Danmark): Soil Moisture and Density Measurements.
- [12] Kristensen, K.J.: Depth Intervals and Topsoil Moisture Measurement with the Neutron Depth Probe. Royal Veterinary and Agricultural University, Copenhagen. Published in Nordic Hydrology 4, 1973, pp 77-85.

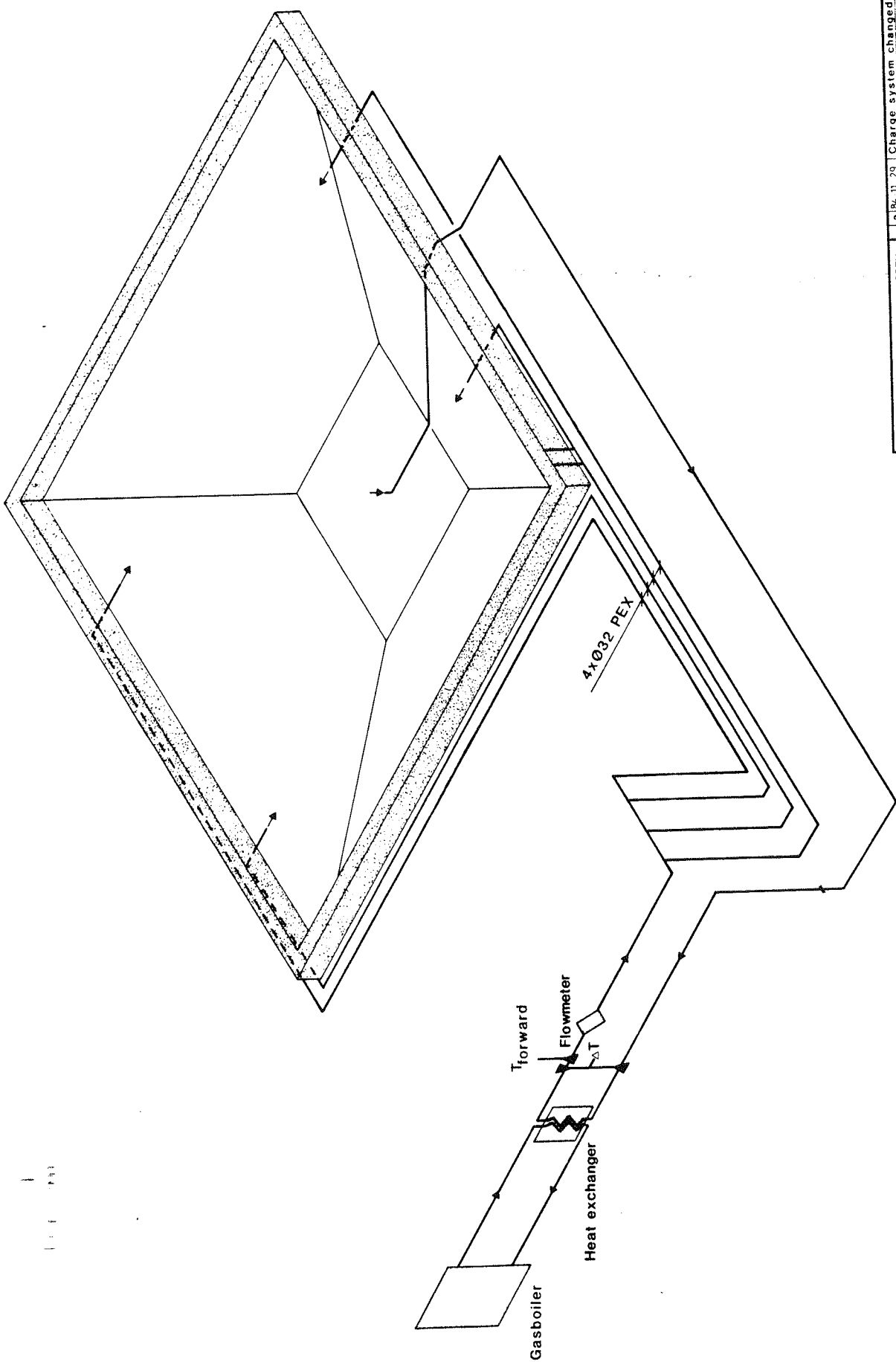
APPENDIX 1 Reviderede tegninger.



THERMAL INSULATION LABORATORY		a	86-11-29	Charge system changed	SLH/KH
TECHNICAL UNIVERSITY OF DENMARK		Design No.		Date	Drawn by
BUILDING 116, DK-2000 LYNGBY, DENMARK		Scale		Approved	
TELEPHONE: 45 46 35 11		Date		Check	
		82-10-13		Sign	
		SLH			
		KH			
SEASONAL STORAGE TEST PIT		1:100			
Charge systems, plan					
10 A					

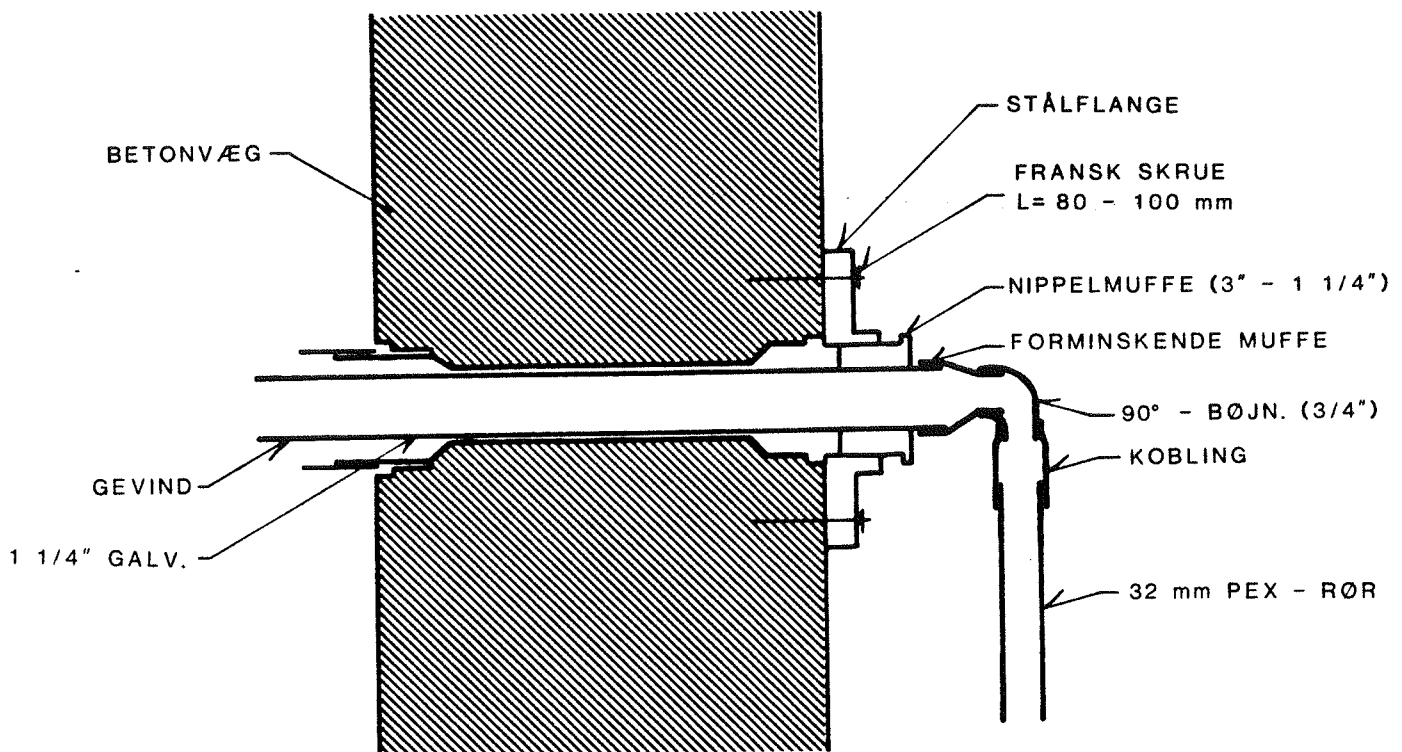
THIS DRAWING MUST NOT BE MADE AVAILABLE TO COPIED OR UNLAWFUL BY UNAUTHORIZED PARTIES





SEASONAL STORAGE TEST PIT Charge system, B										Subst by 13 A	
THERMAL INSULATION LABORATORY TECHNICAL UNIVERSITY OF DENMARK BUILDING 118 DK-2800 LYNGBY, DENMARK TELEPHONE 45 2 88 35 11		Scale		Date	Open	Check	Date	Open	Check	Date	Open
Test	Pass	Test	Pass	Date	Open	Check	Date	Open	Check	Date	Open

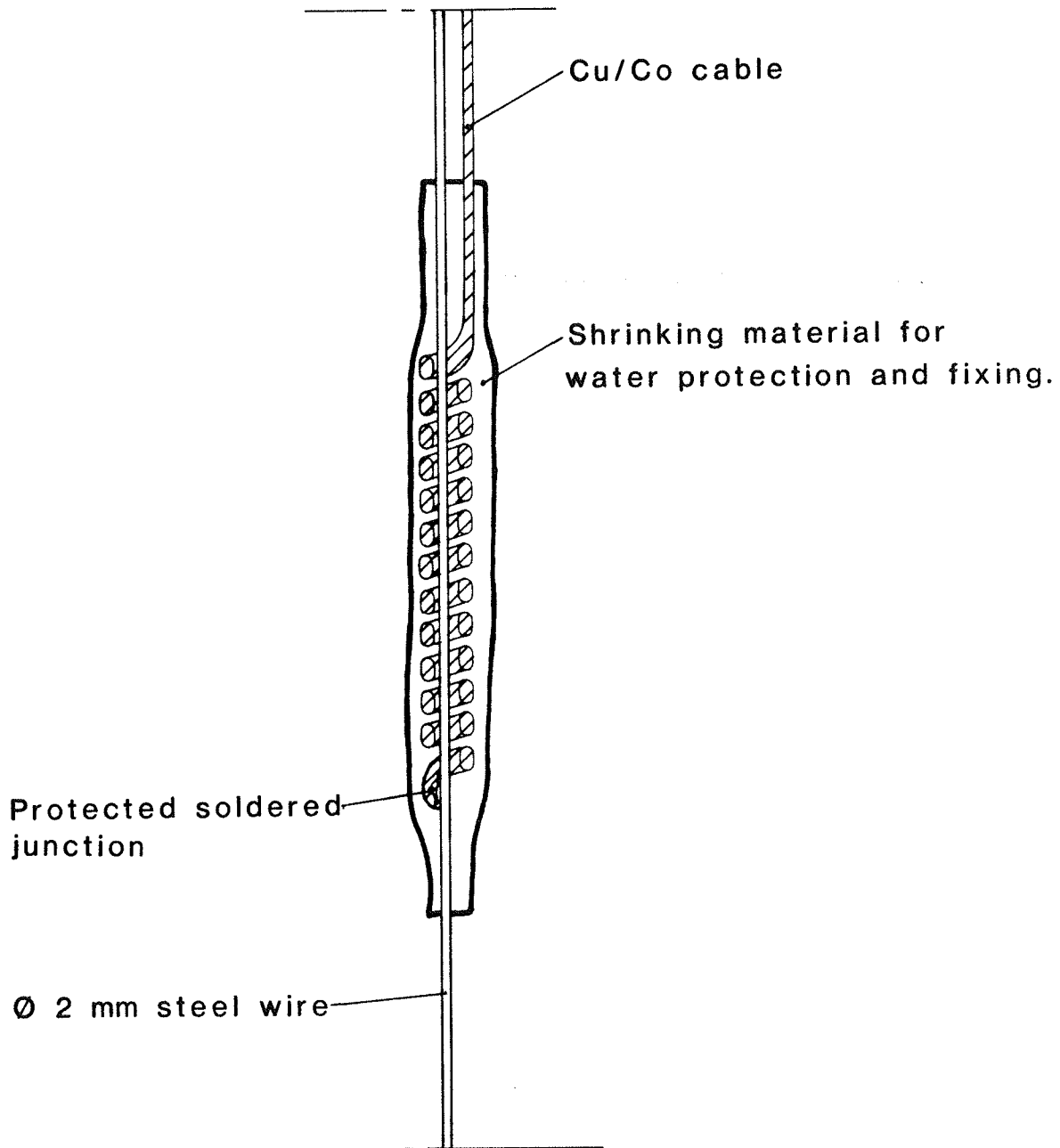
THIS DRAWING MUST NOT BE MADE AVAILABLE TO OR UTILIZED BY UNAUTHORIZED PARTIES



LABORATORIET FOR VARMEISOLERING  
DANMARKS TEKNISKE HØJSKOLE  
BYGNING 118, 2800 LYNGBY  
TELEFON (02) 88 35 11

Revision				Tegn.	Godk.
	Mrk.	Dato	Tekst		
		84-12-19	Erst. f.		
		SLH			
		KKH		32	
		Godk.	Erst. af		

DENNE TEGNING MÅ IKKE OVERLADES TIL, KOPIERES ELLER UDNYTTES AF UVEDKOMMENDE



LABORATORIET FOR VARMEISOLERING  
DANMARKS TEKNISKE HØJSKOLE  
BYGNING 118, 2800 LYNGBY  
TELEFON (02) 88 35 11

Revision

Mrk.

Dato

Tekst

Tegn. Godk.

FORSØGSVARMELAGER  
Thermoelement til målekæde  
i vand

Målforkl. 1 : 1

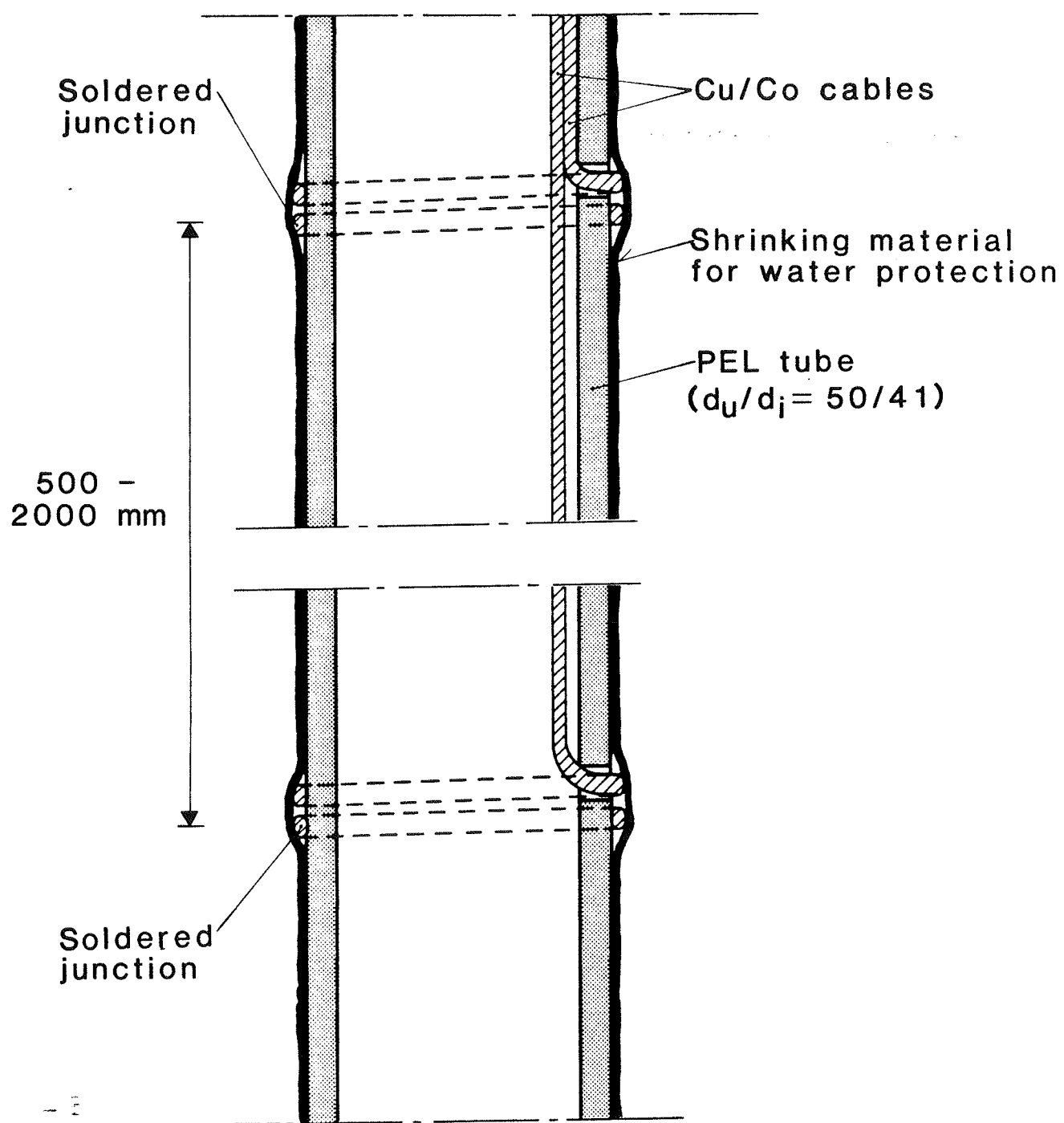
Dato 84-12-15

Tegn. SLH

Konf. KKH

Godk. --

Erst. af 33



LABORATORIET FOR VARMEISOLERING DANMARKS TEKNISKE HØJSKOLE BYGNING 118, 2800 LYNGBY TELEFON (02) 88 35 11	Revision				
	Mrk	Dato	Tekst	Tegn	Godk.
FORSØGSVARMELAGER Thermoelementer til målekæde i jord	Maiforhold	Dato	84-12-15	Erst. f.	
	1 : 1	Tegn.	SLH		34
		Konf.	KKH		
		Godk.		Erst. af	
DENNE TEGNING MÅ IKKE OVERLADES TIL, KOPIERES ELLER UDNYTTES AF UVEDKOMMENDE					

## APPENDIX 2

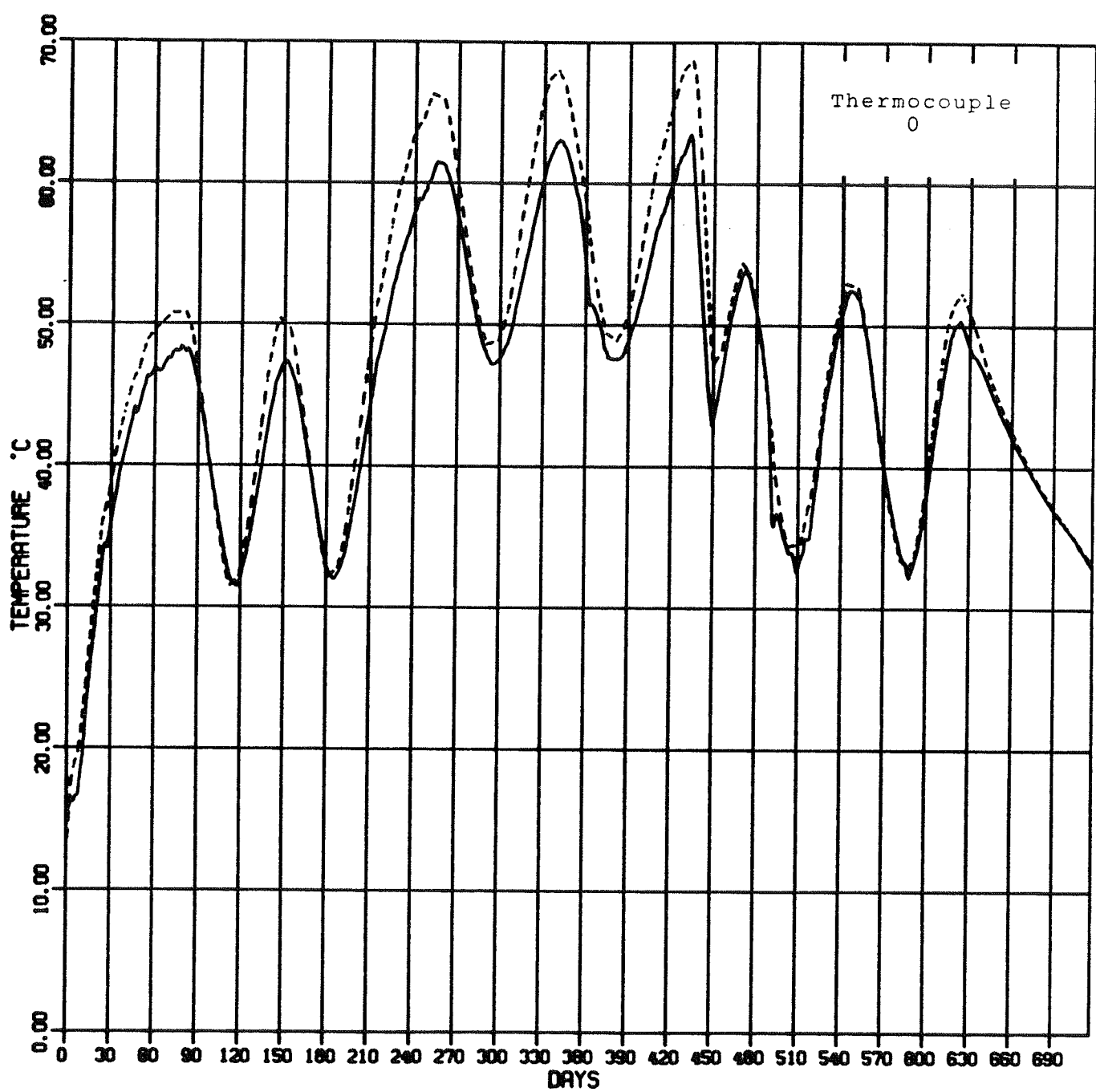
Målte - og beregnede temperaturer i jordmålepunkterne (termoelementplaceringerne er vist på tegningerne 21 og 22 i reference [1] samt antydet på figur 3 og figur 4 i denne rapport).

Note:

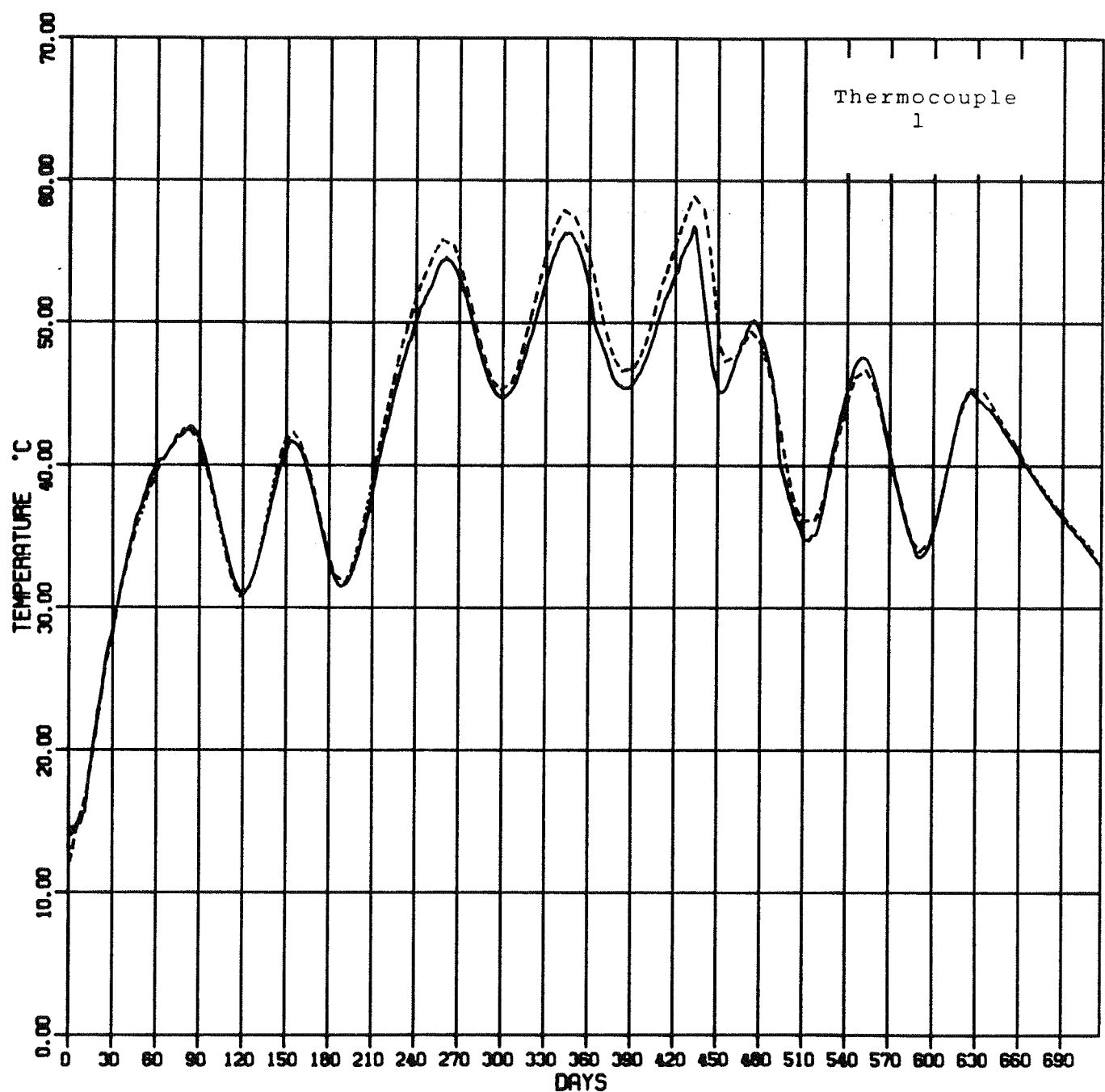
— Målt temperatur.

---- Beregnet temperatur. De anvendte termiske egenskaber for jorden er  $\lambda = 1,6 \text{ Wm}^{\circ}\text{C}$  og  $\alpha = 22 \text{ m}^2/\text{år}$ .

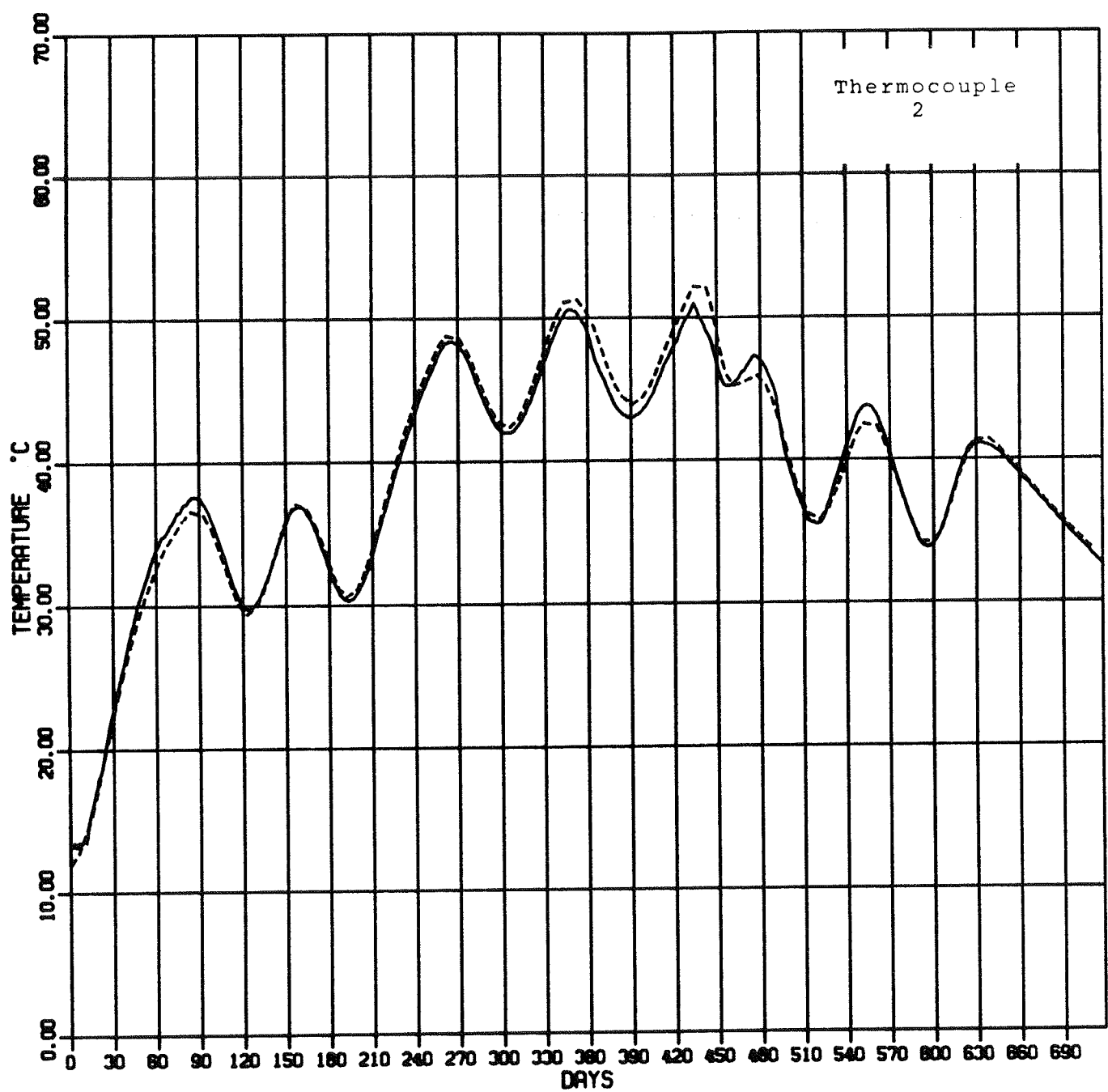
# SOIL TEMPERATURE



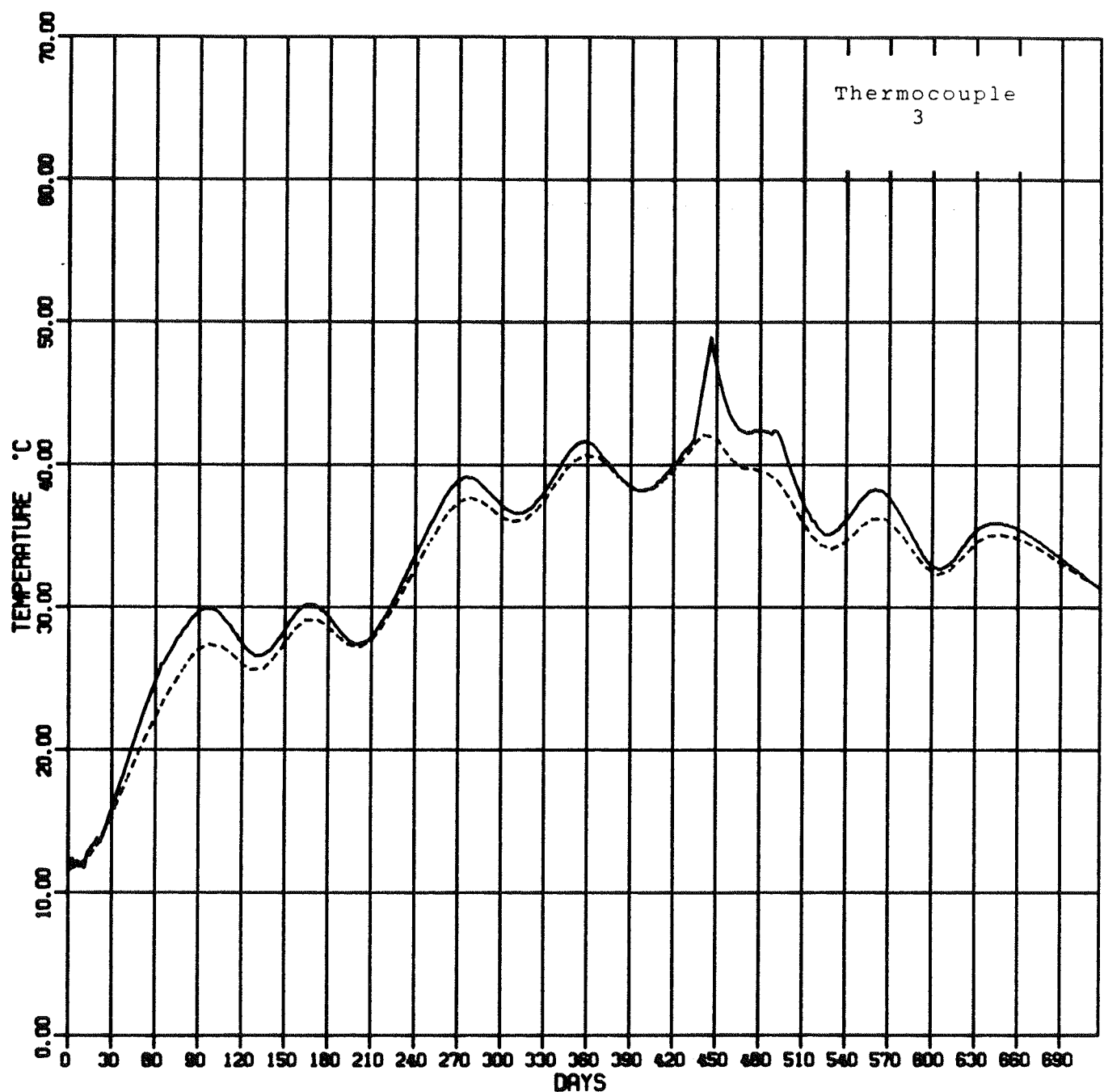
# SOIL TEMPERATURE



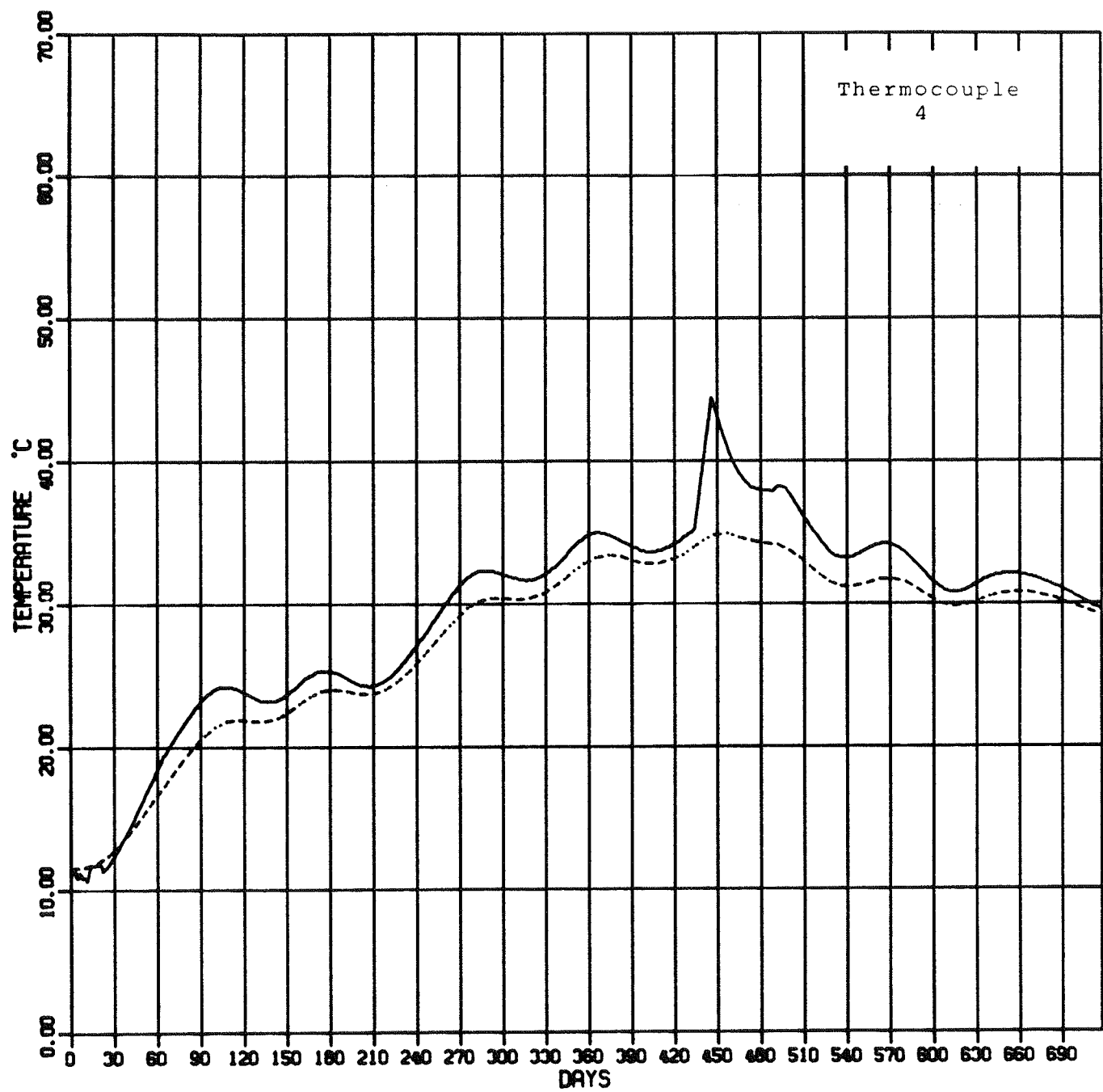
# SOIL TEMPERATURE



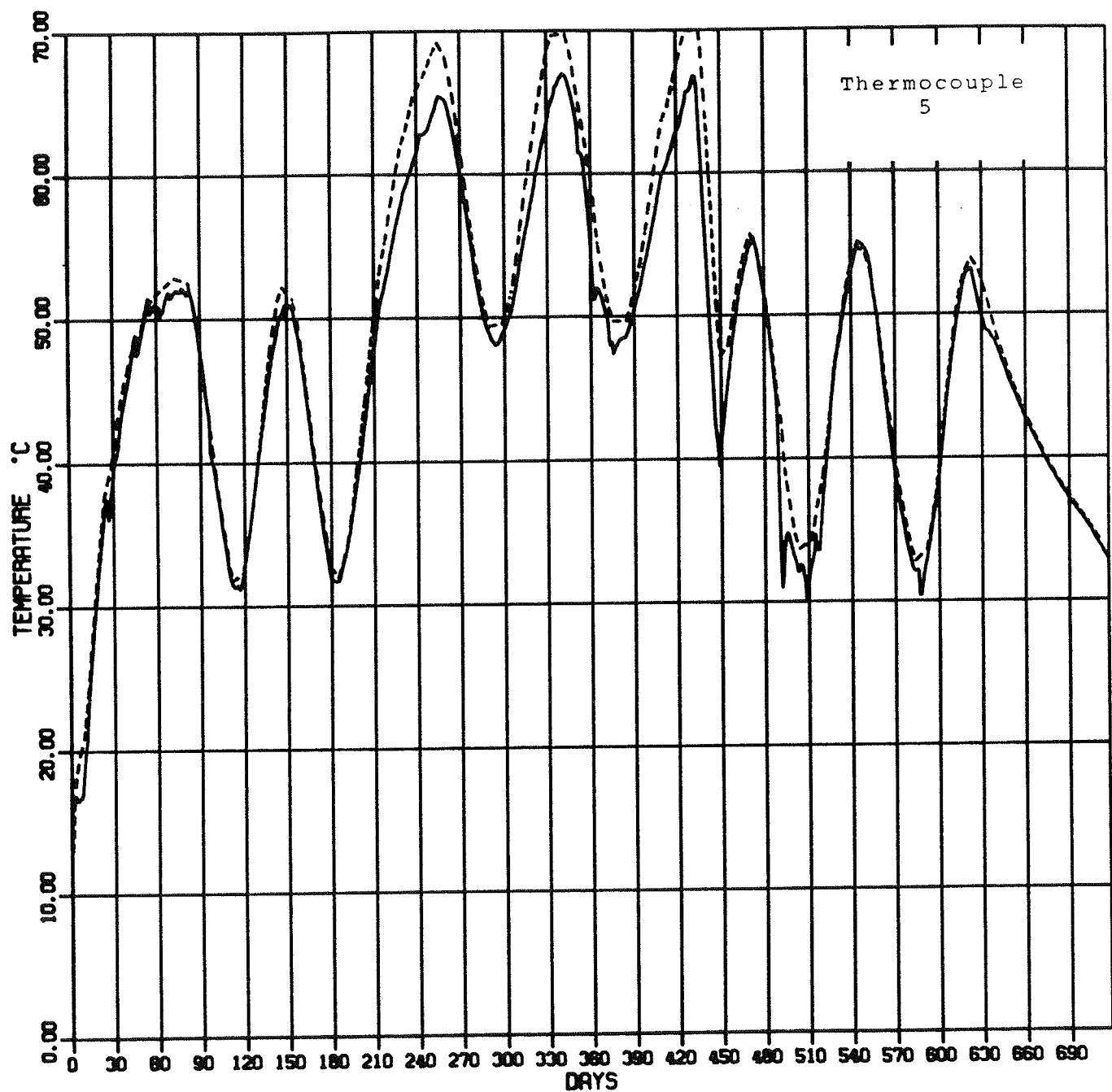
# SOIL TEMPERATURE



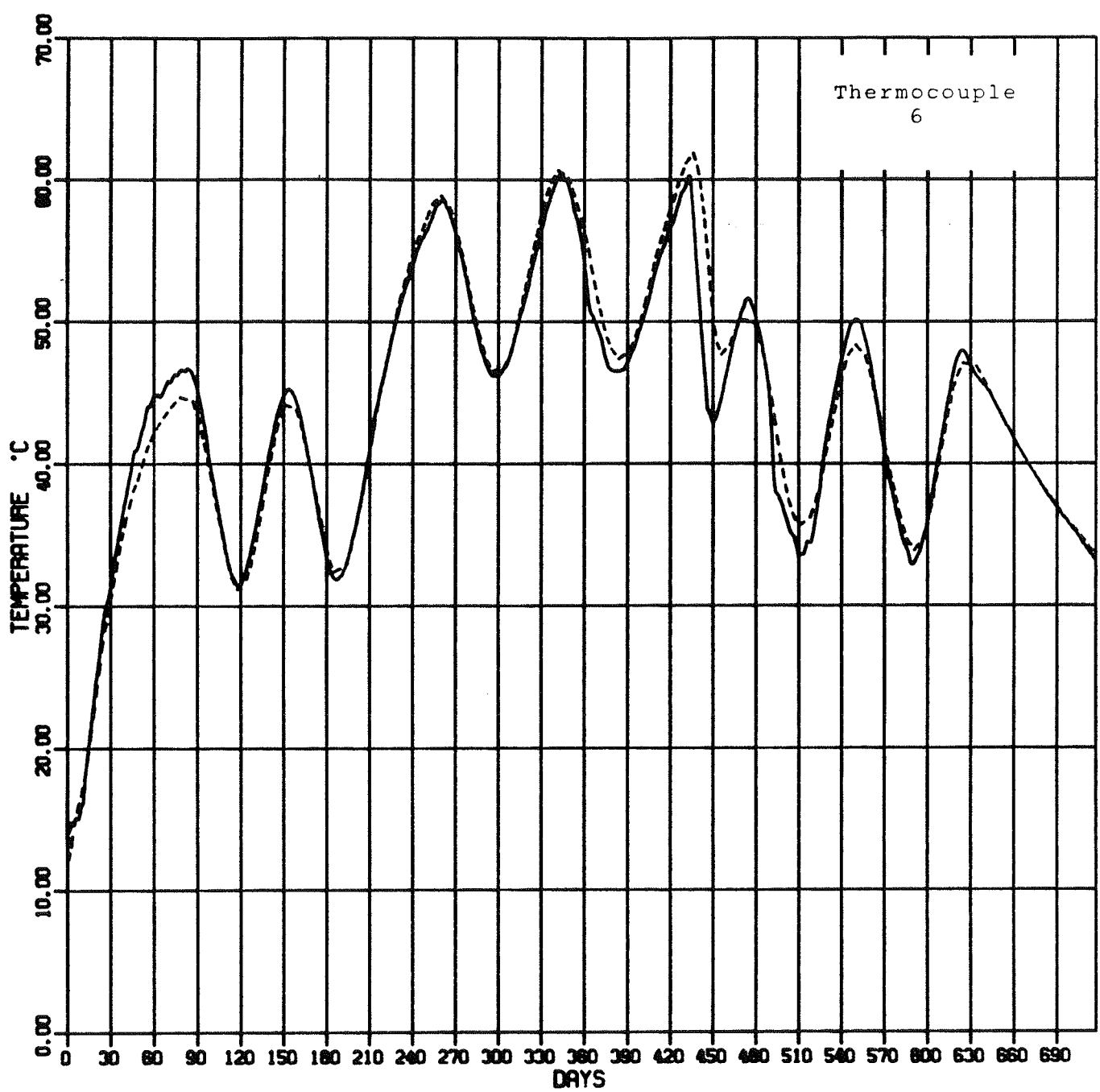
# SOIL TEMPERATURE



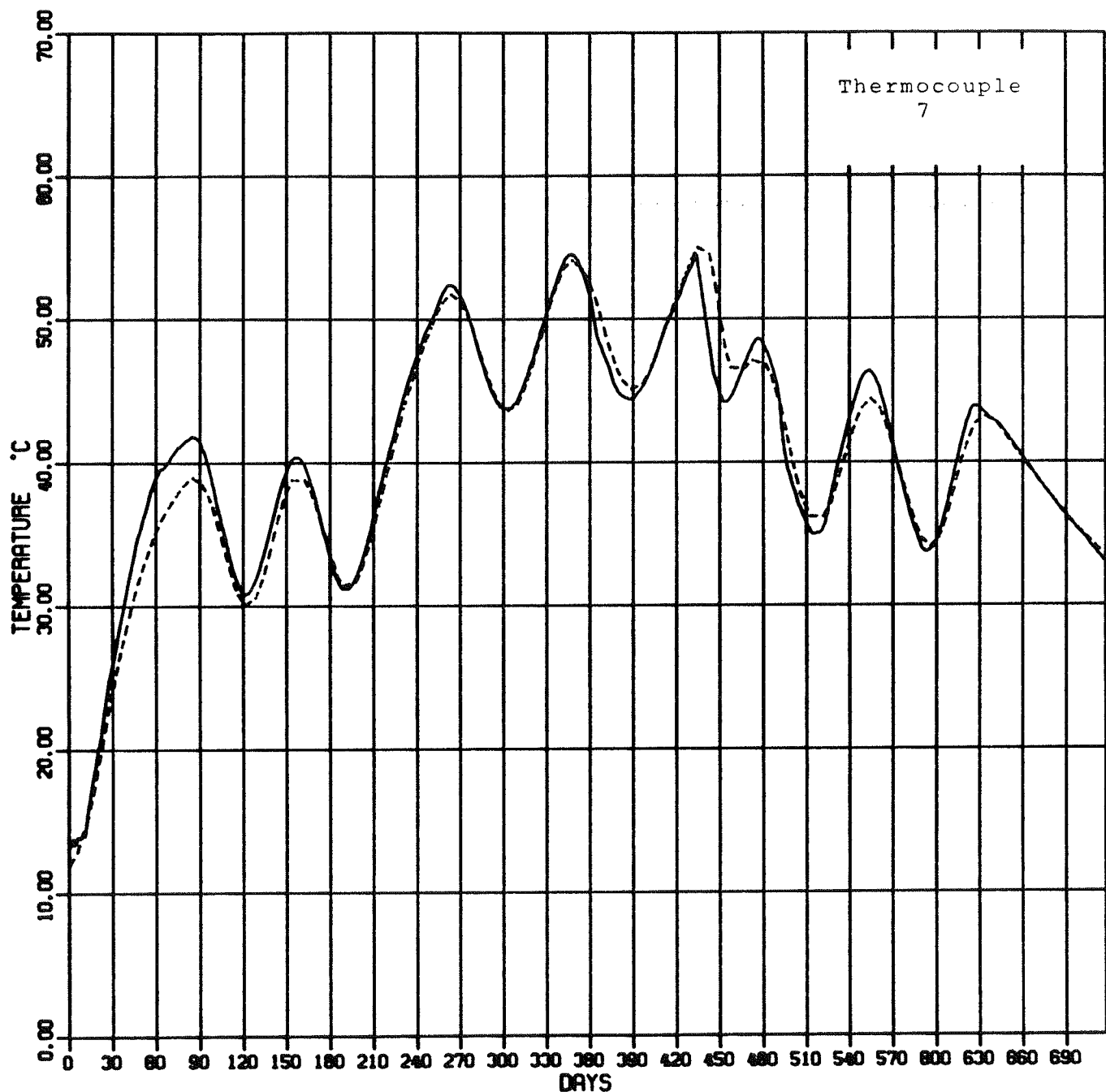
# SOILTEMPERATURE



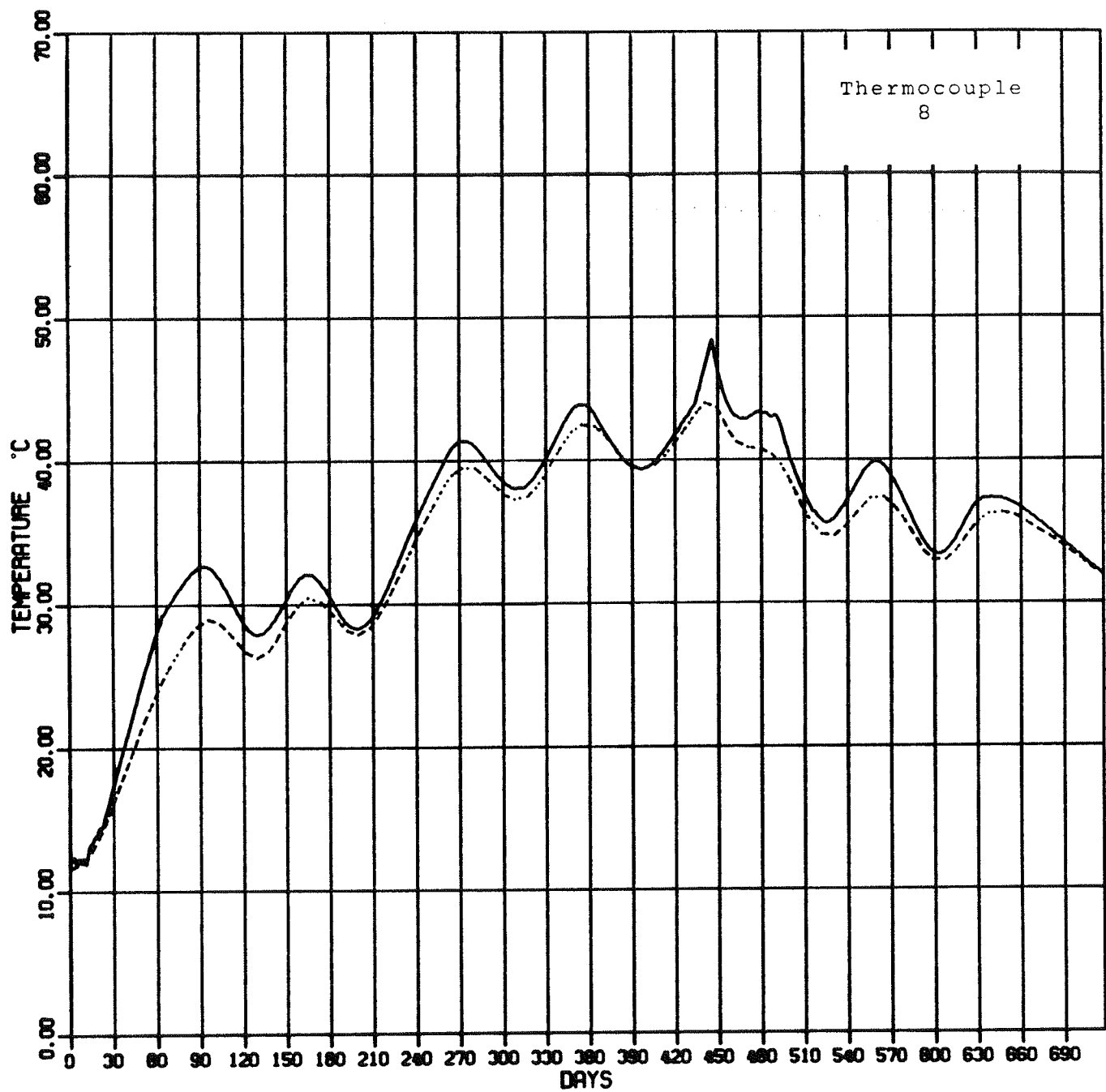
# SOIL TEMPERATURE



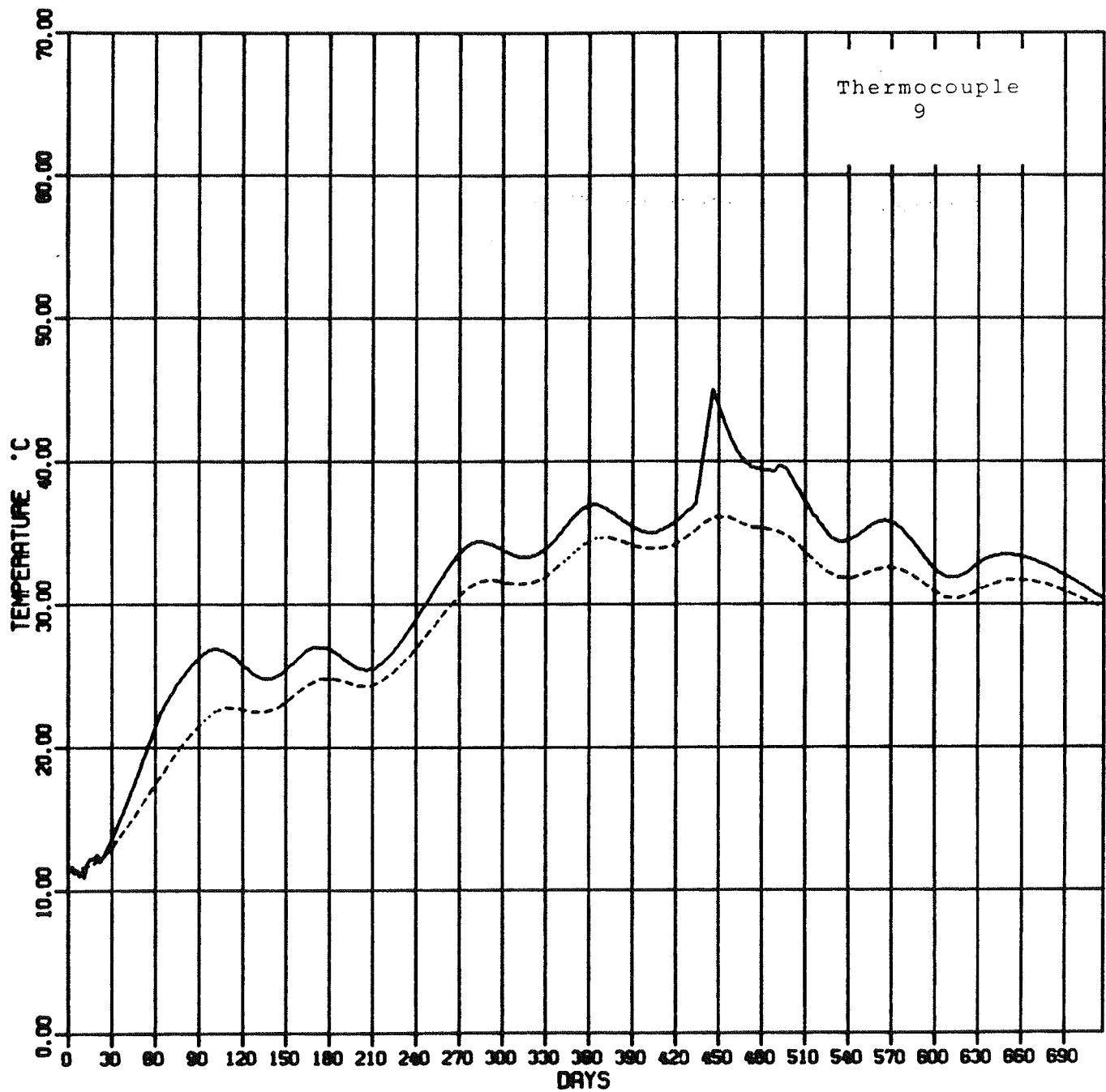
# SOIL TEMPERATURE



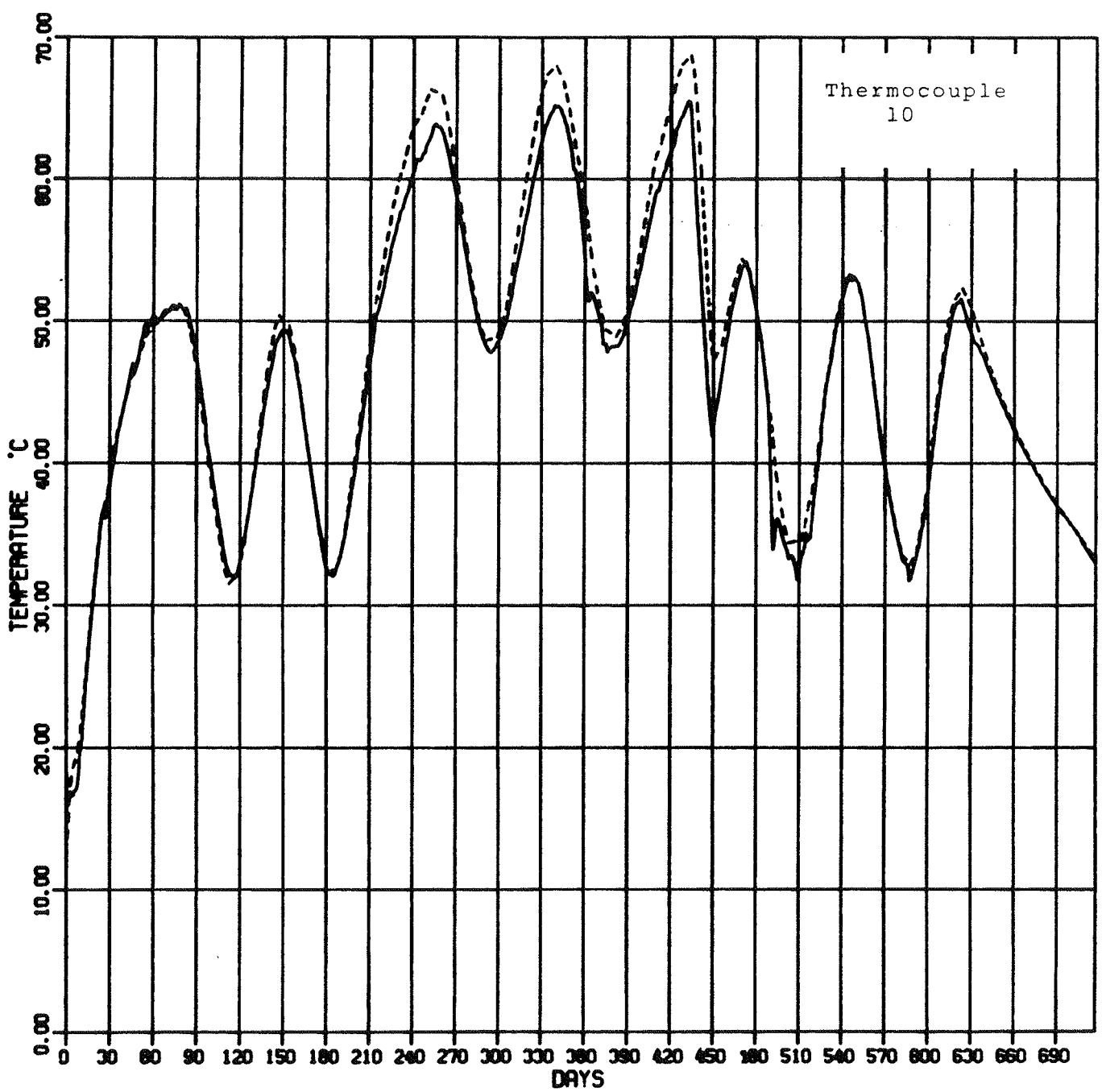
# SOIL TEMPERATURE



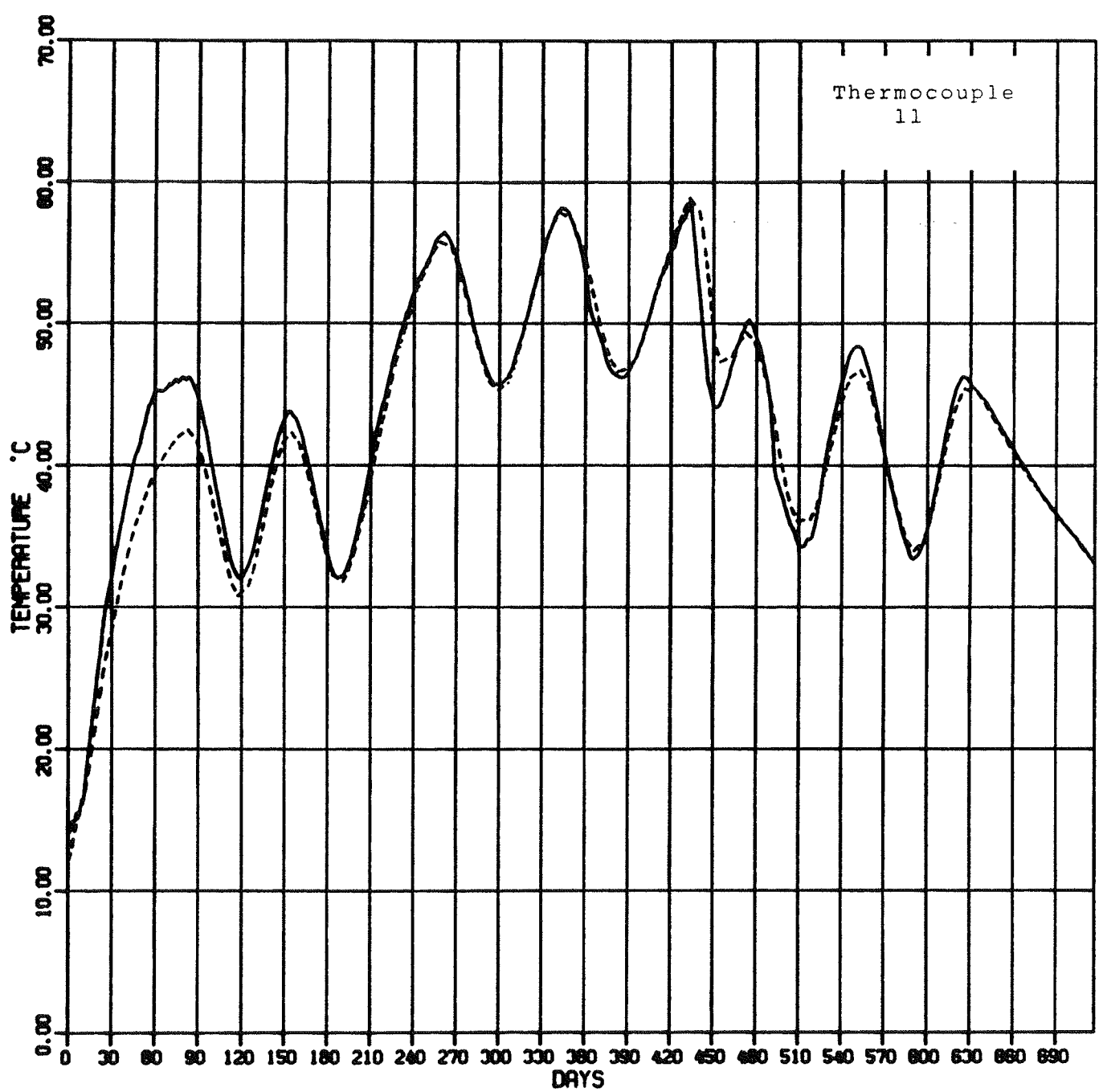
# SOIL TEMPERATURE



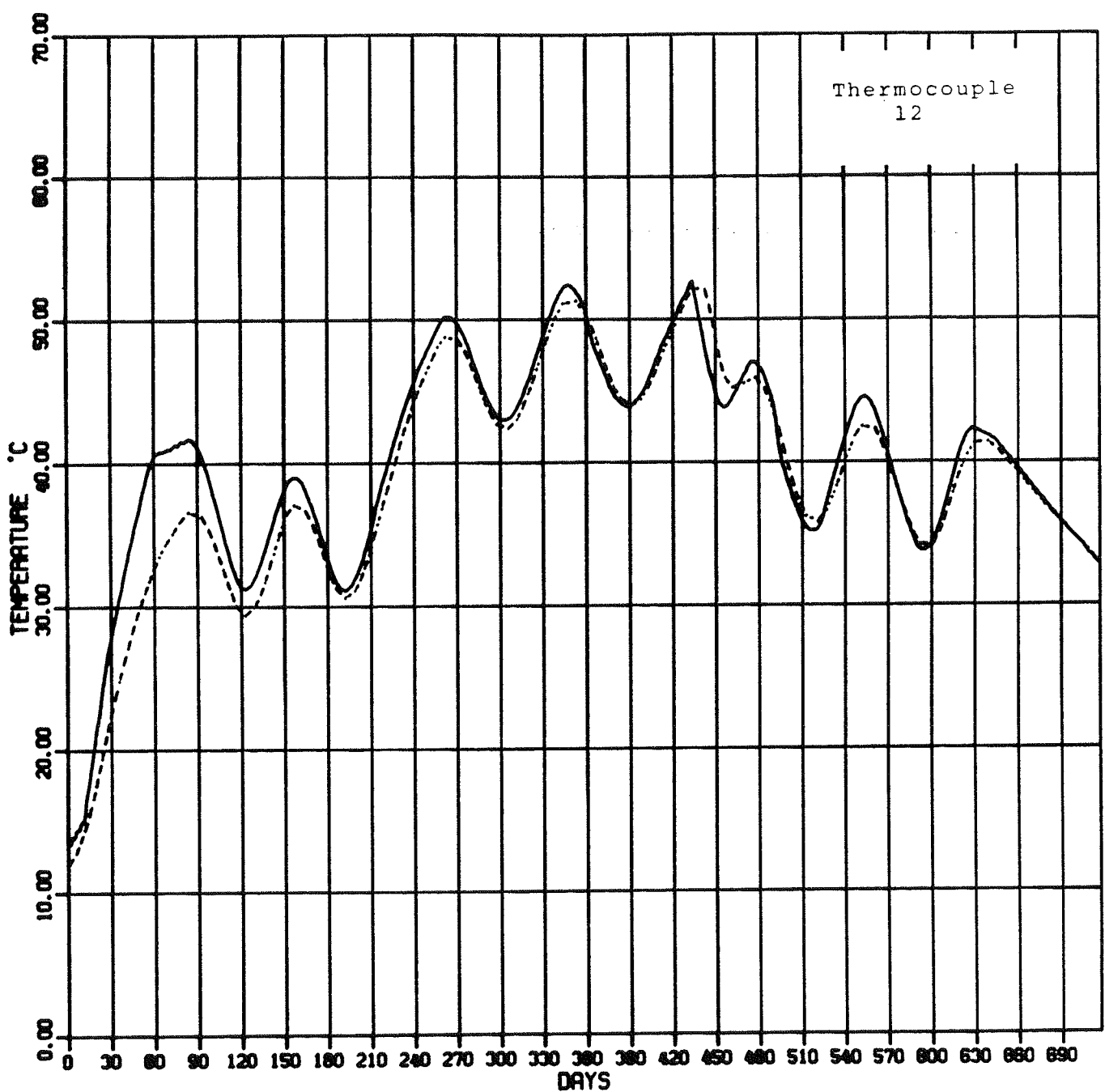
## SOIL TEMPERATURE



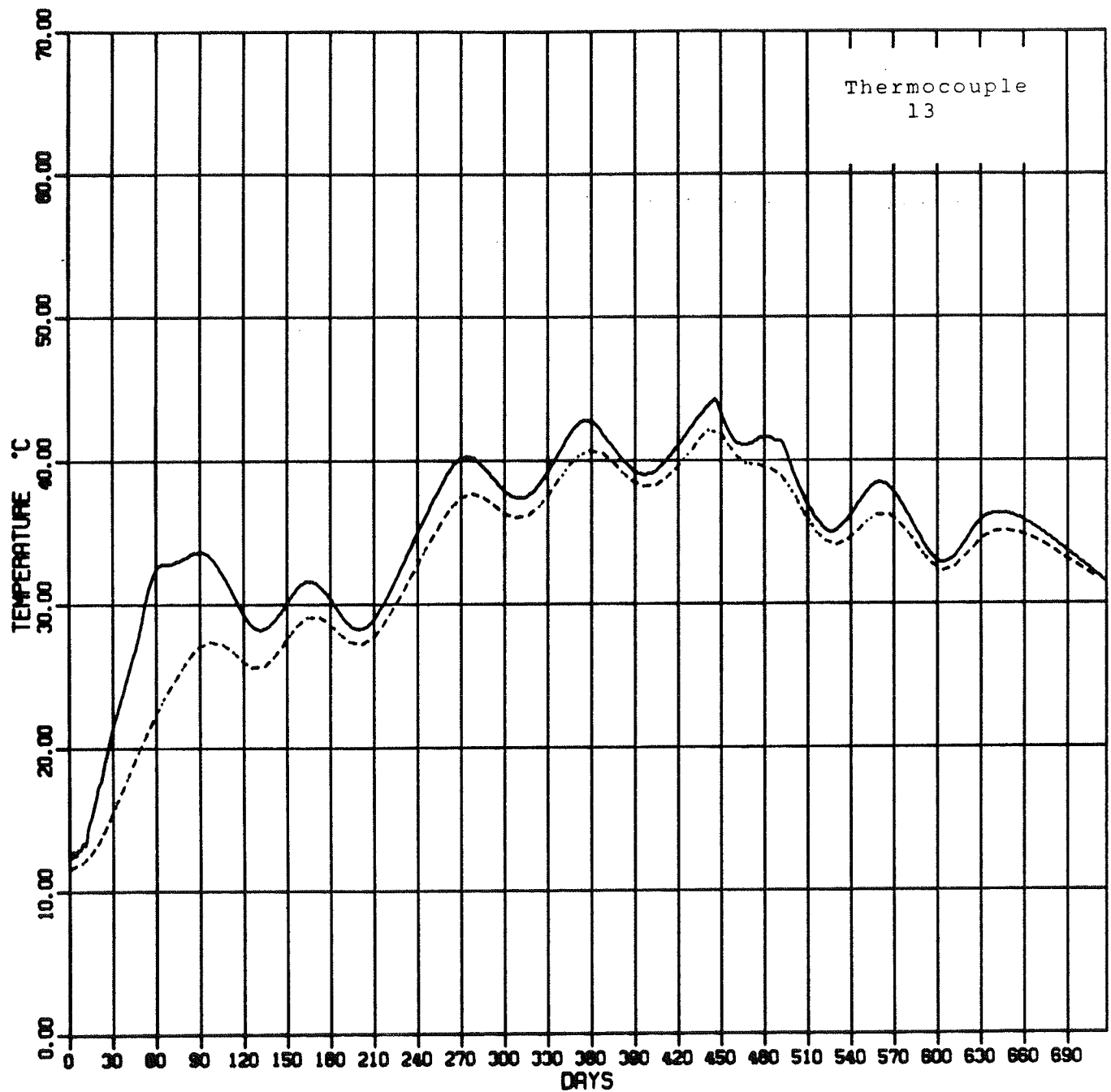
# SOIL TEMPERATURE



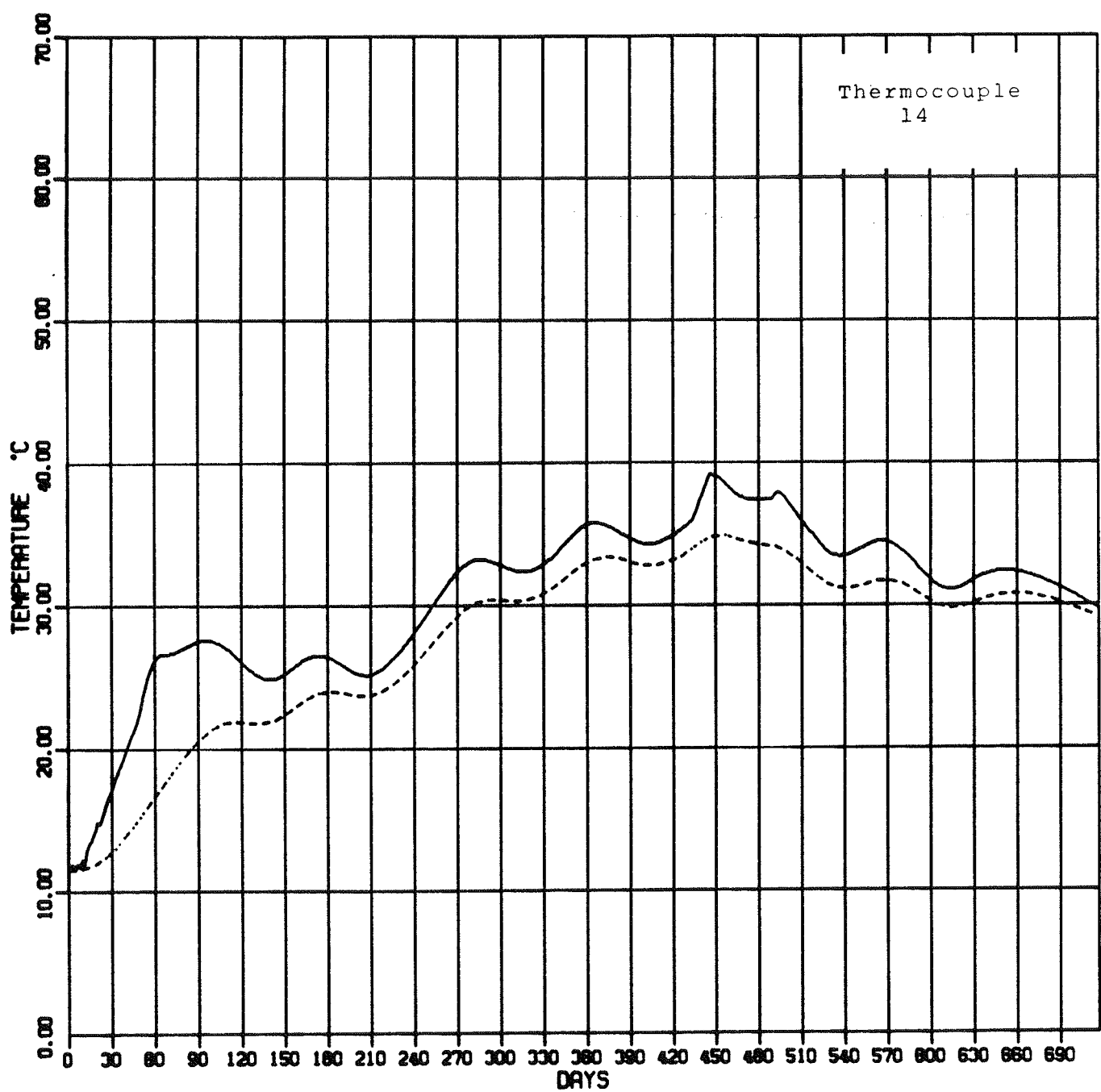
## SOIL TEMPERATURE



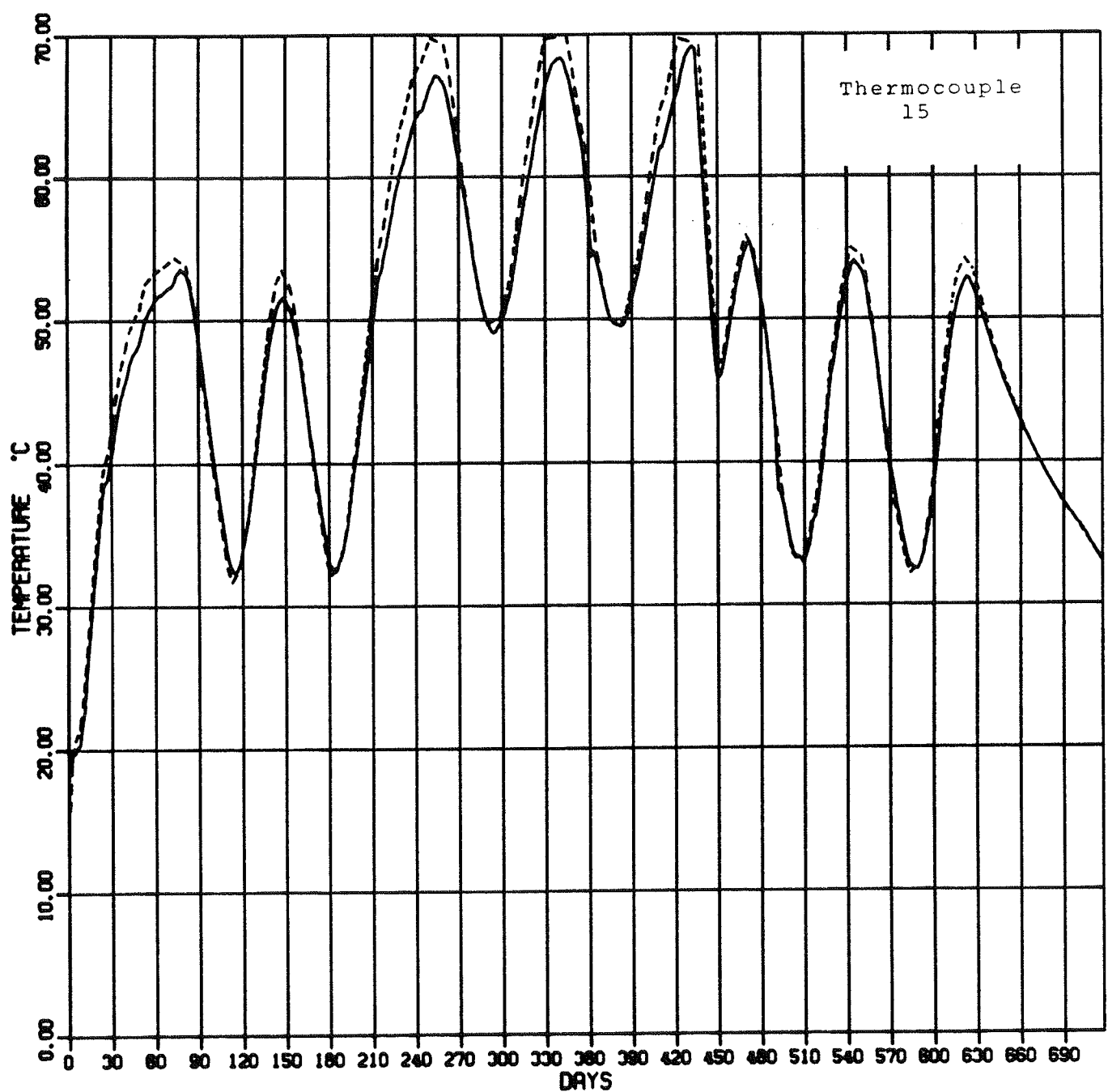
# SOIL TEMPERATURE



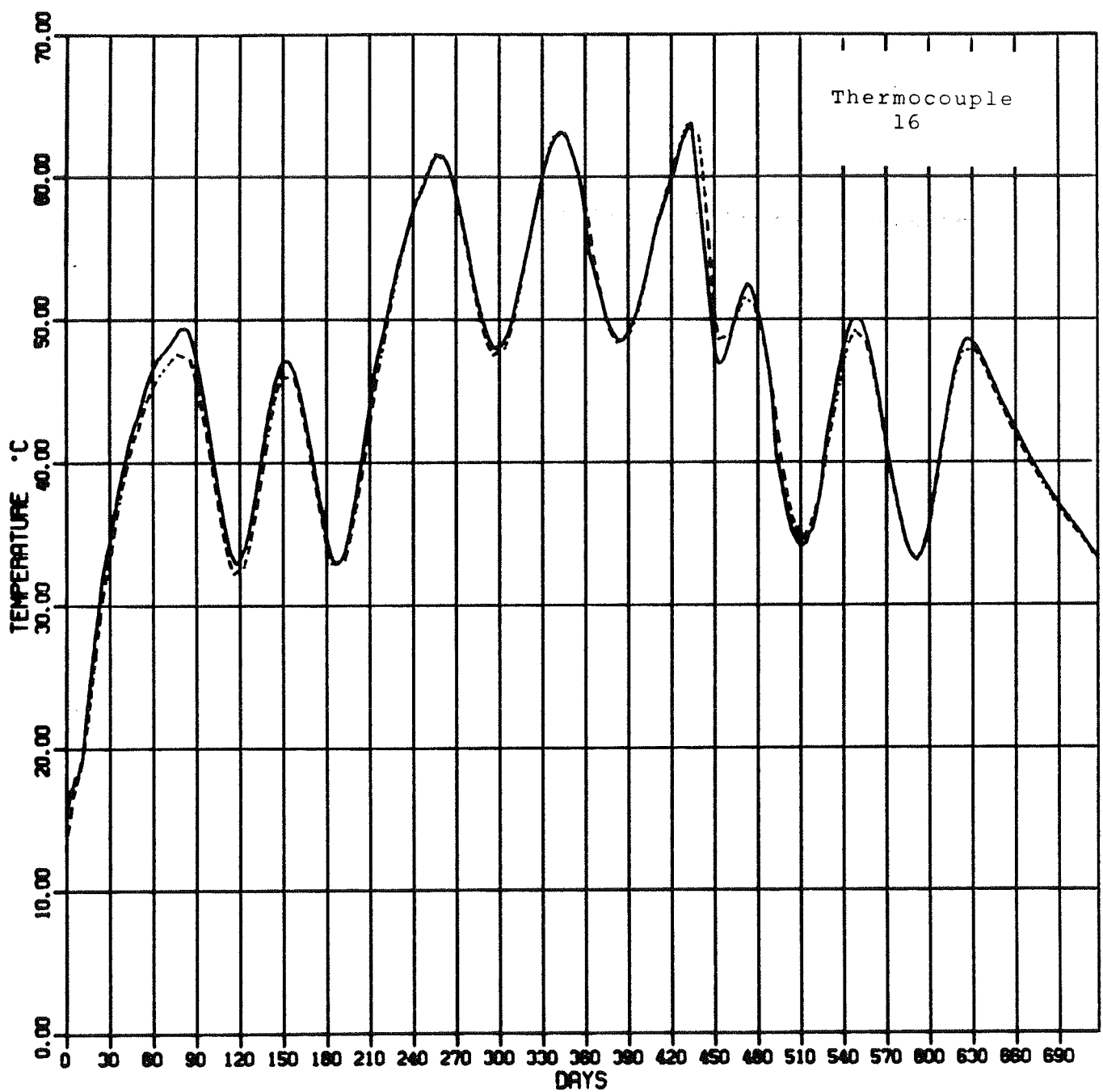
# SOIL TEMPERATURE



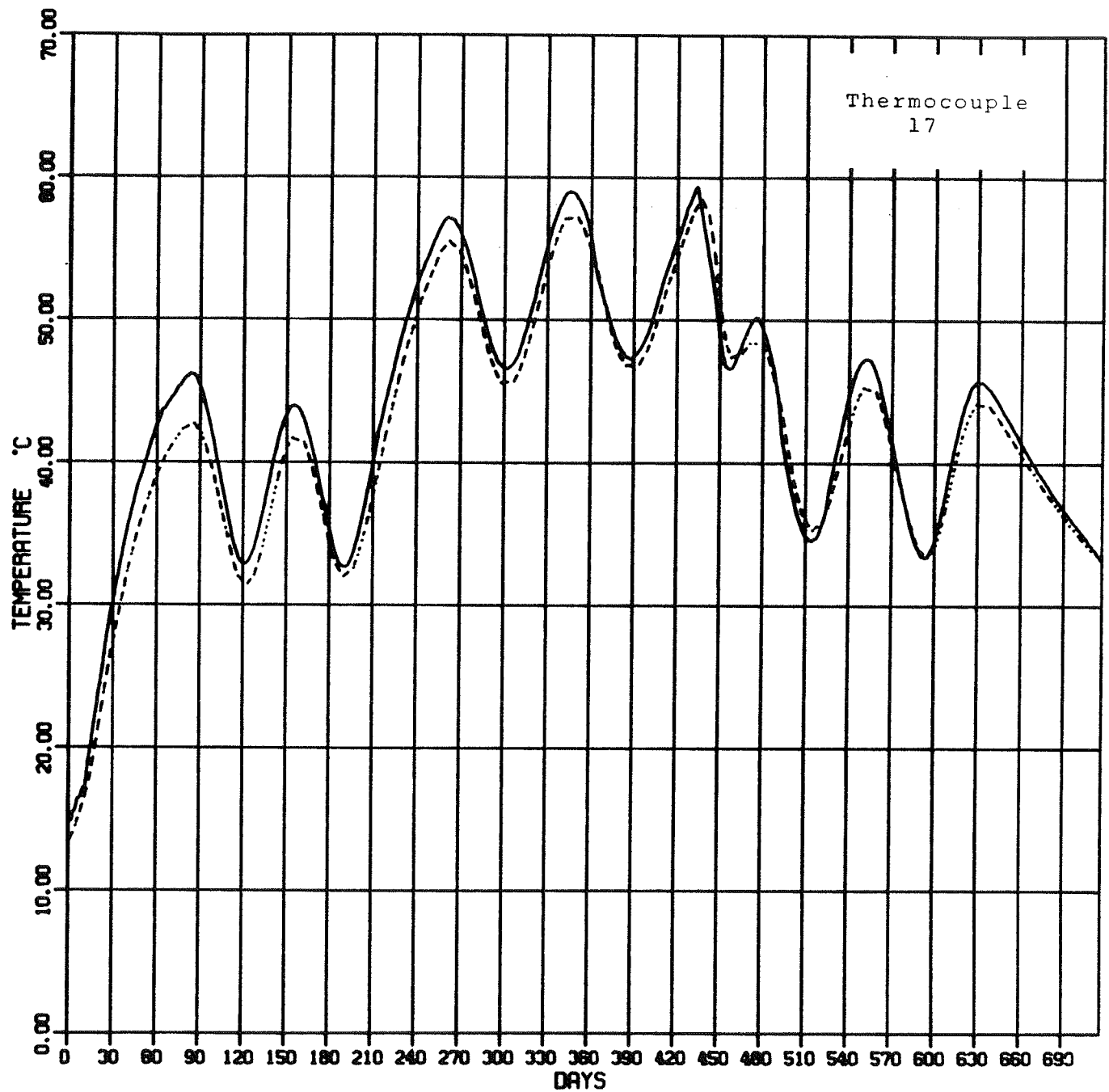
# SOIL TEMPERATURE



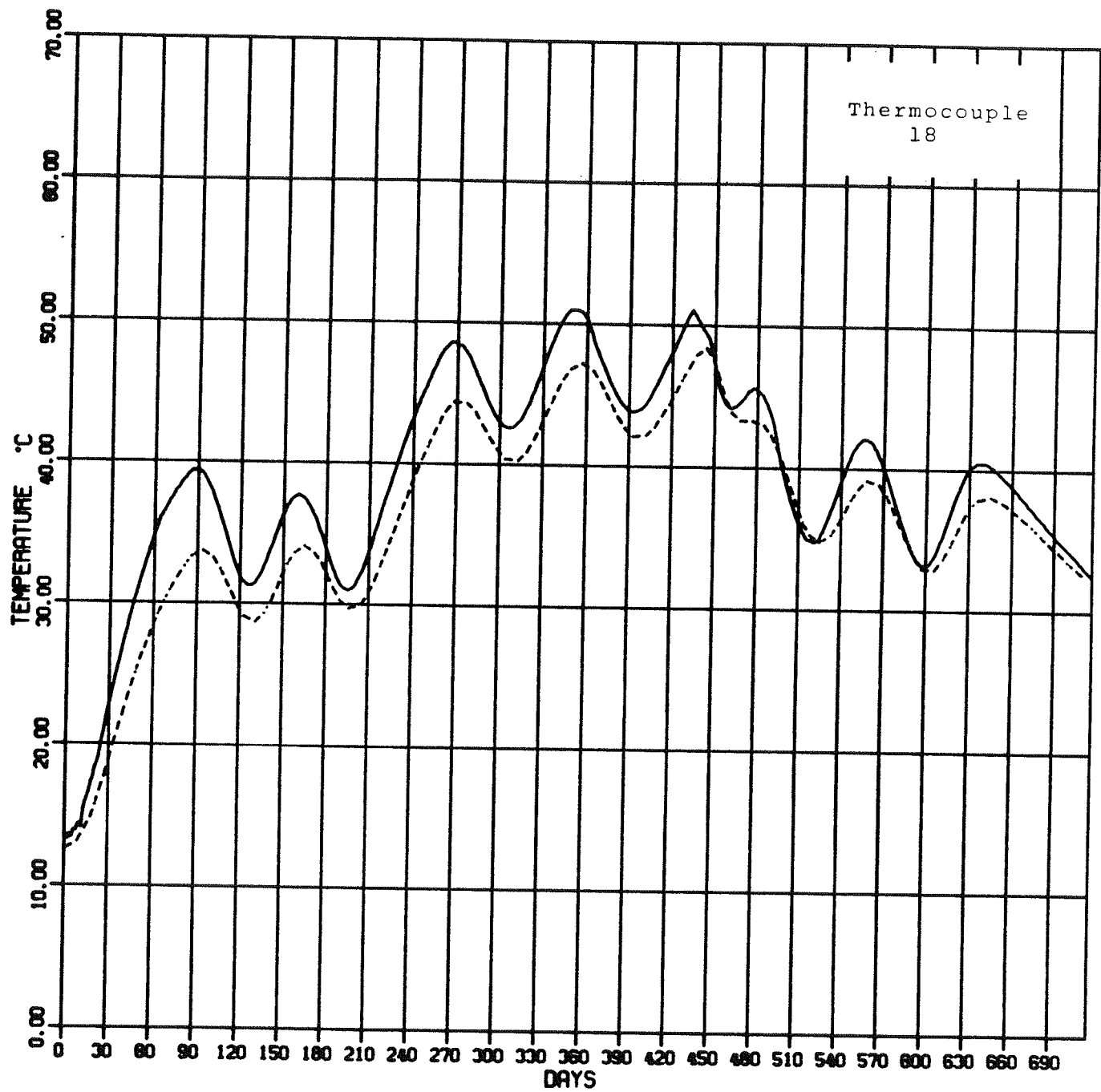
# SOIL TEMPERATURE



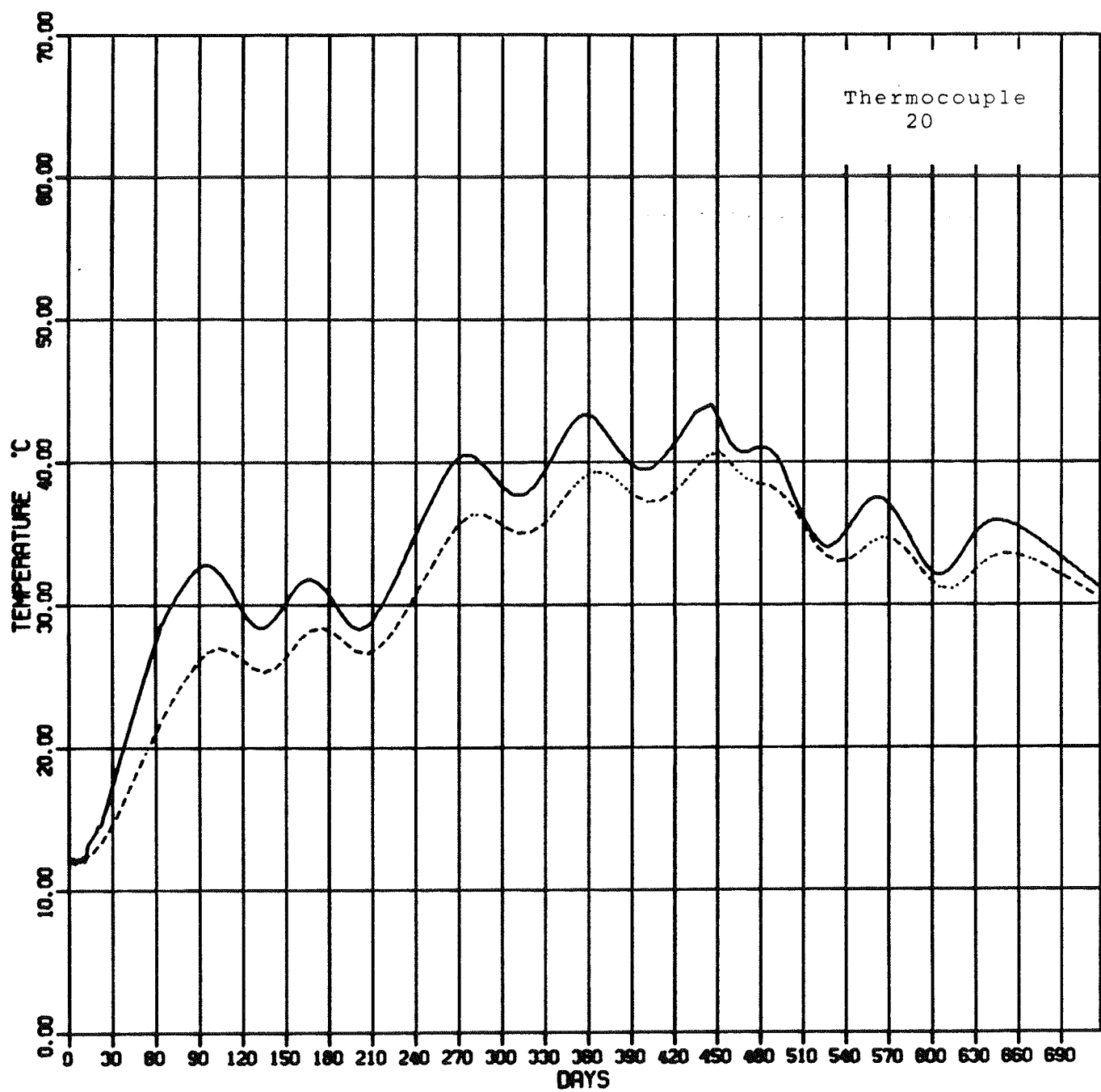
# SOIL TEMPERATURE



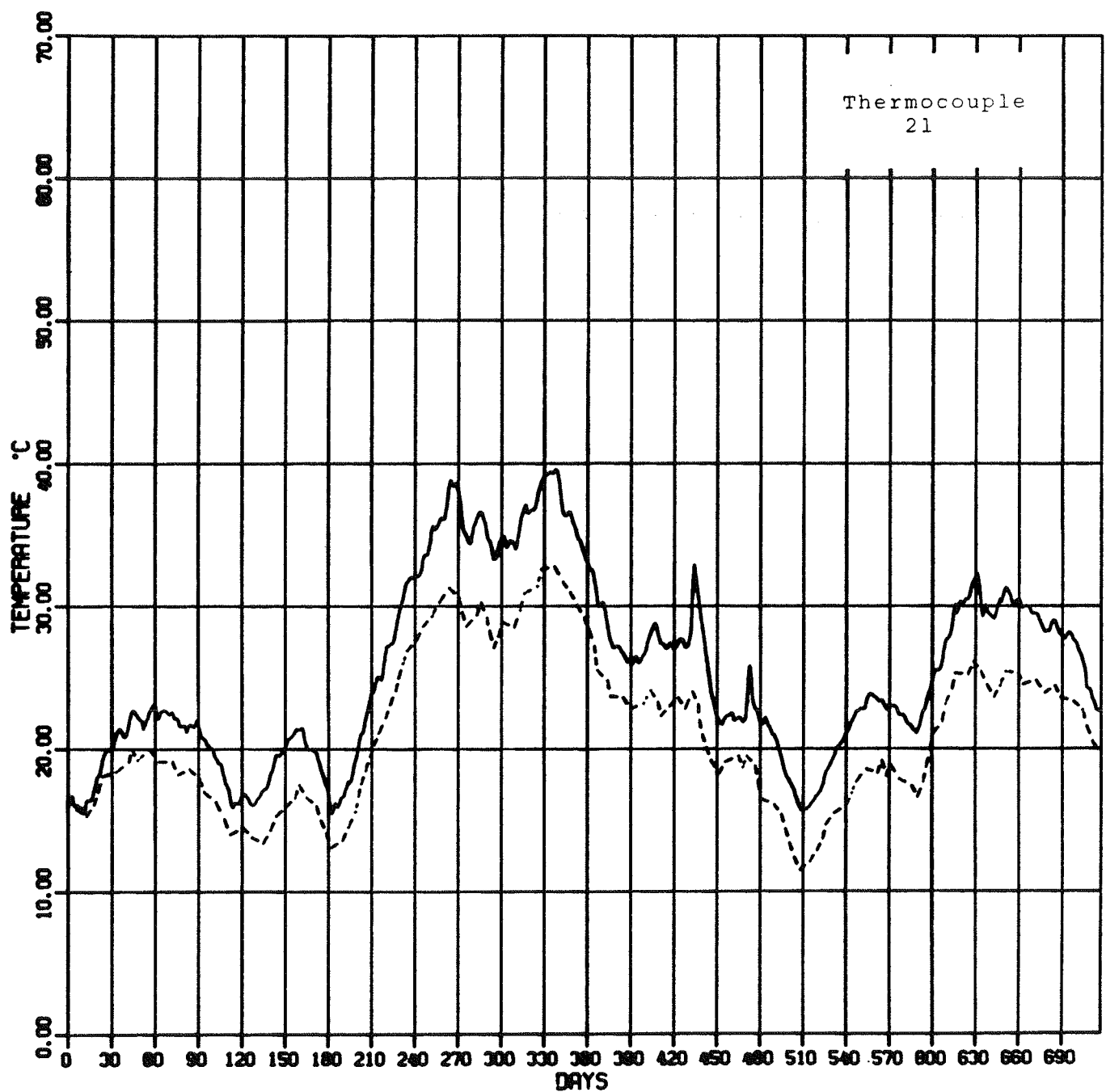
# SOIL TEMPERATURE



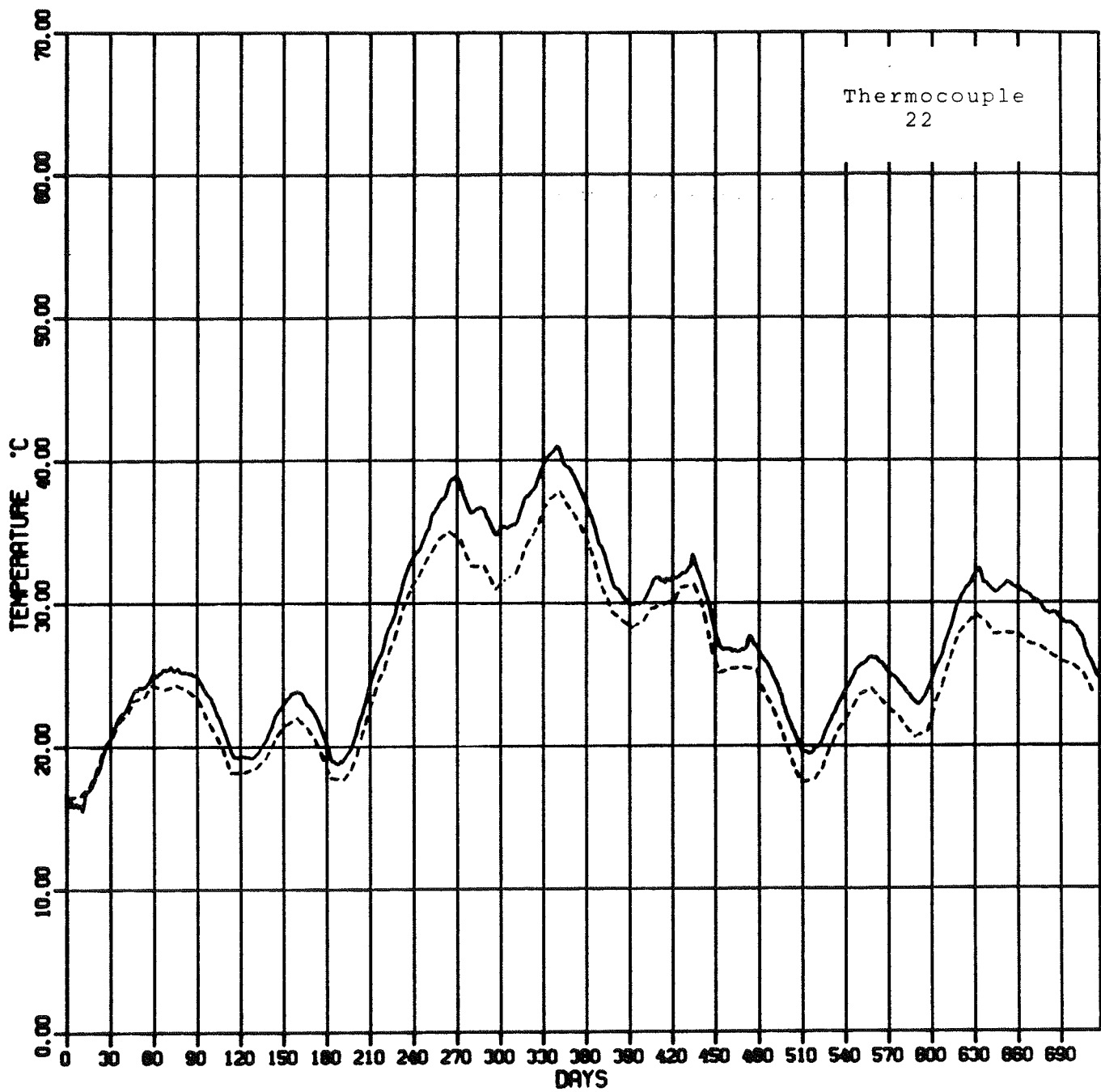
# SOIL TEMPERATURE



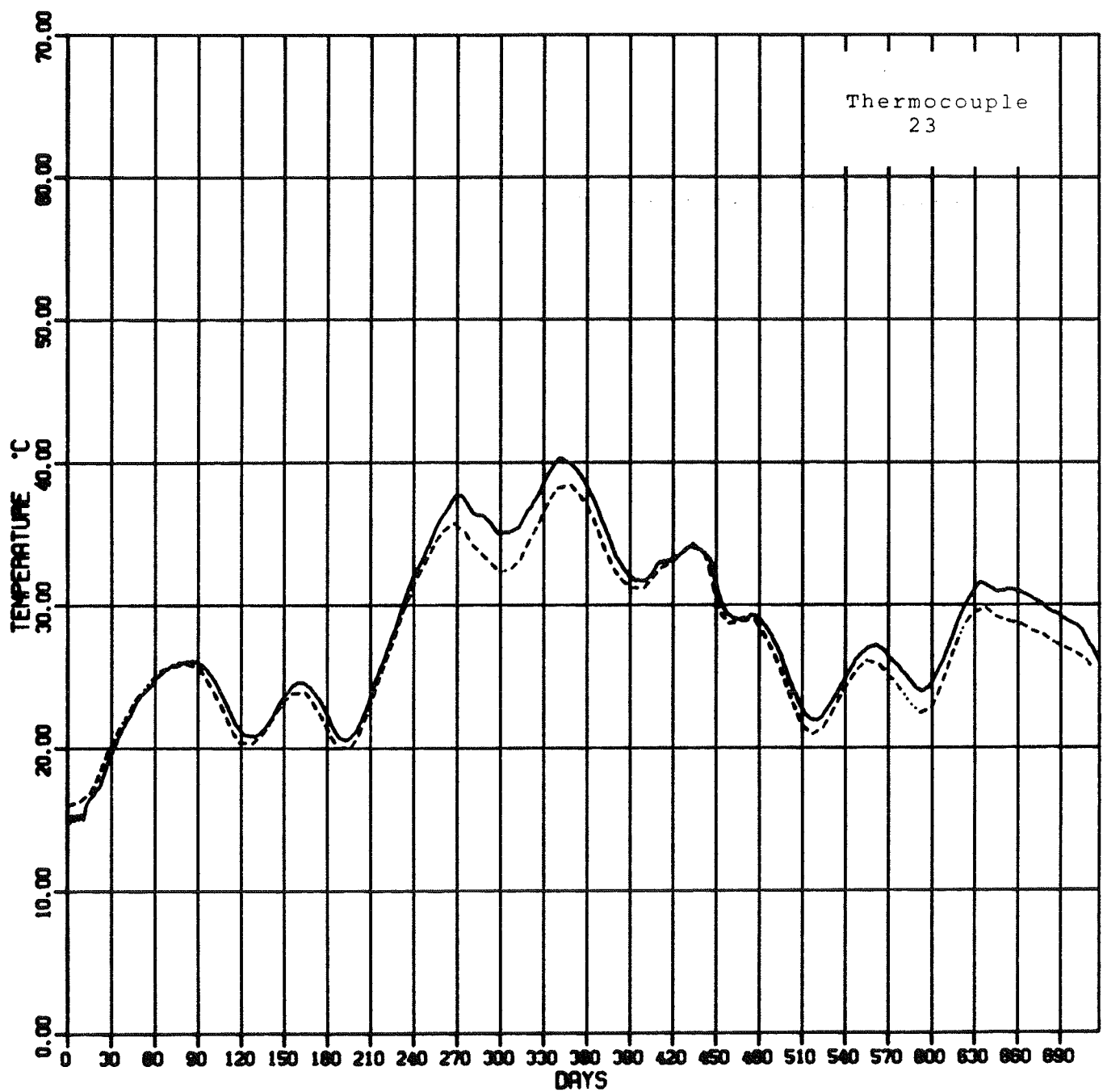
# SOIL TEMPERATURE



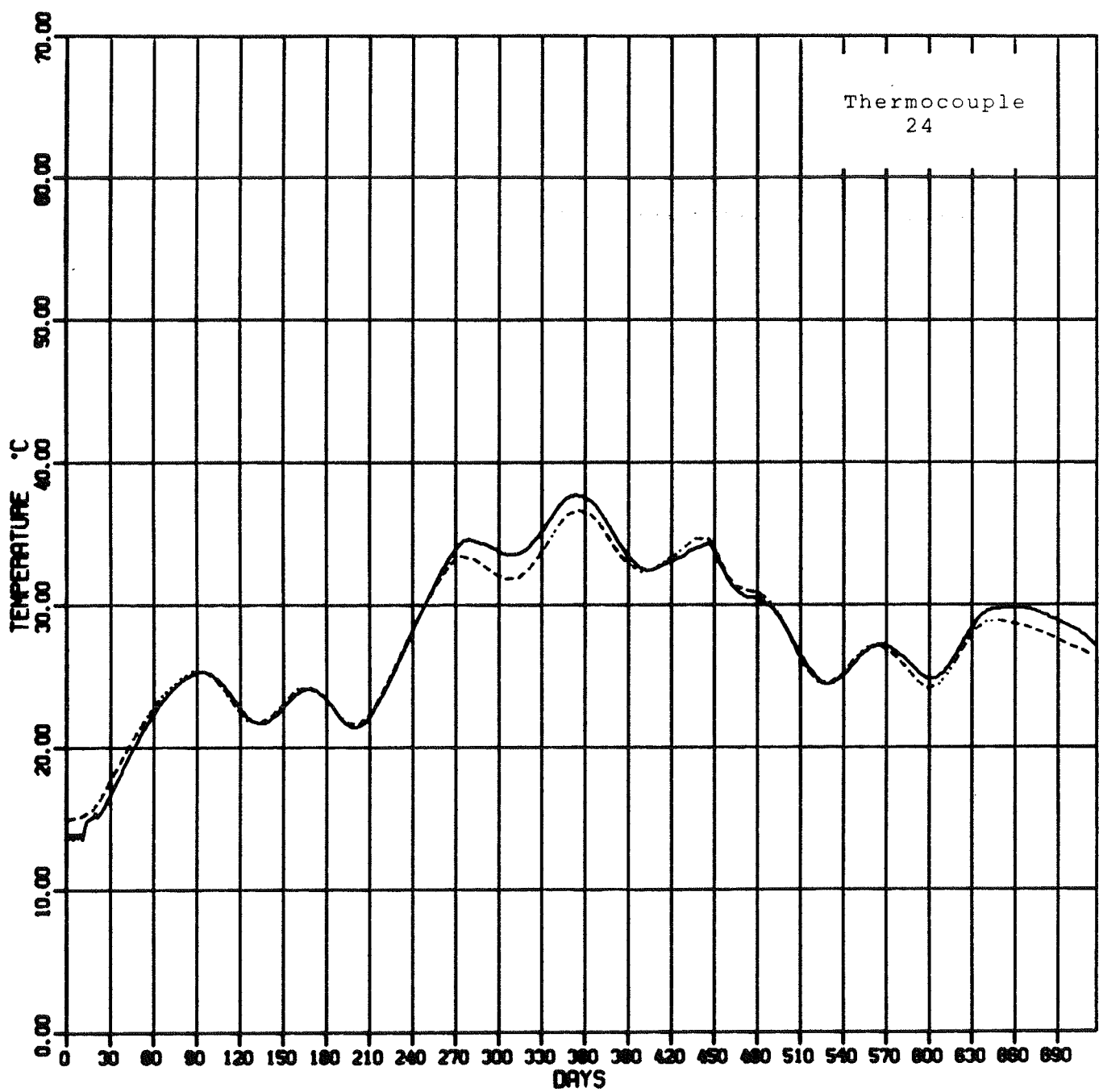
# SOIL TEMPERATURE



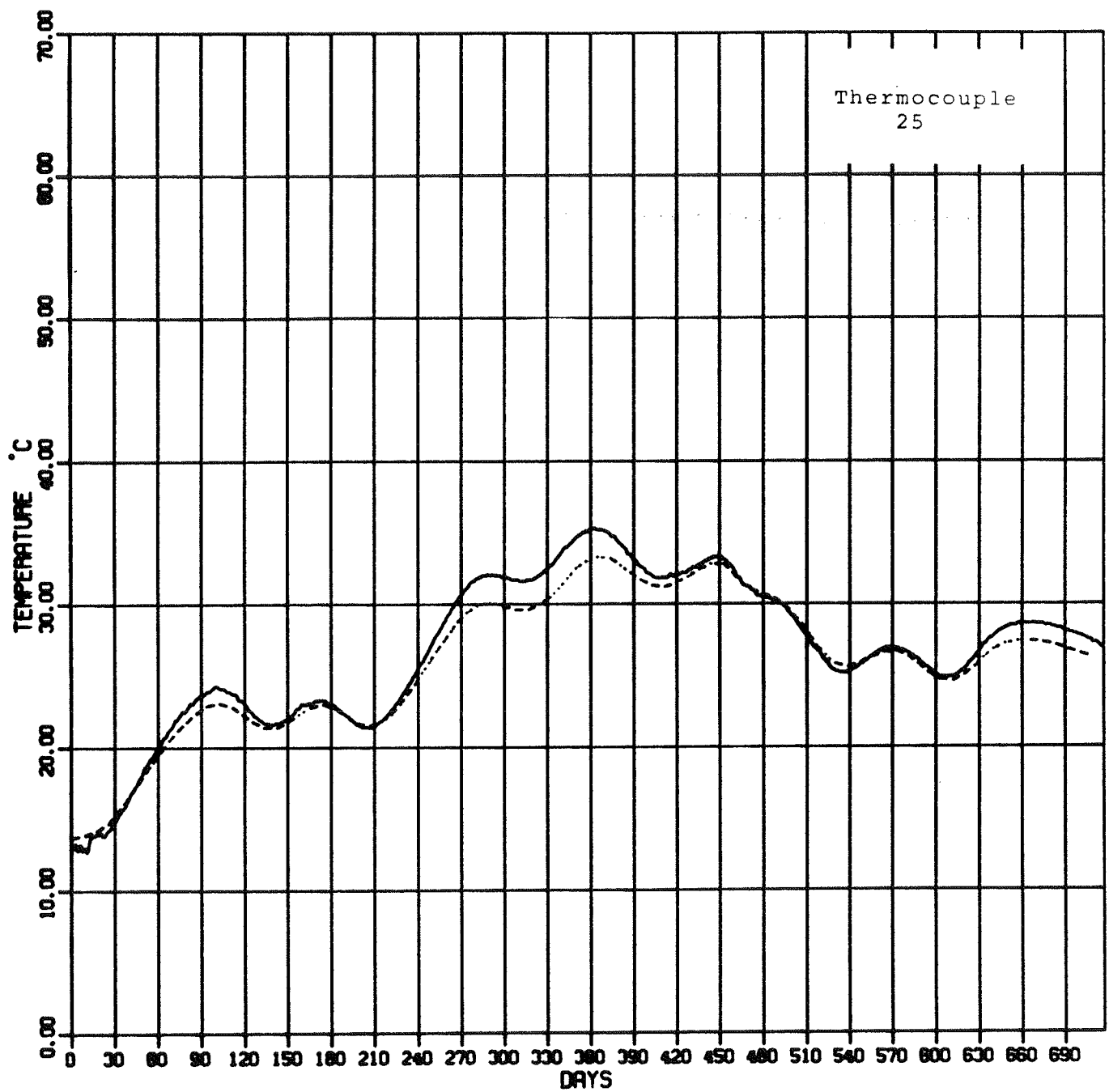
# SOIL TEMPERATURE



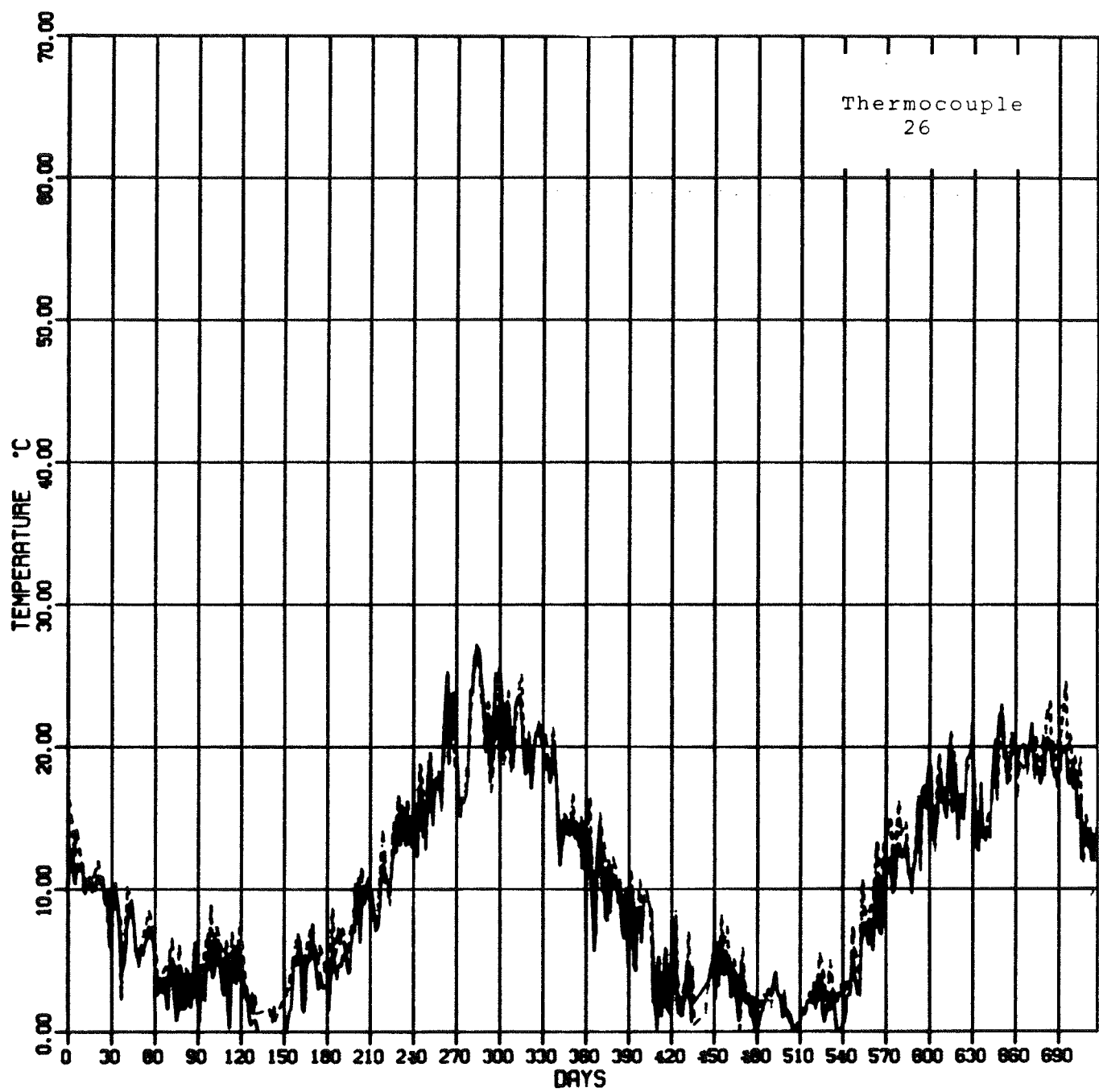
## SOIL TEMPERATURE



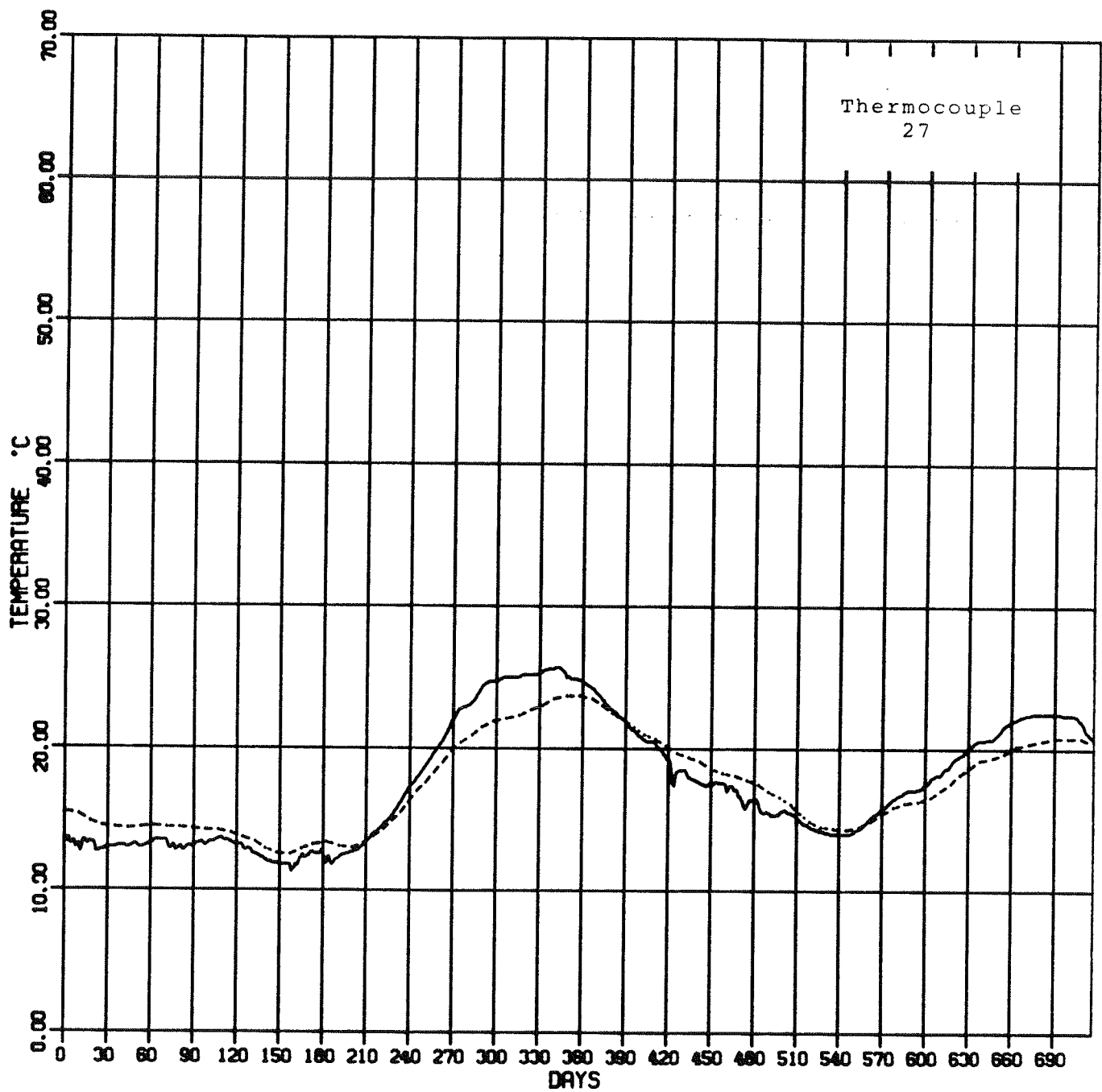
# SOIL TEMPERATURE



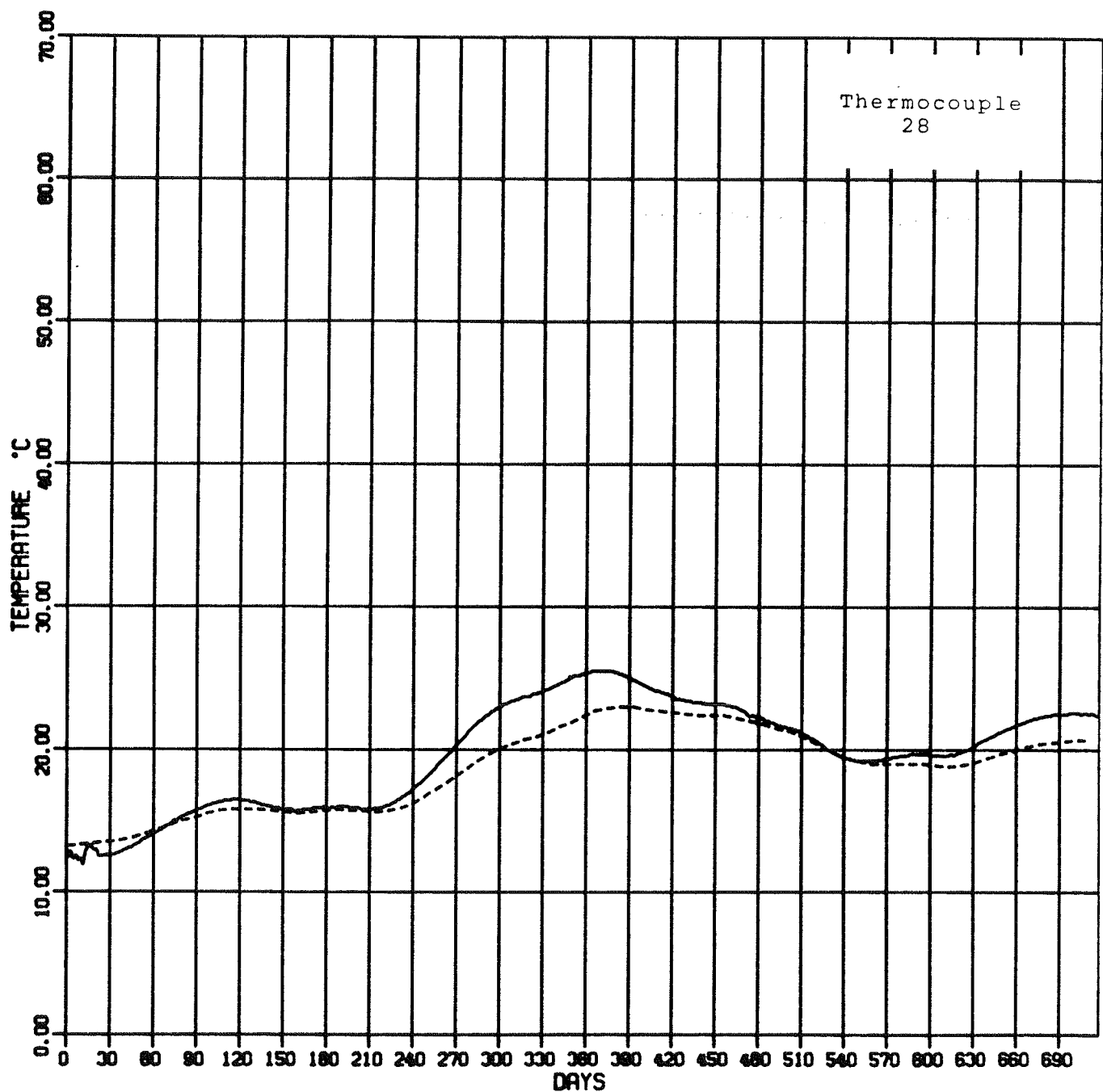
## SOIL TEMPERATURE



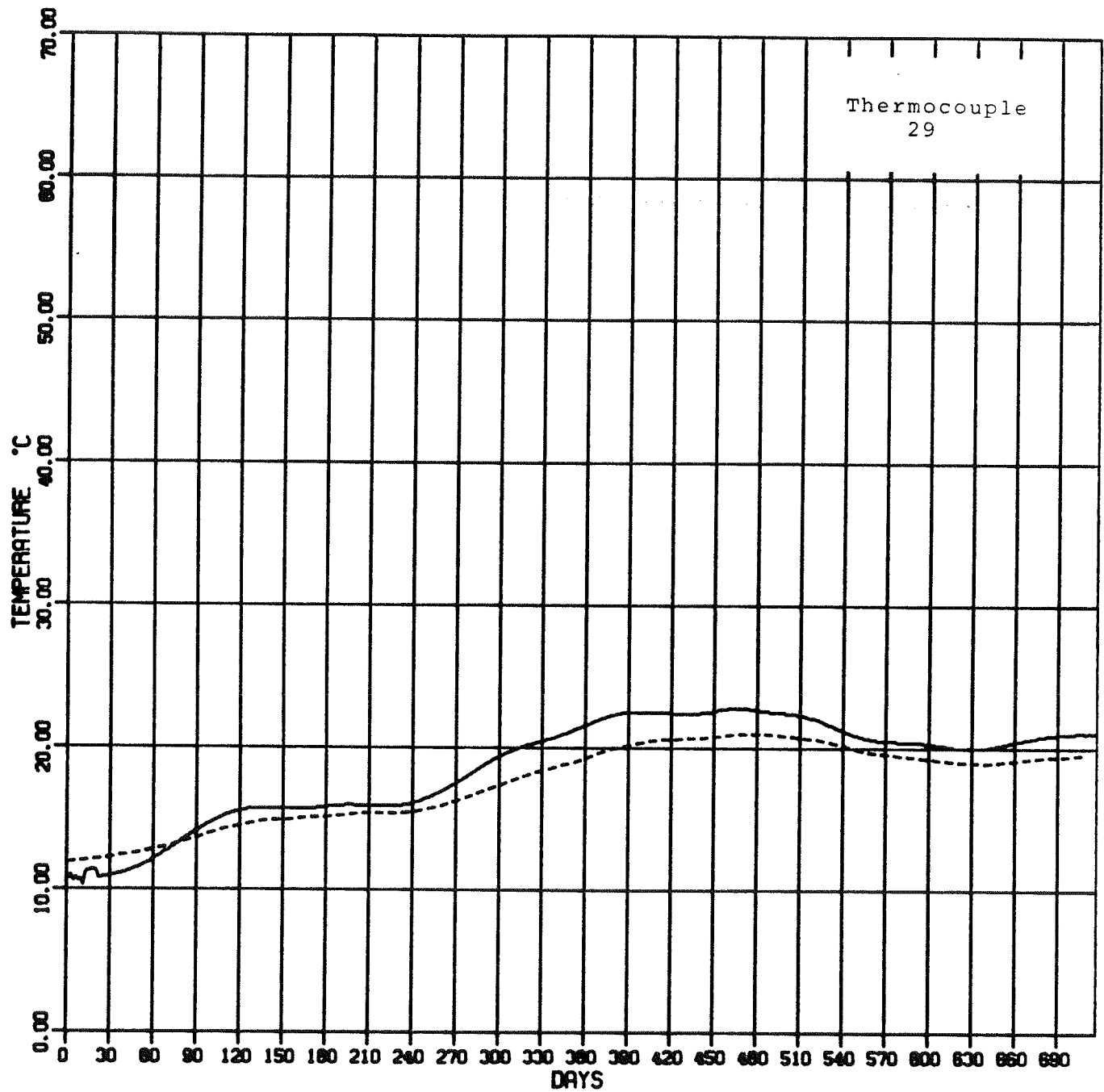
# SOIL TEMPERATURE



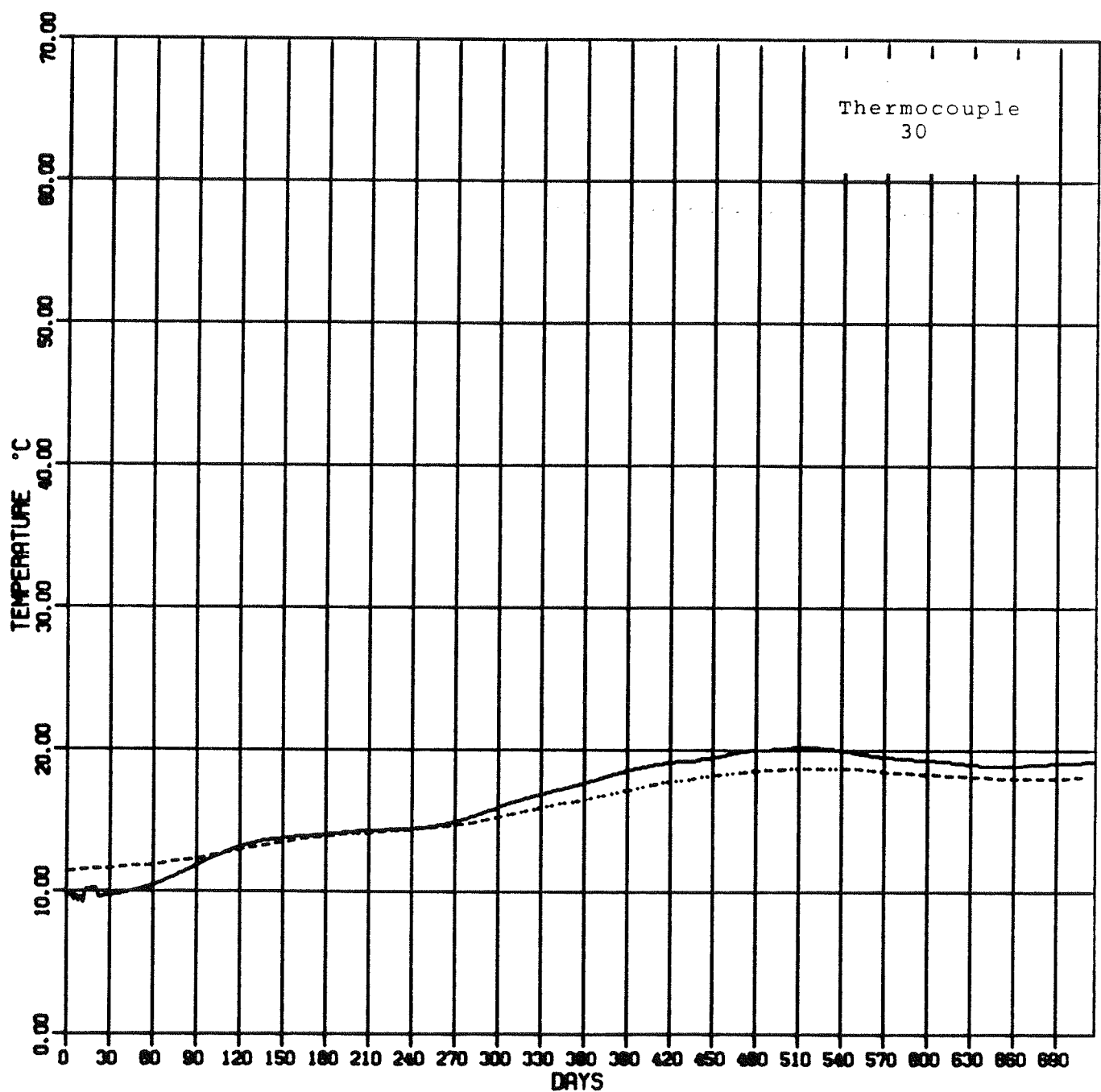
# SOIL TEMPERATURE



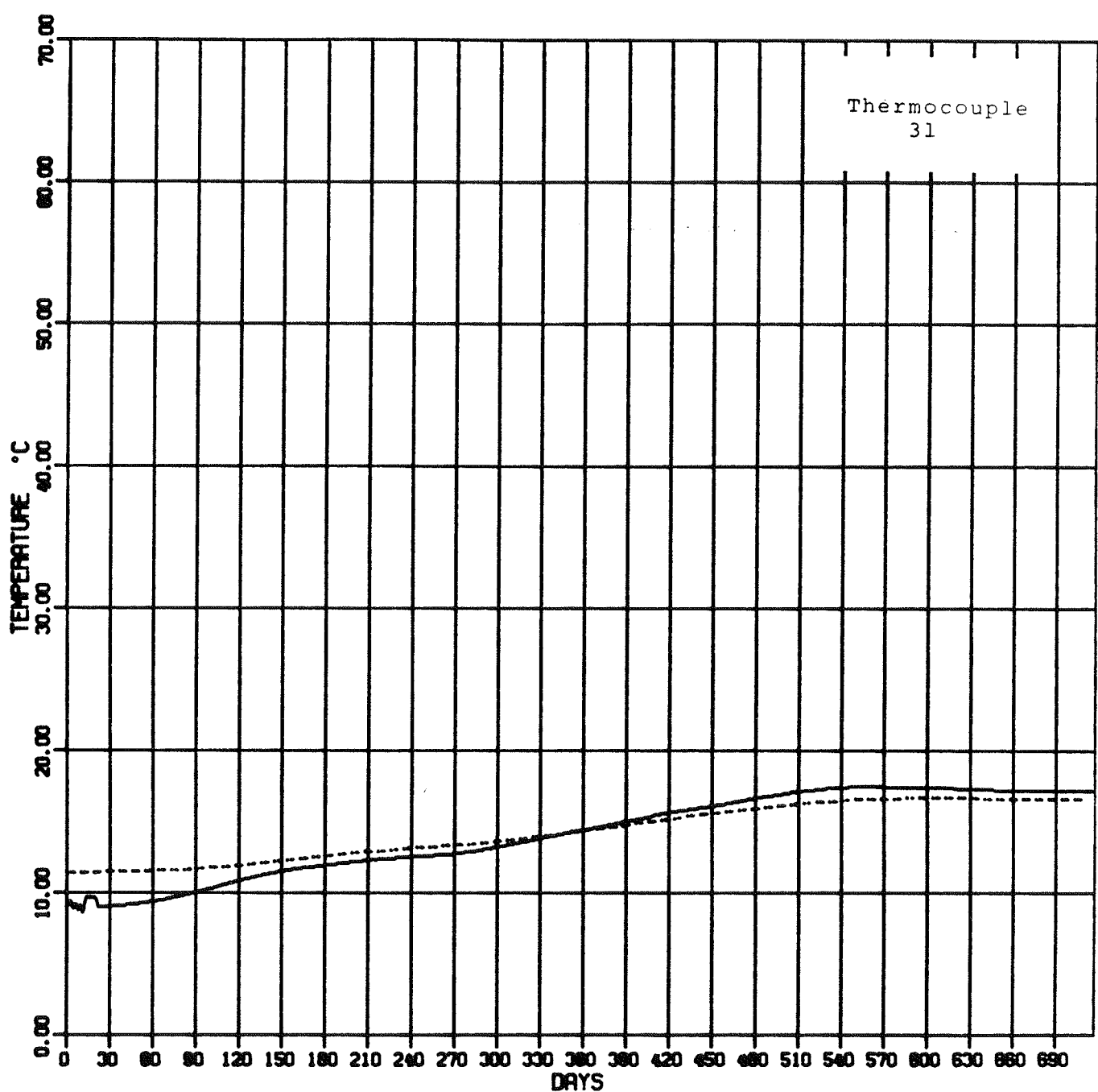
# SOIL TEMPERATURE



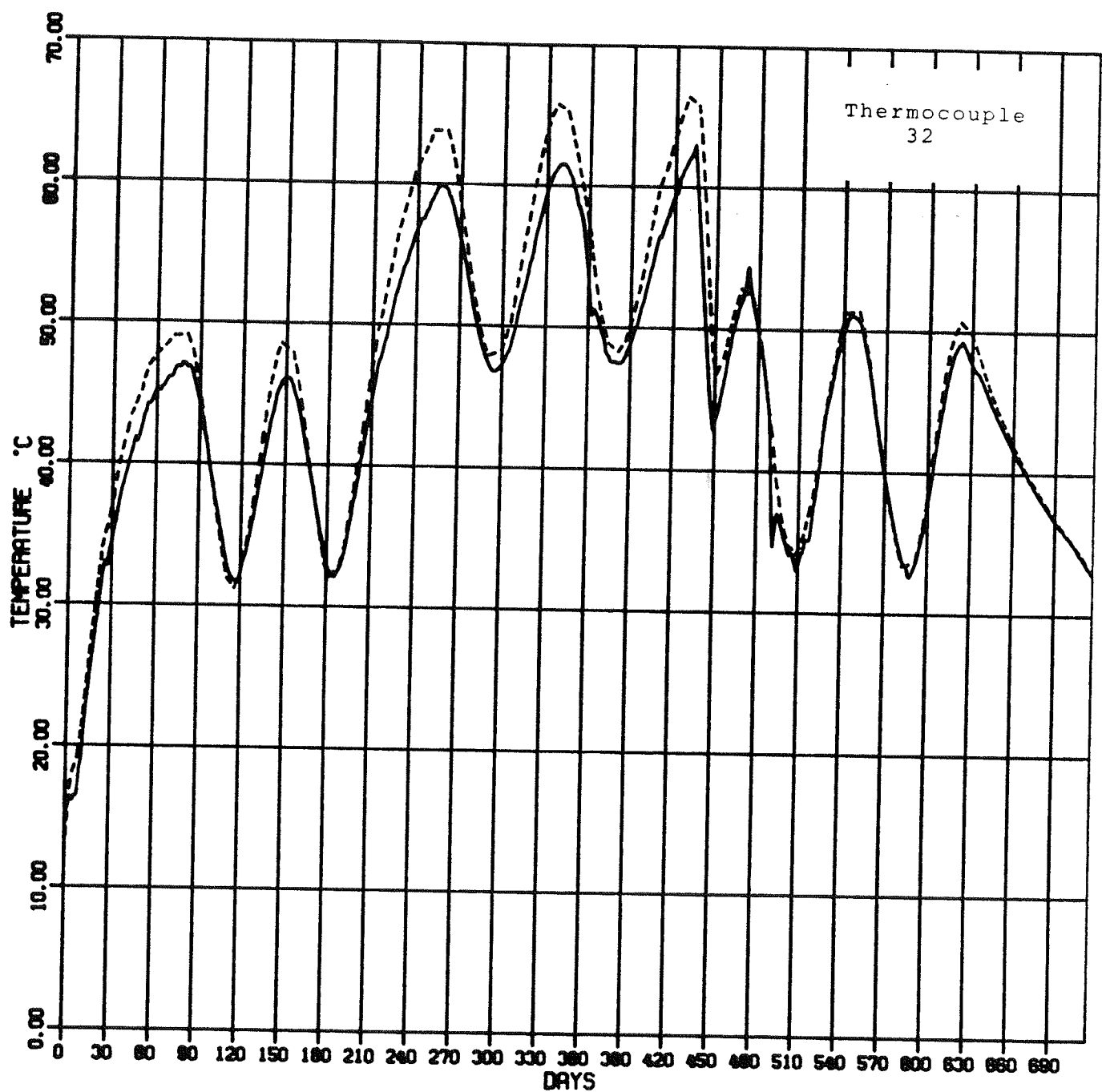
# SOIL TEMPERATURE



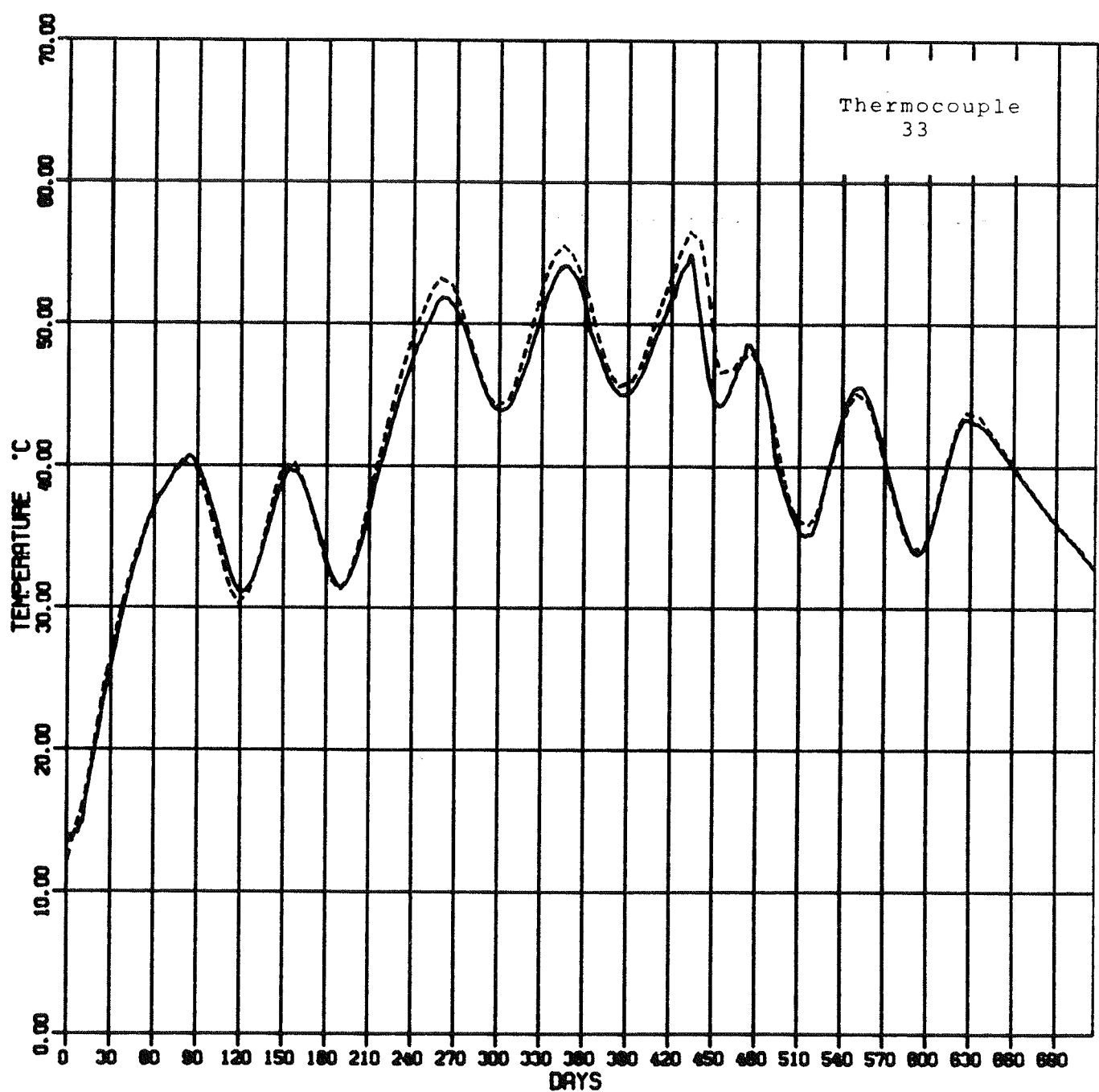
# SOIL TEMPERATURE



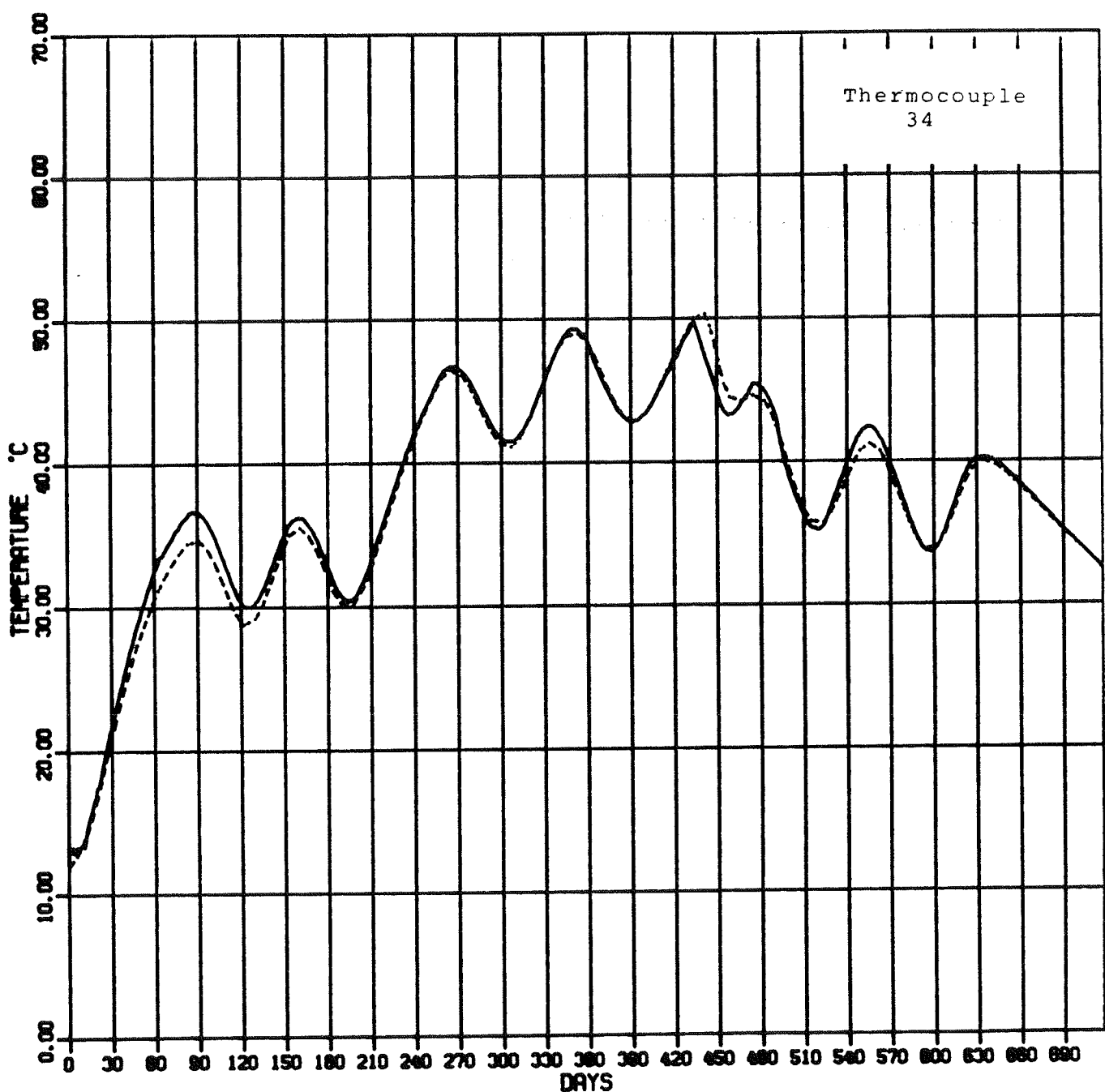
# SOIL TEMPERATURE



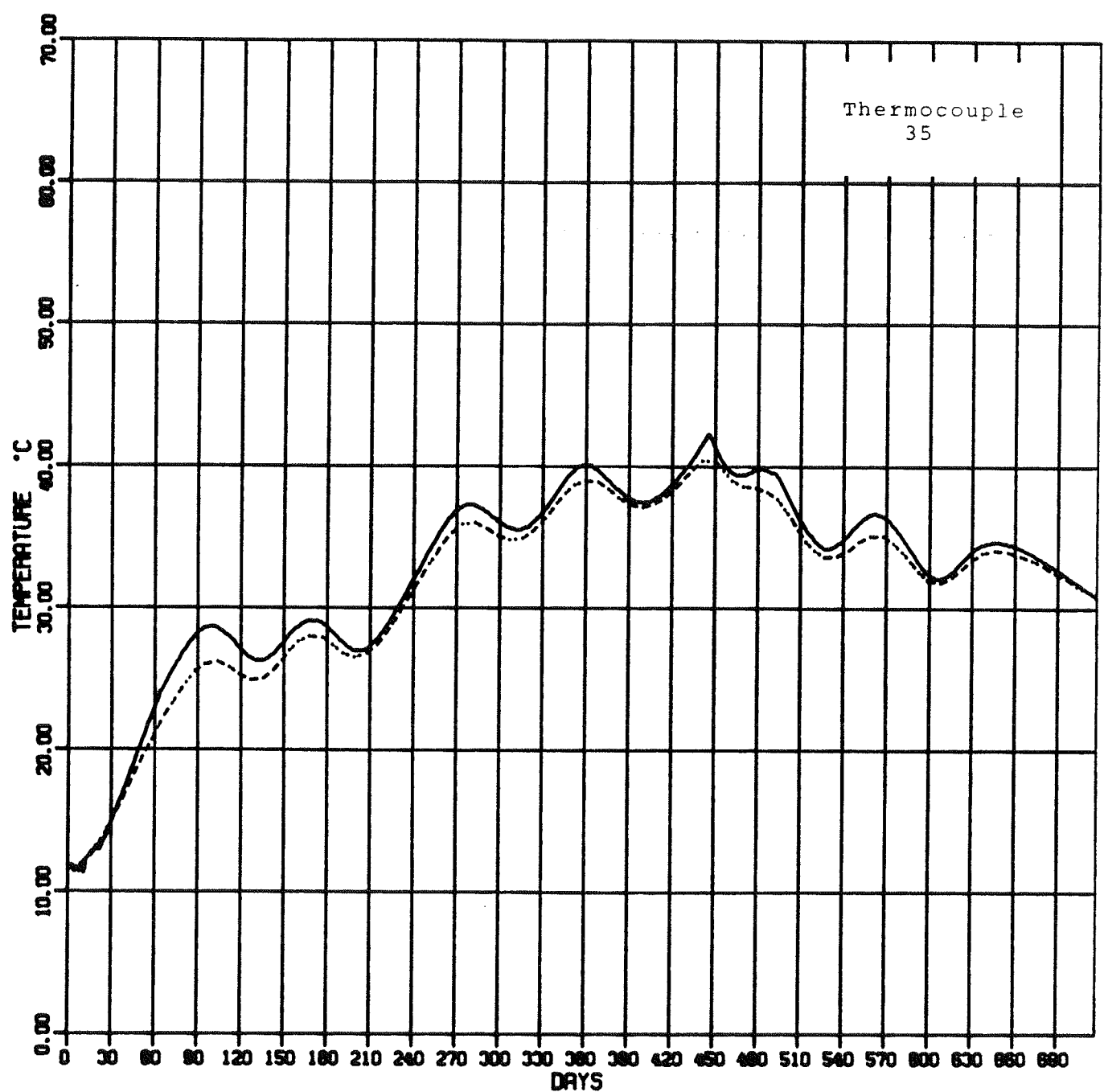
# SOIL TEMPERATURE



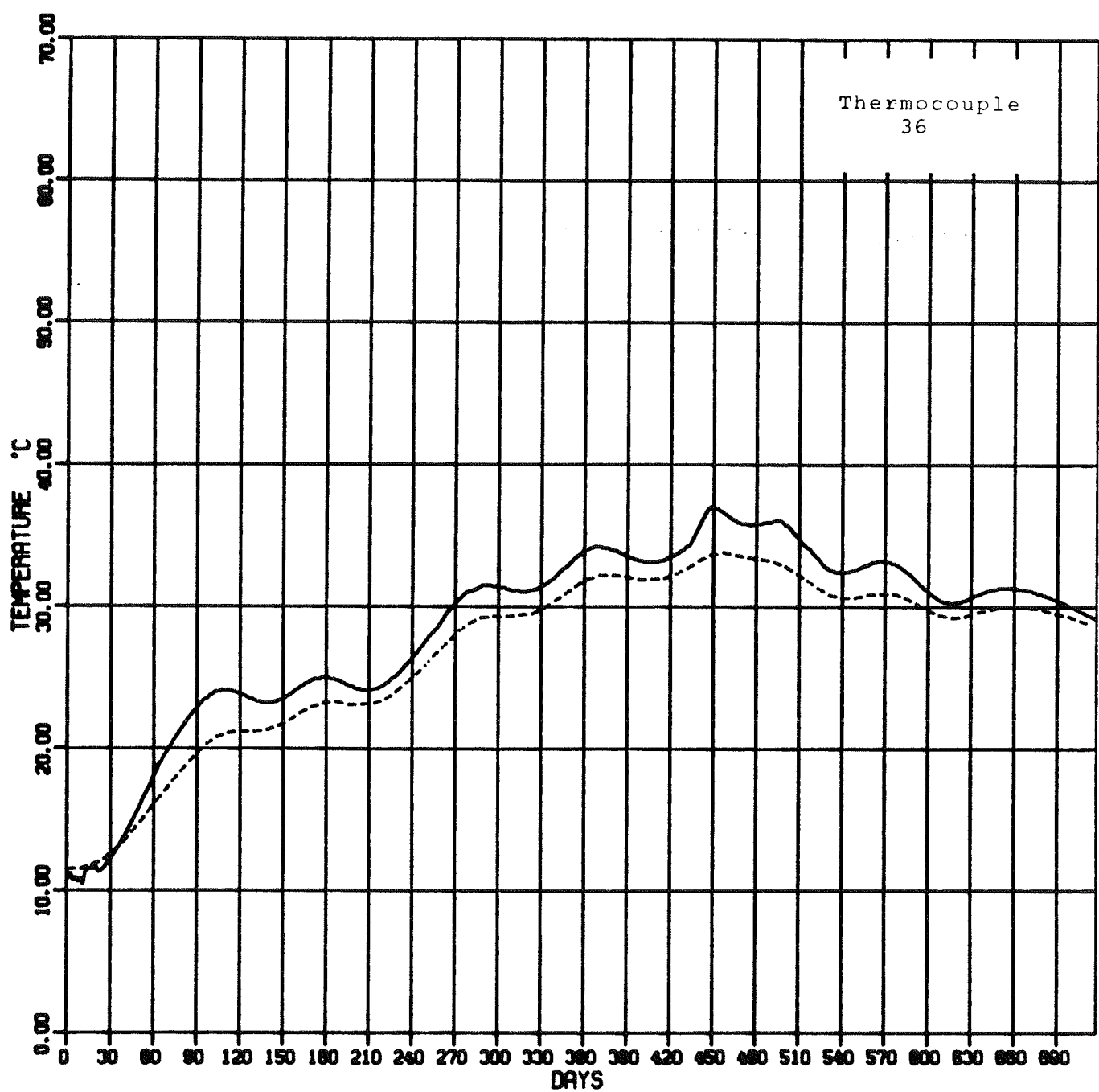
# SOIL TEMPERATURE



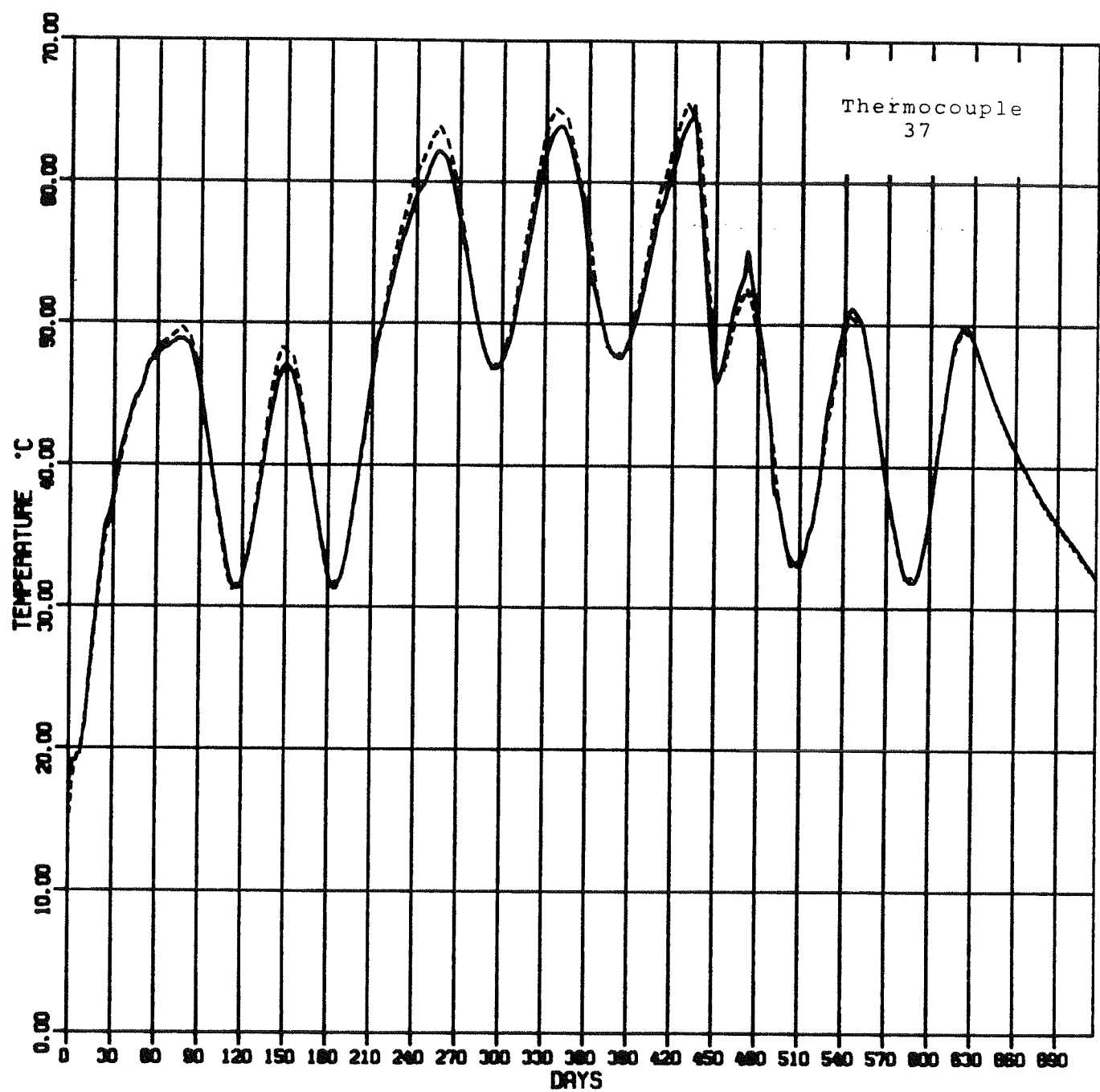
# SOIL TEMPERATURE



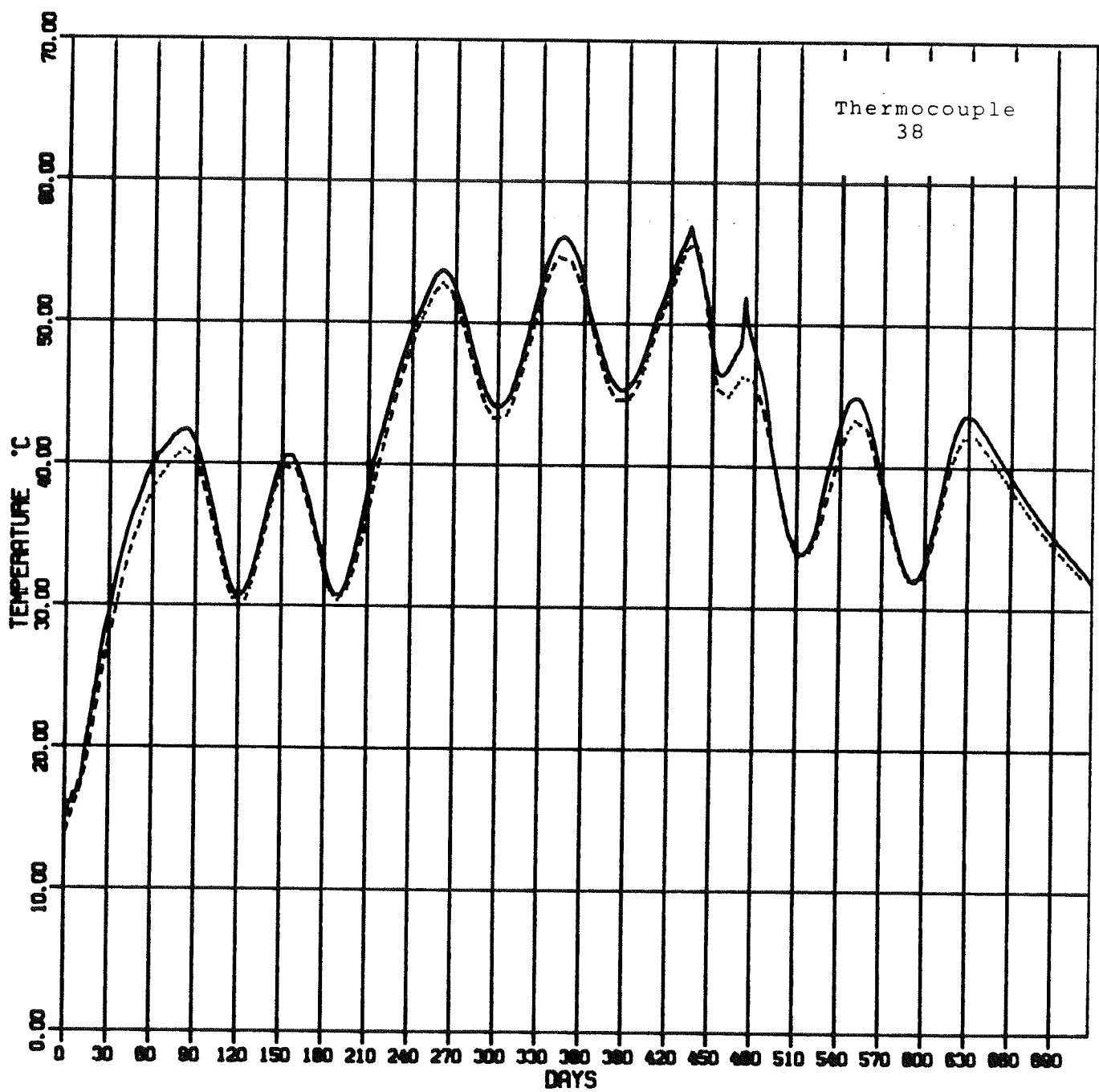
# SOIL TEMPERATURE



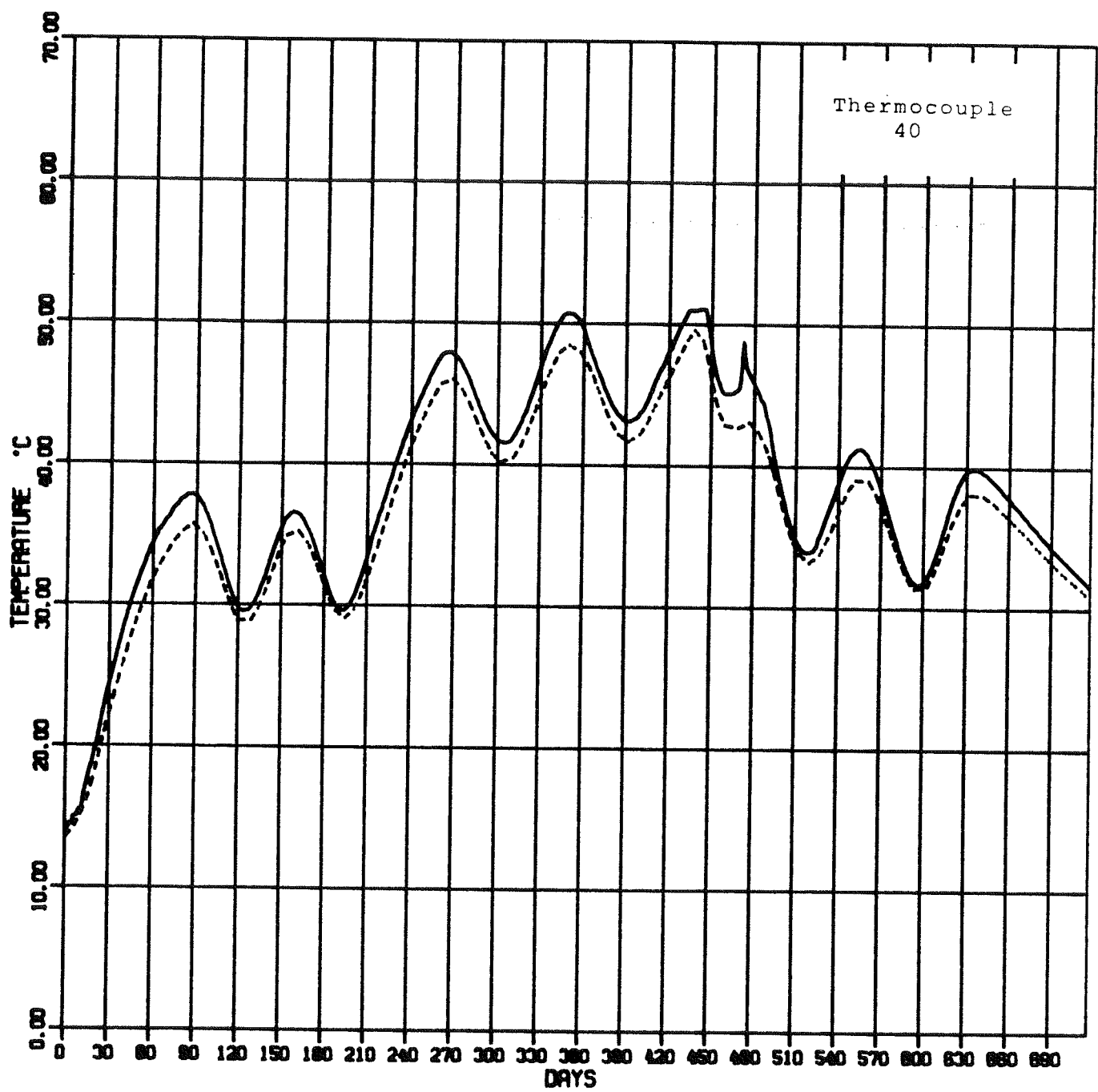
# SOIL TEMPERATURE



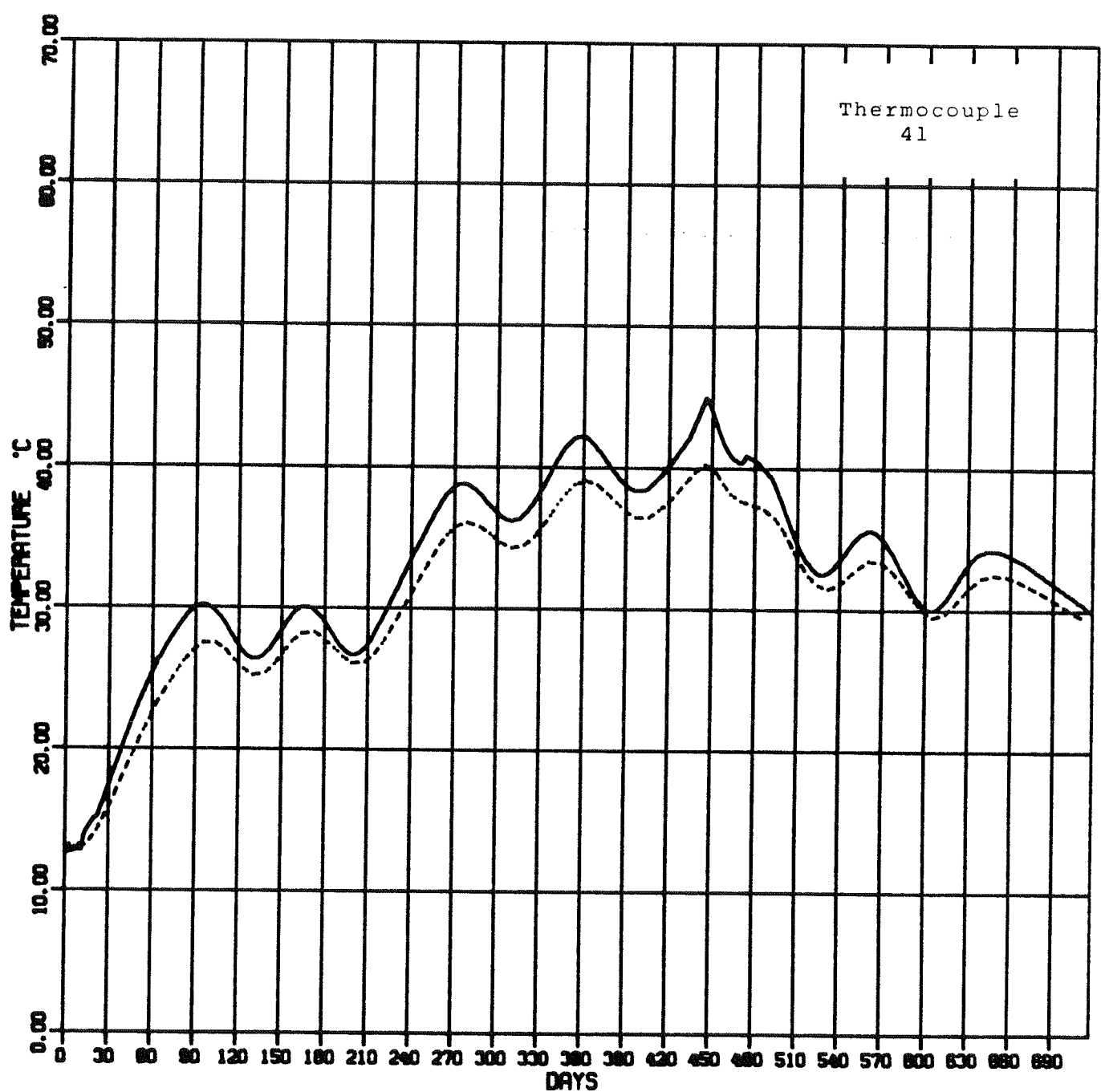
# SOIL TEMPERATURE



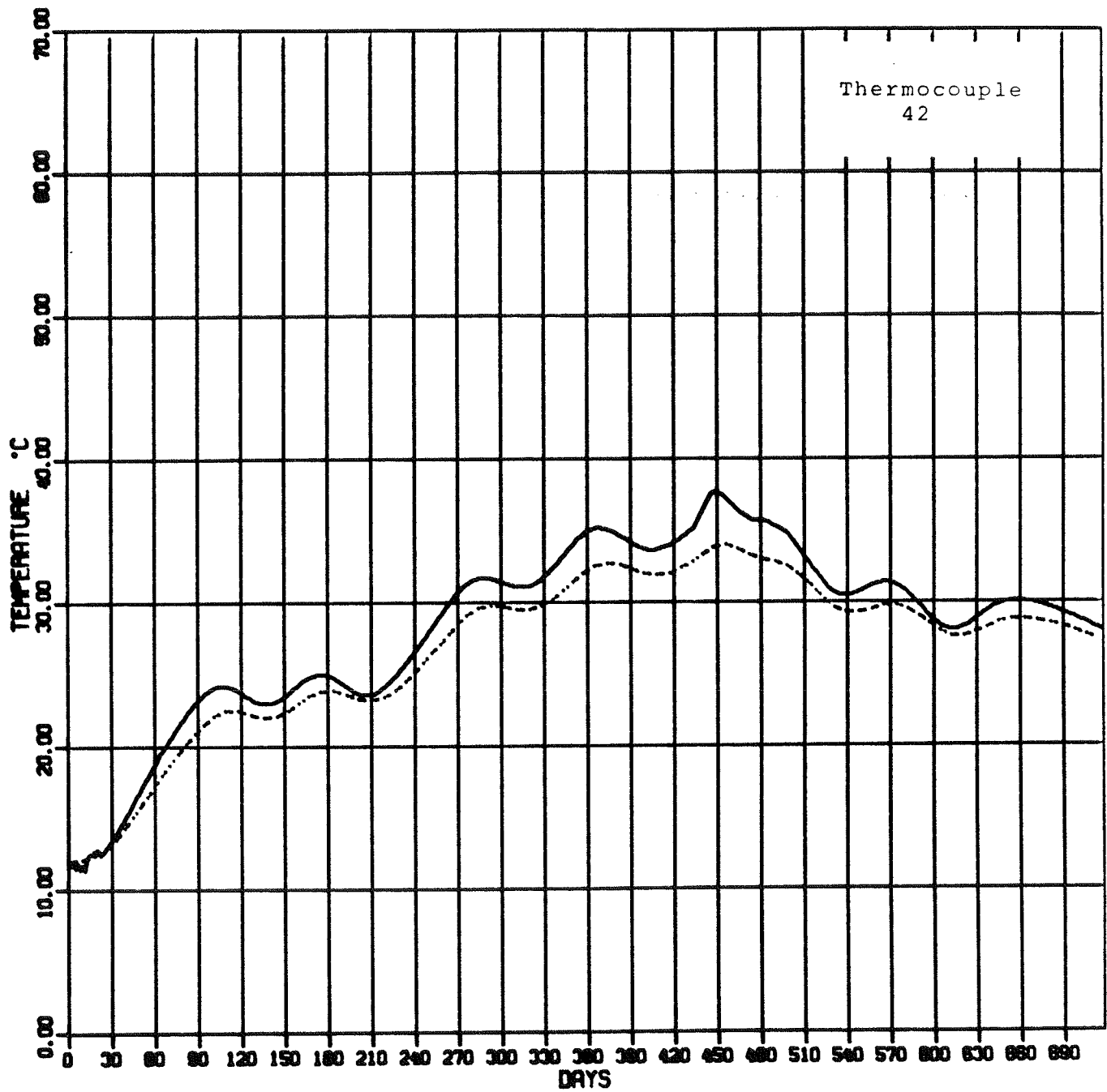
# SOIL TEMPERATURE



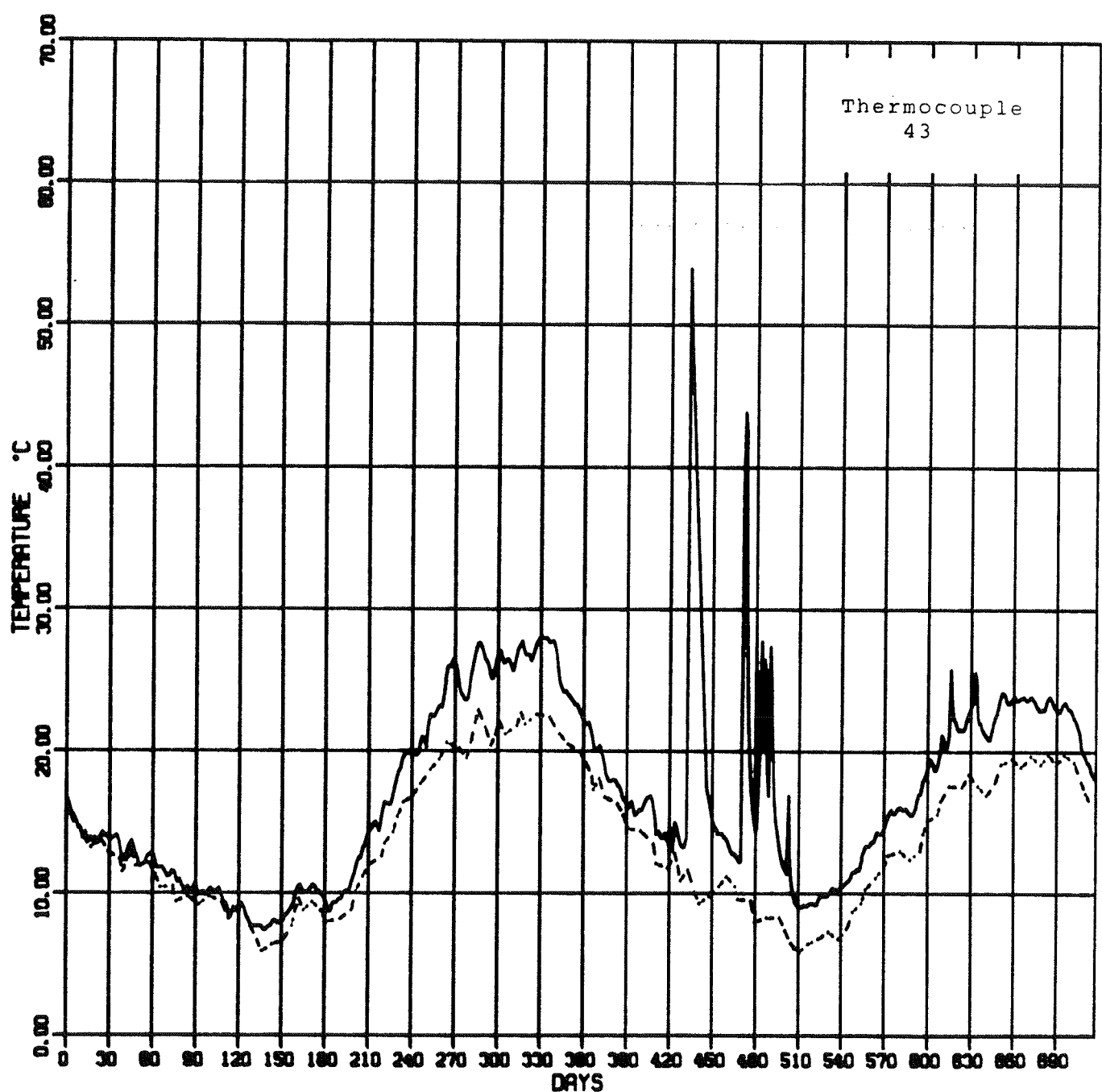
# SOIL TEMPERATURE



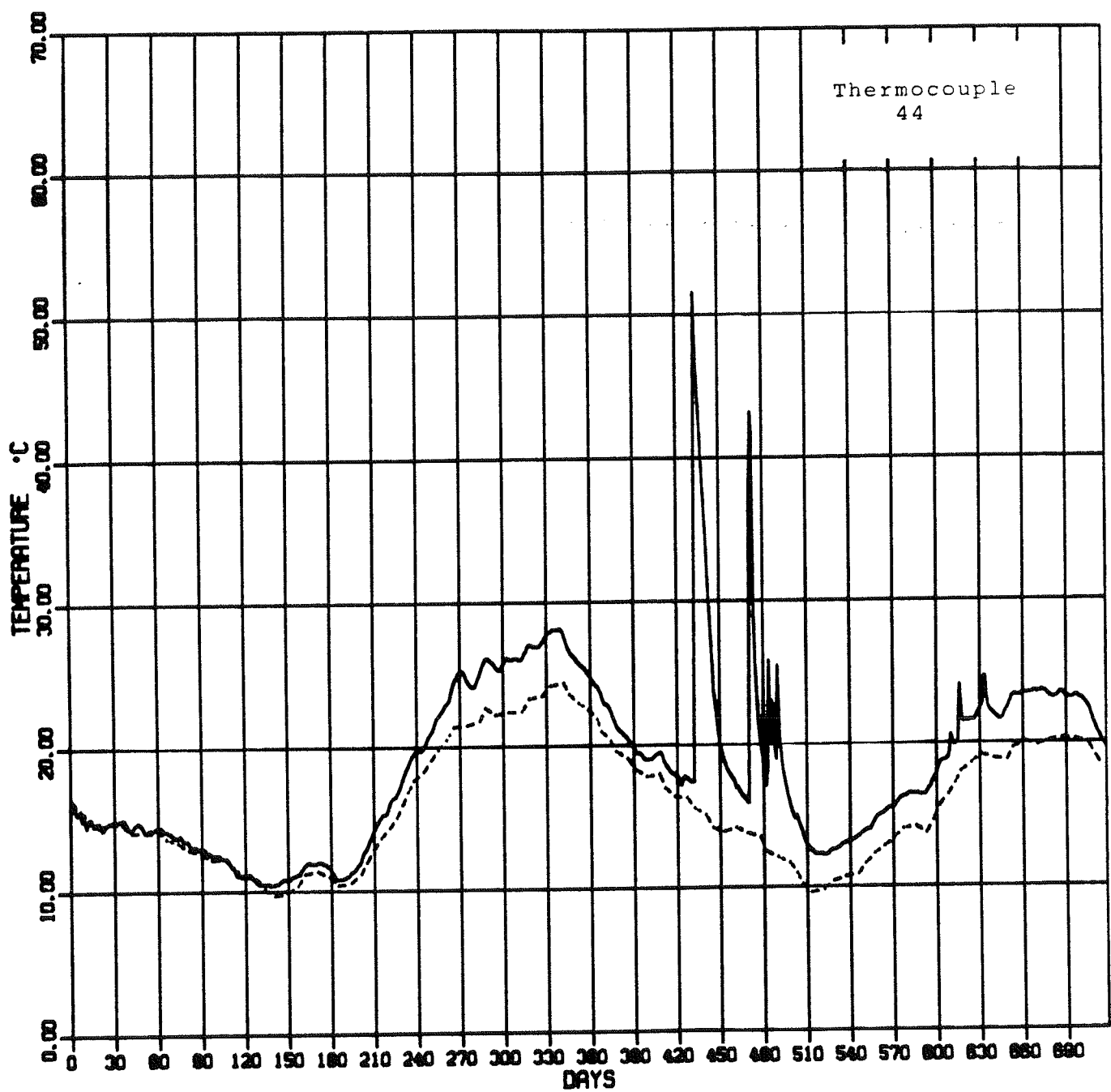
# SOIL TEMPERATURE



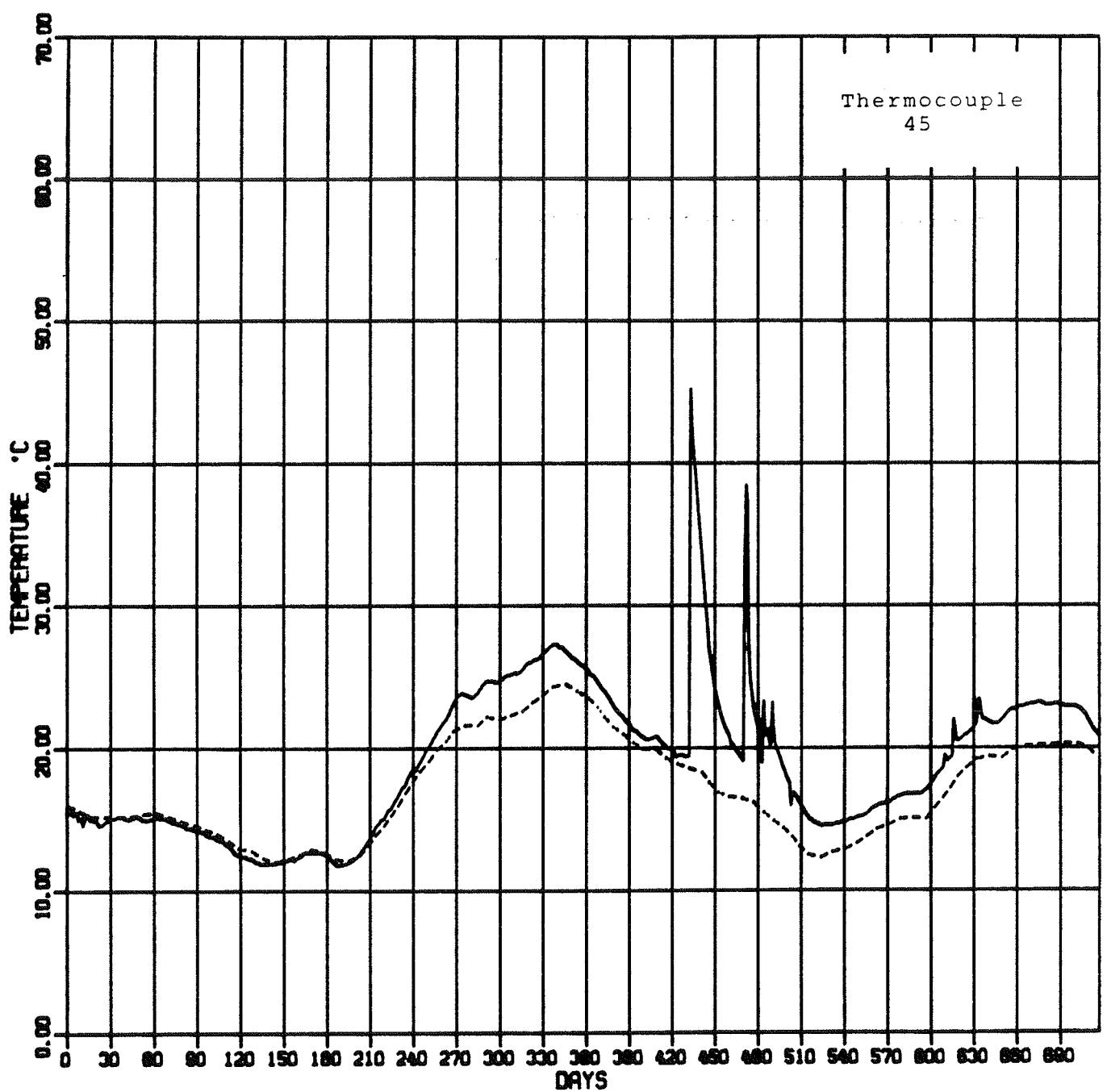
# SOIL TEMPERATURE



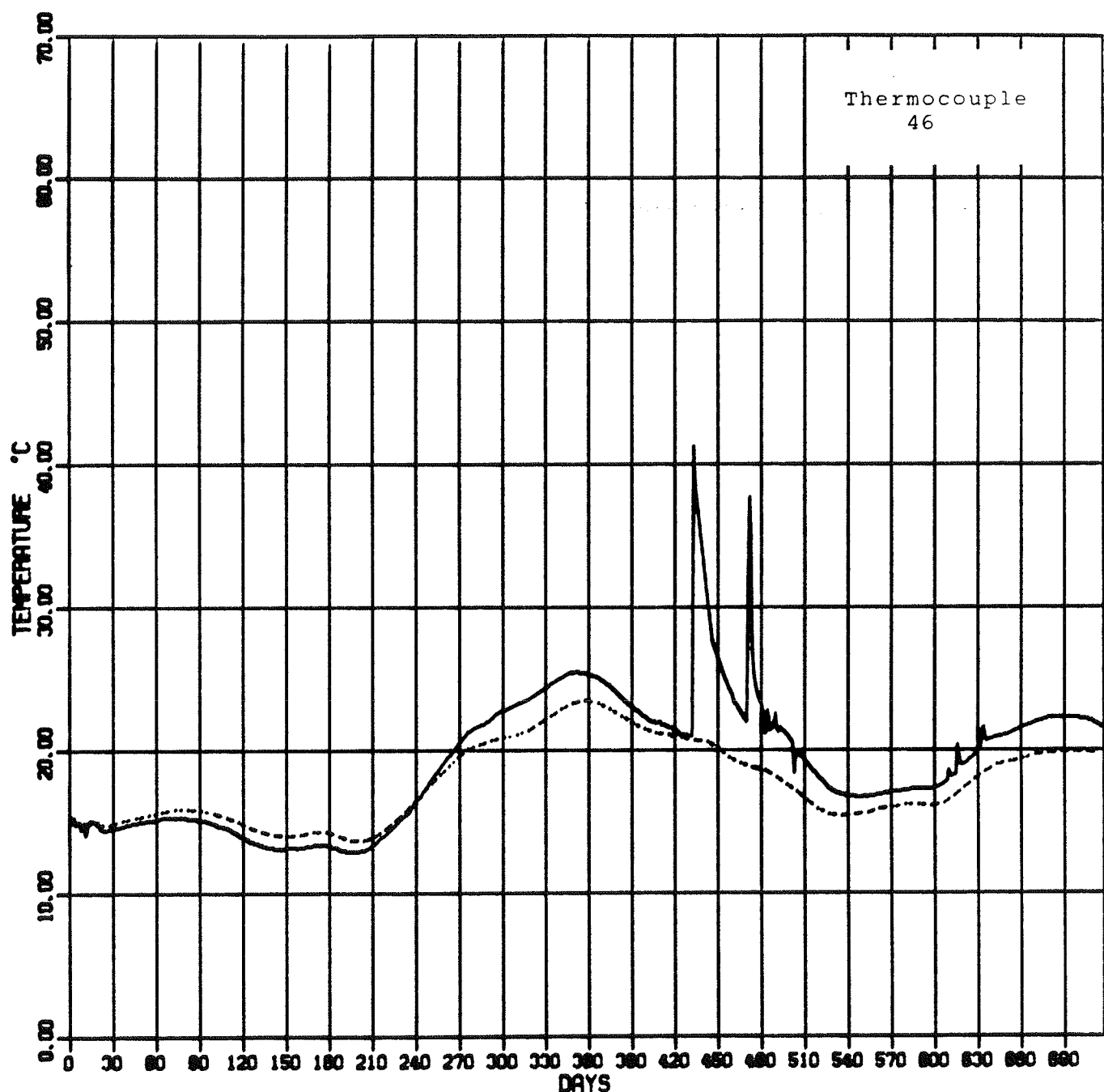
## SOIL TEMPERATURE



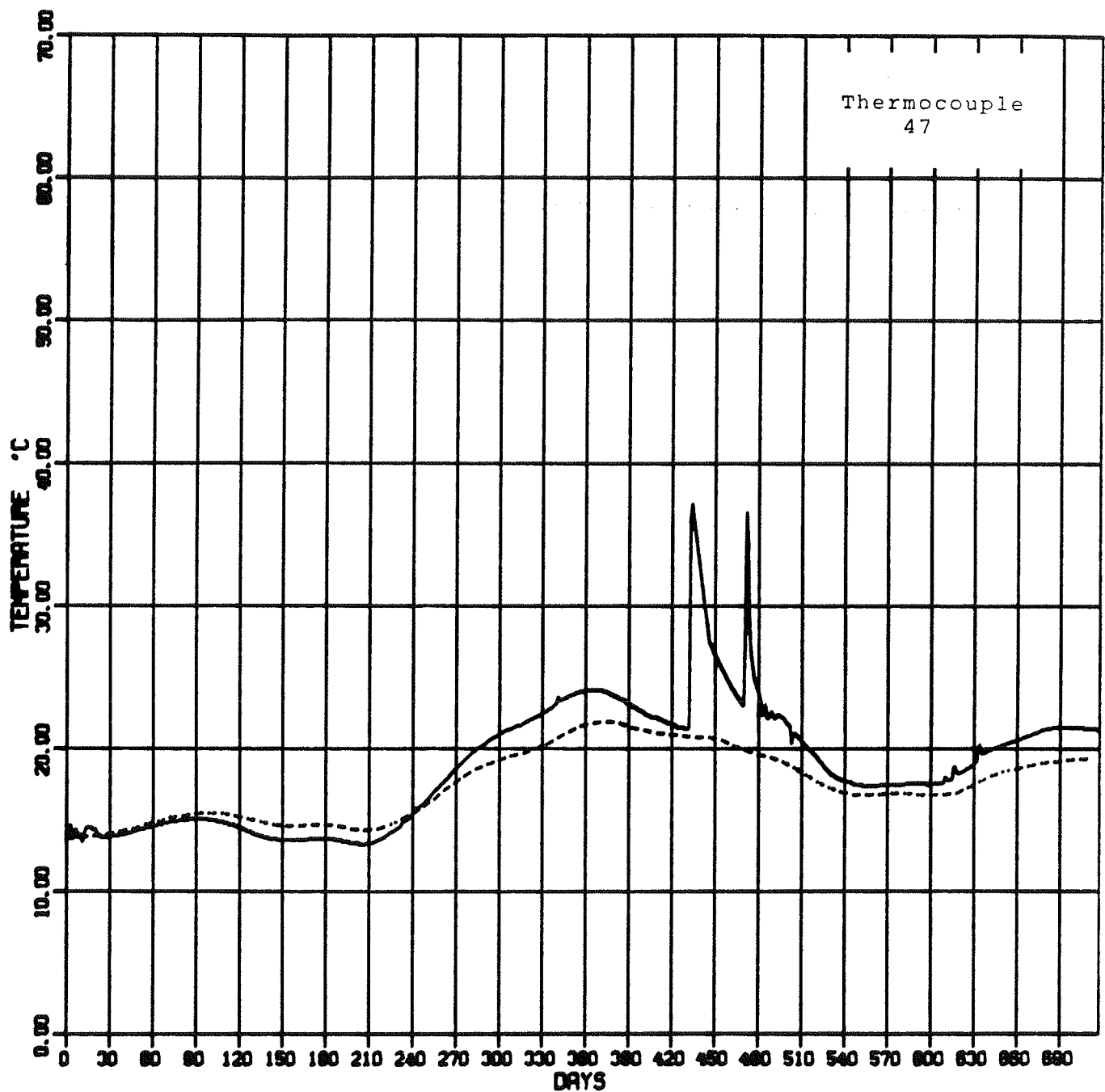
# SOIL TEMPERATURE



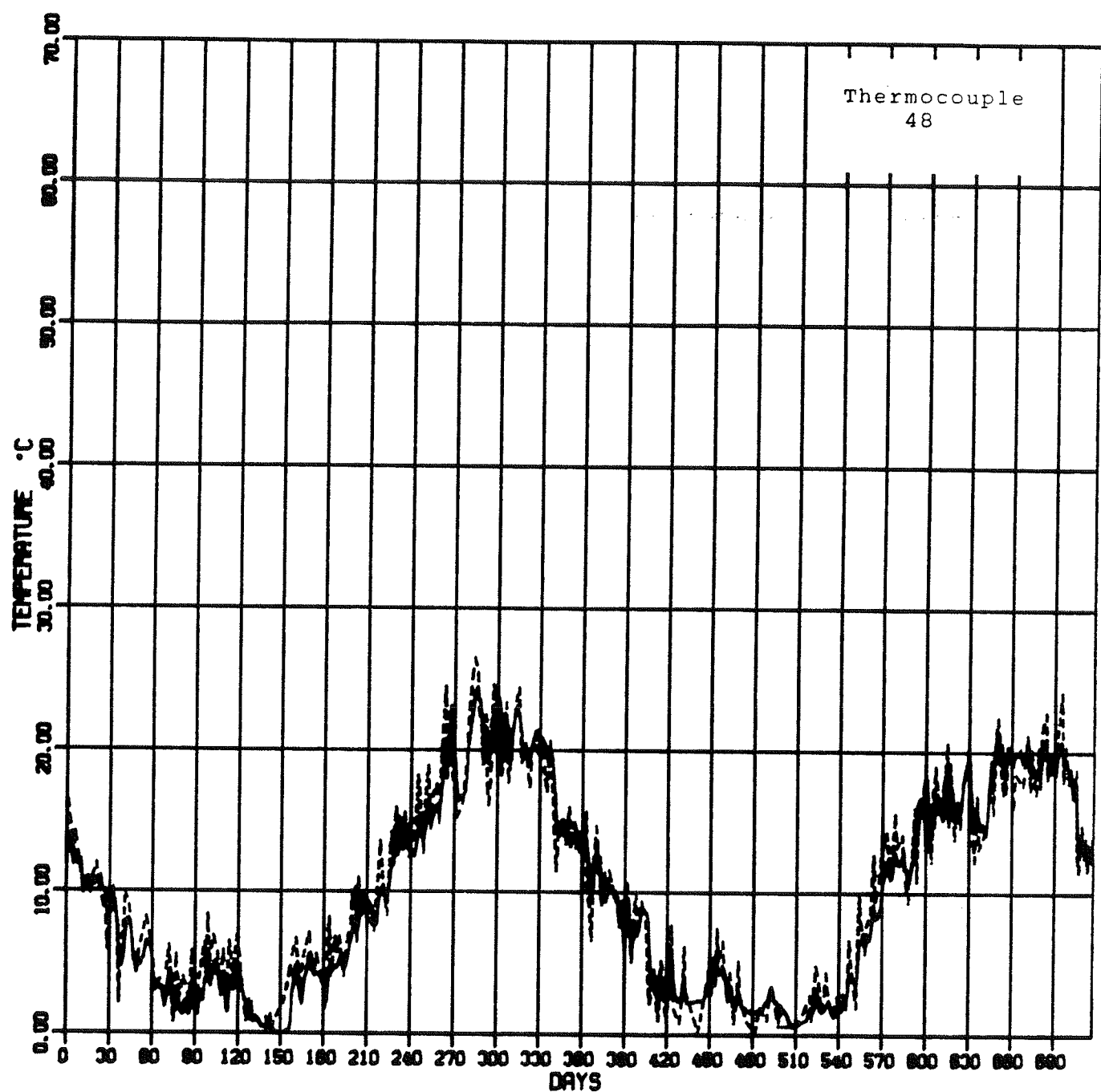
# SOIL TEMPERATURE



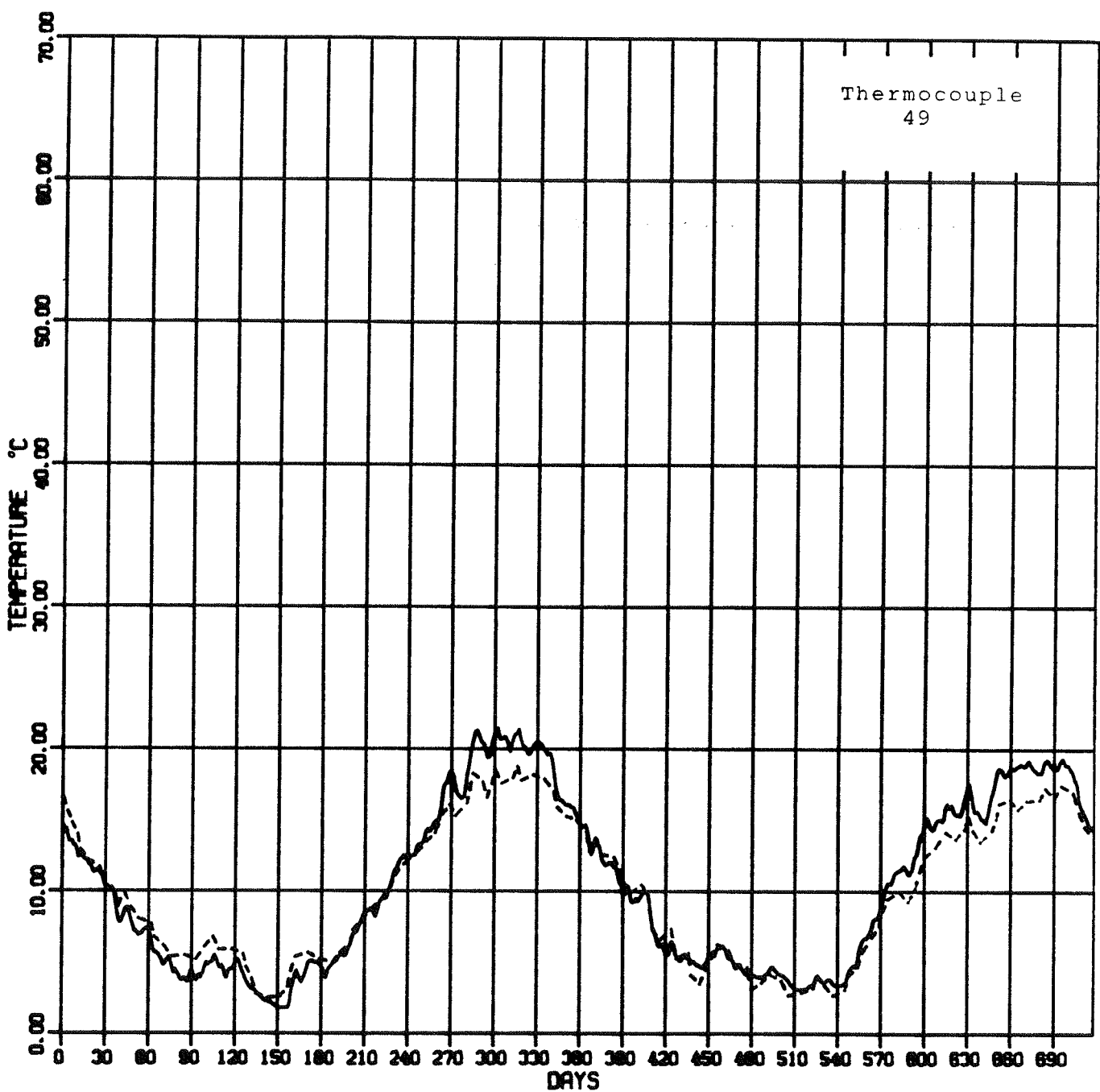
## SOIL TEMPERATURE



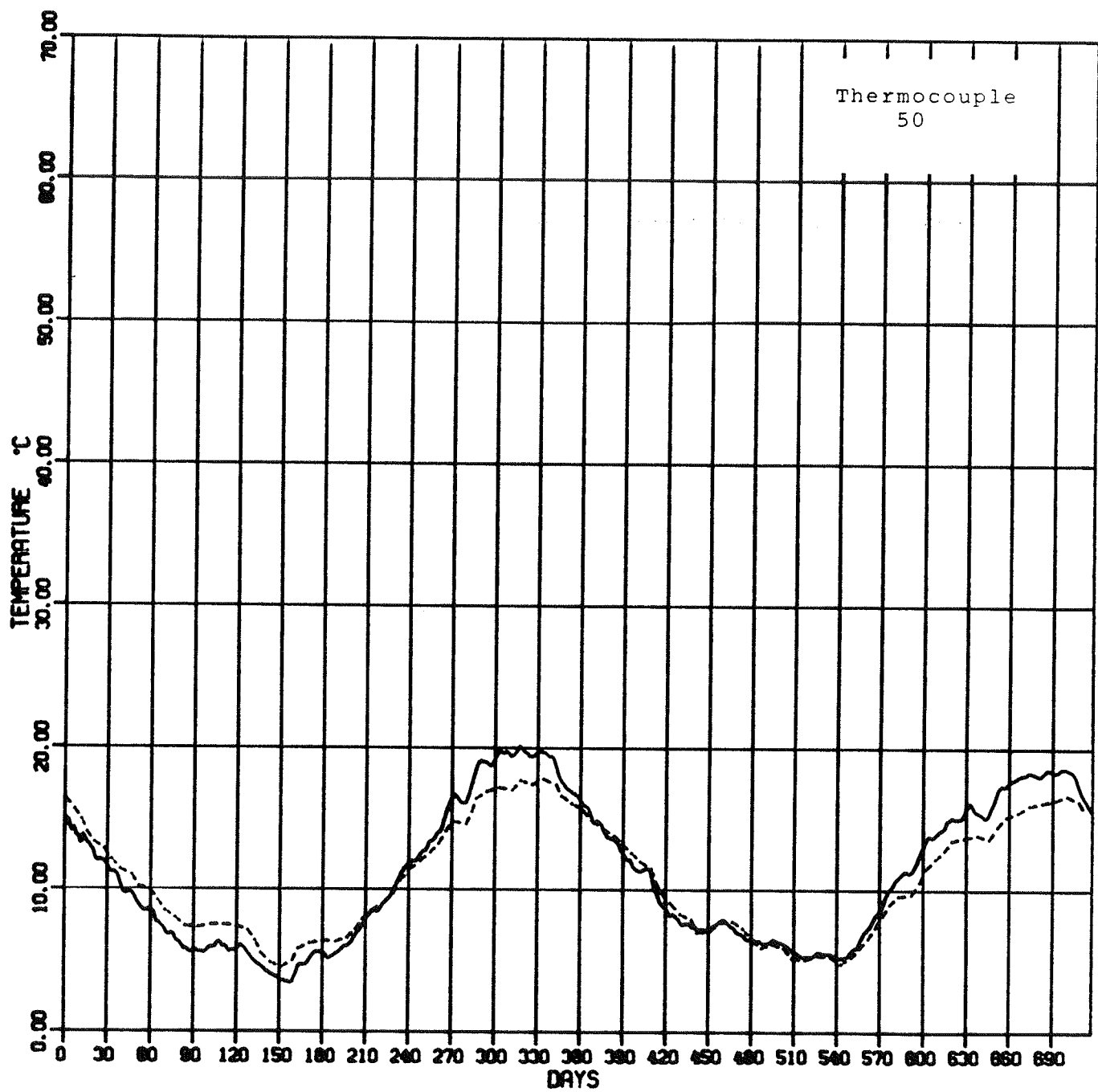
## SOIL TEMPERATURE



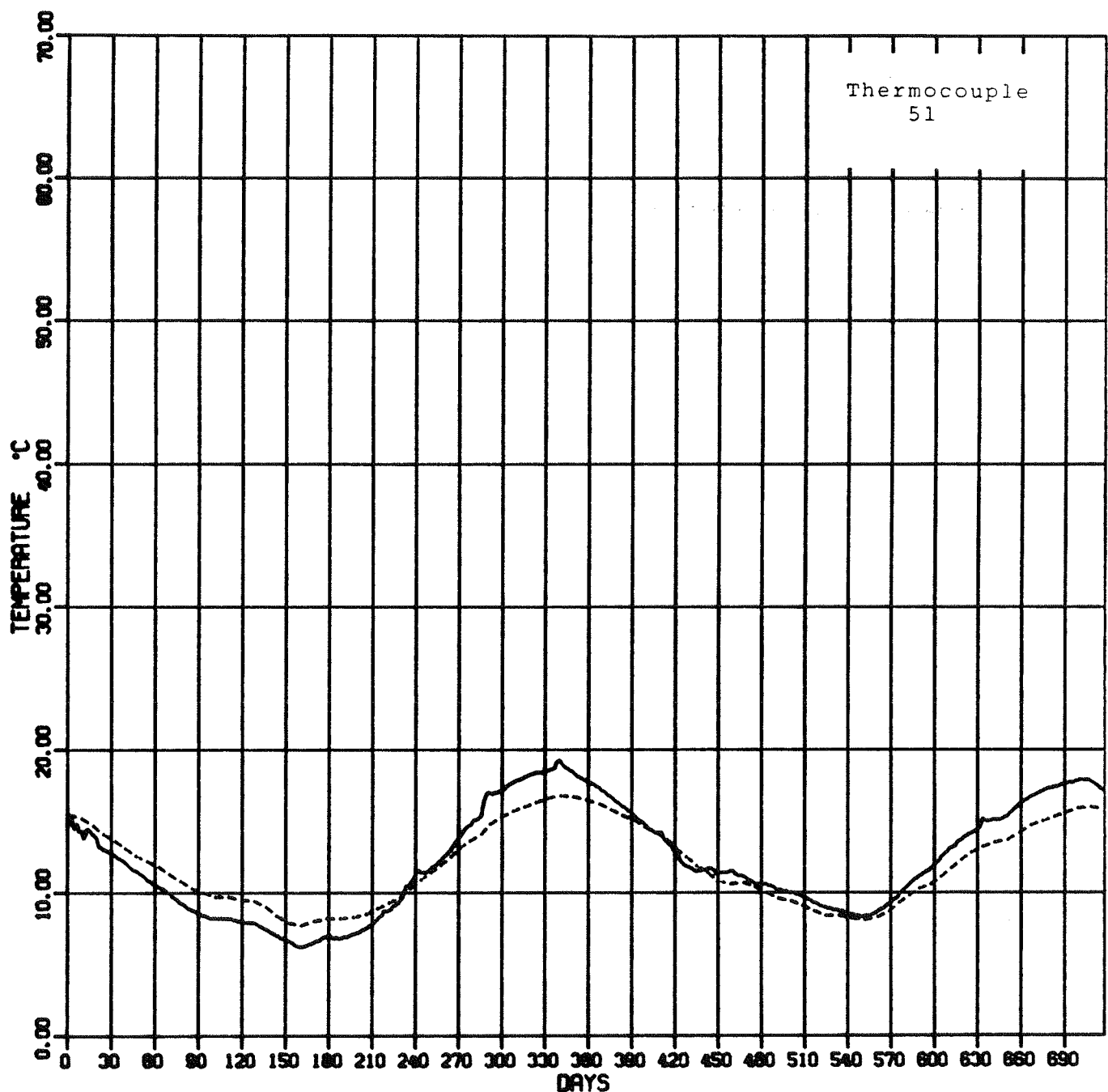
# SOIL TEMPERATURE



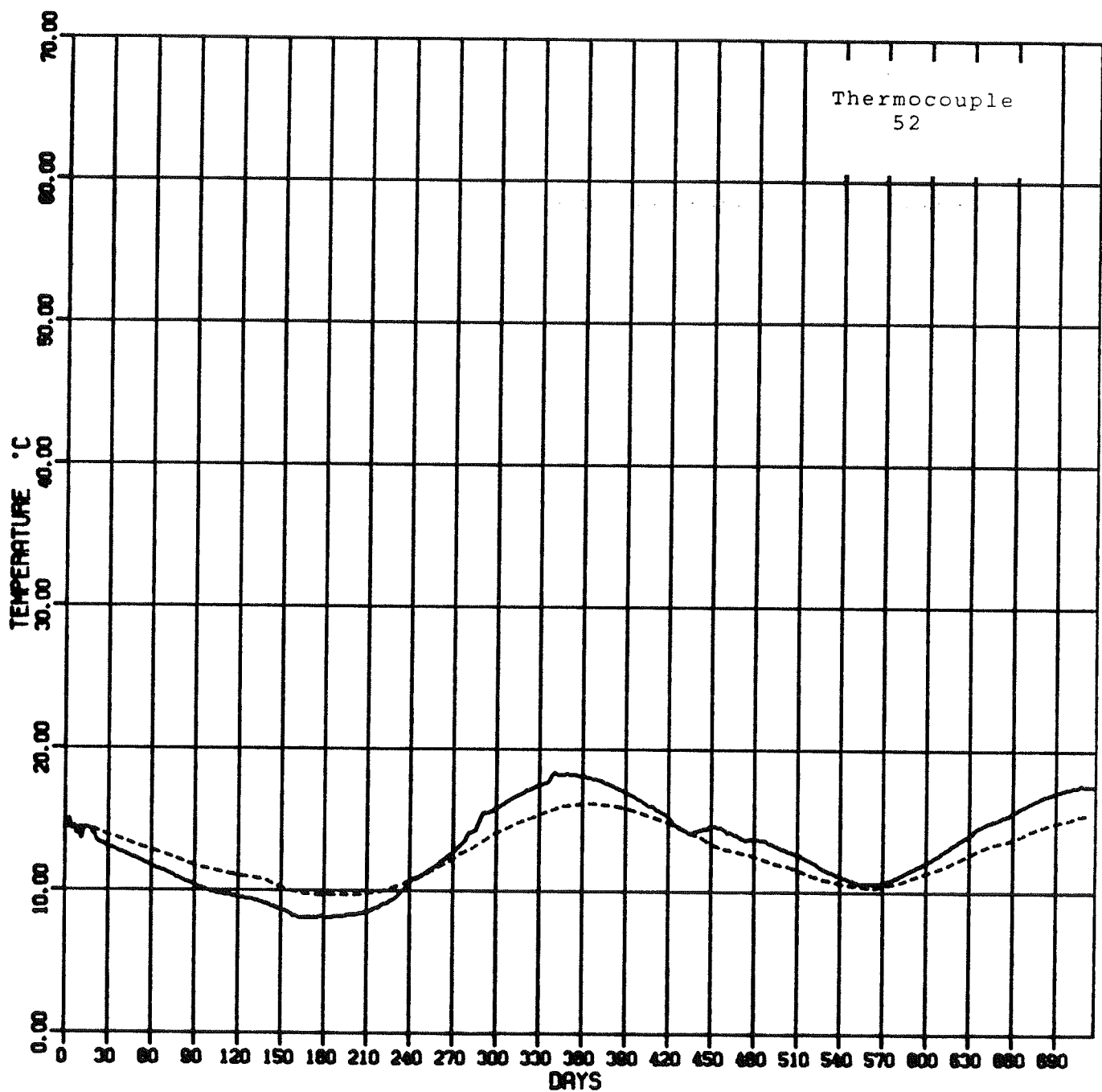
# SOIL TEMPERATURE



# SOIL TEMPERATURE



# SOIL TEMPERATURE



# Varme- og Installationsteknik

APPENDIX 3

TEKNOLOGISK INSTITUT

Gregersensvej, DK-2630 Tåstrup, Telefon (02) 99 66 11

## Prøveattest

Bestemmelse af varmeleddningstal ved hjælp af pladeapparat (DIN 52612)

Ansøger: Varmeisoleringskontrolen

Fabrikant: K. Balling Engelsen A/S, 4930 Maribo

Materiale: KBE - Tagisoleringsplade

Prøvematerialet er den 20/10-83 ~~Xxxxxxxxxxxxxxx~~  
udtaget af os på Deres lager , Maribo

i enheder af dimensioner: 1,20 x 0,60 x 0,10 m<sup>3</sup> (udskåret af plade)

Prøver efter tildannelser:

		1	2
Længde	m	0,595	0,600
Bredde	m	0,600	0,603
Tykkelse under måling	m	0,100	0,100
Densitet i tør tilstand	kg/m <sup>3</sup>	19,2	19,6
Fugtindhold under måling	vægt %	0,7	0,8
Fugtindhold under måling	vol. %	0,01	0,02

Tørretemperatur i varmeskab: 60 °C

Måleresultater:

Måling nr.	Middeloverflade- temperatur af prøver		Middel- temperatur differens K	Middel- temperatur af prøver °C	Middel- varmeledd- ningstal W mK
	Varme sider °C	Kolde sider °C			
1	18,9	- 5,6	24,5	6,7	0,0338
2	21,9	- 3,4	25,3	9,3	0,0342
3	24,7	3,1	21,6	13,9	0,0345

Resultaterne er afsat i medfølgende diagram nr. 83082

W

hvoraf fremgår: Basis  $\lambda = 0,0340 \text{ mK}$  ved middeltemperatur 10°C.

Bilag: Diagram nr. 83082

VARME- og INSTALLATIONSTEKNIK  
Dato: 1983.11.08

  
Niels Svenningsen

# Varme- og Installationsteknik

TEKNOLOGISK INSTITUT



STATENS  
TEKNISKE  
PRØVENÆVN  
Autorisations reg. nr.  
141

Nov. 1983

## Prøvningssraport

Autoriseret teknisk afprøvning i henhold til Statens Tekniske prøvenævns autorisation og på foranstående vilkår.

Rapport nr. 83082

Bestemmelse af byggematerialers basisvarmeleddningstal,  $\lambda_{10}$  W/mK i henhold til den til enhver tid gældende udgave af DIN 52612.

Materiale KBE - Tagisoleringsplade  
(Ekspanderet polystyrenplast)

Fabrikant K. Balling Engelsen A/S  
4930 Maribo

Rekvirent Varmeisoleringkontrolen

Resultat: Se følgende attest

Prøvningssraport må kun gengives i uddrag, hvis rapporten er offentlig tilgængelig, eller laboratoriet har godkendt uddraget.

Varme- og Installationsteknik

Underskrift

Niels Svenningsen

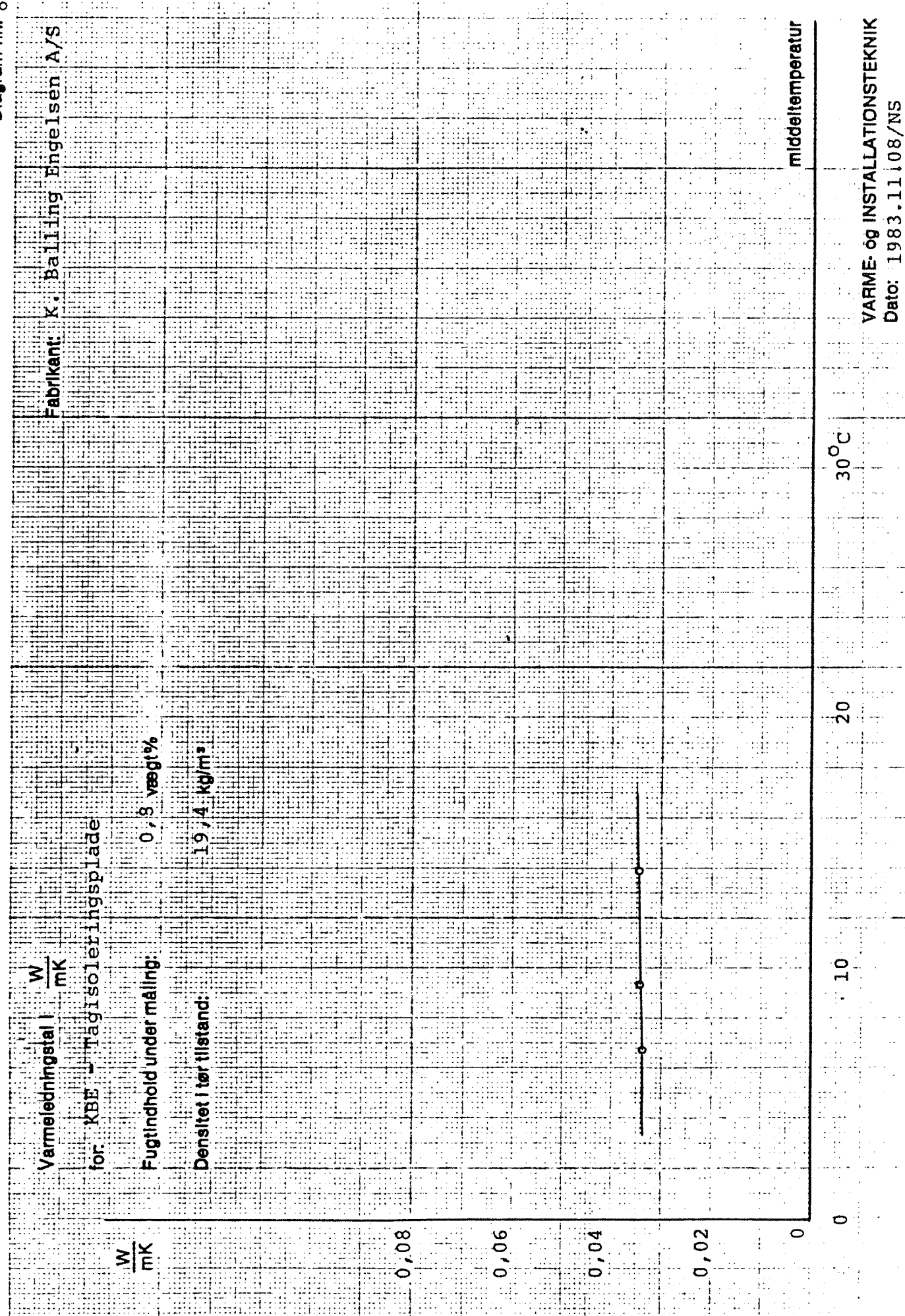
Dato 1983.11.08

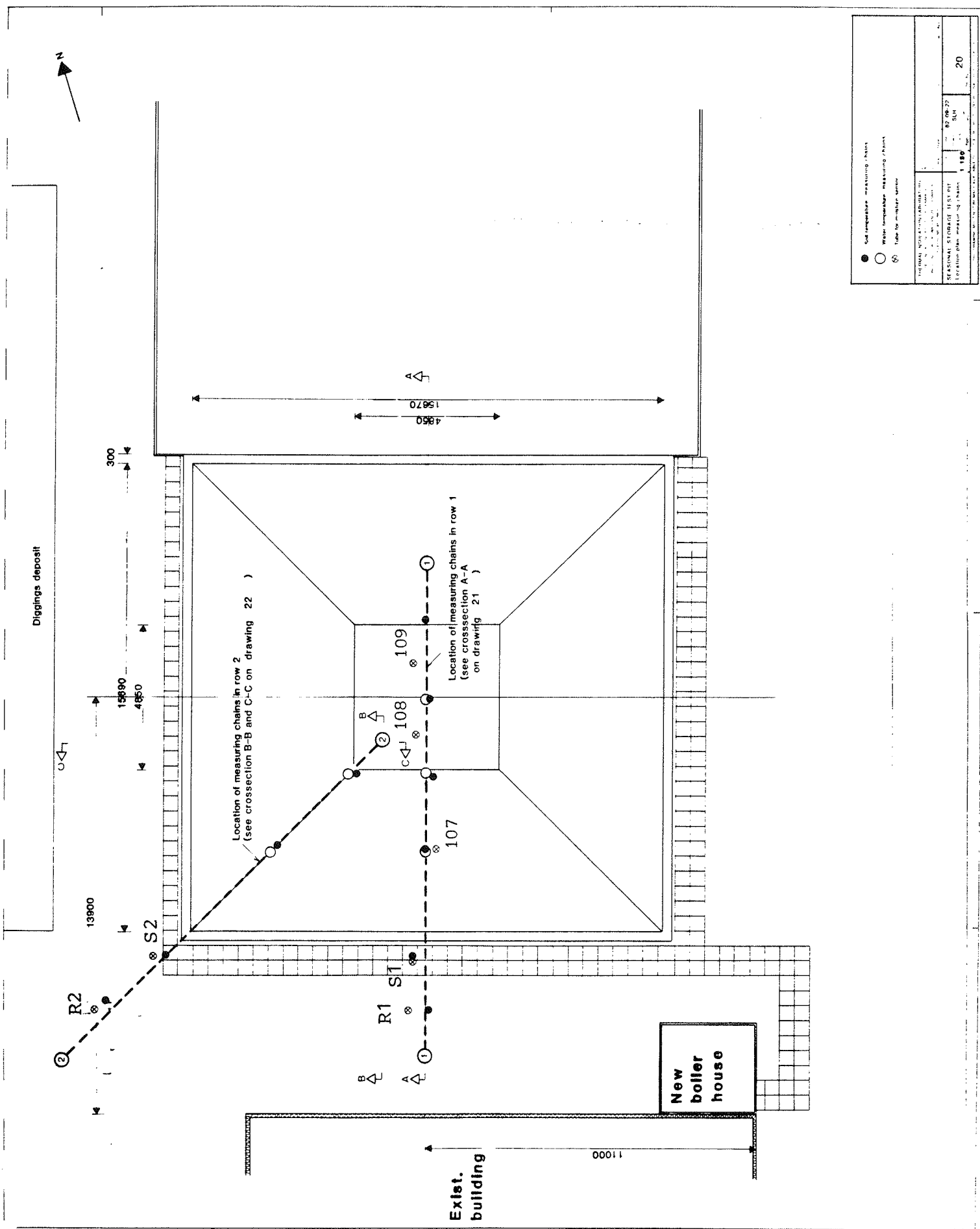
Postadresse  
Postboks 141  
DK-2630 Tåstrup

Besøgsadresse  
Gregersensvej  
Høje Tåstrup

Telefon  
02-99 66 11  
Giro 9 00 09 76

Telegram  
Teknologisk  
Telex 334 16 ti dk



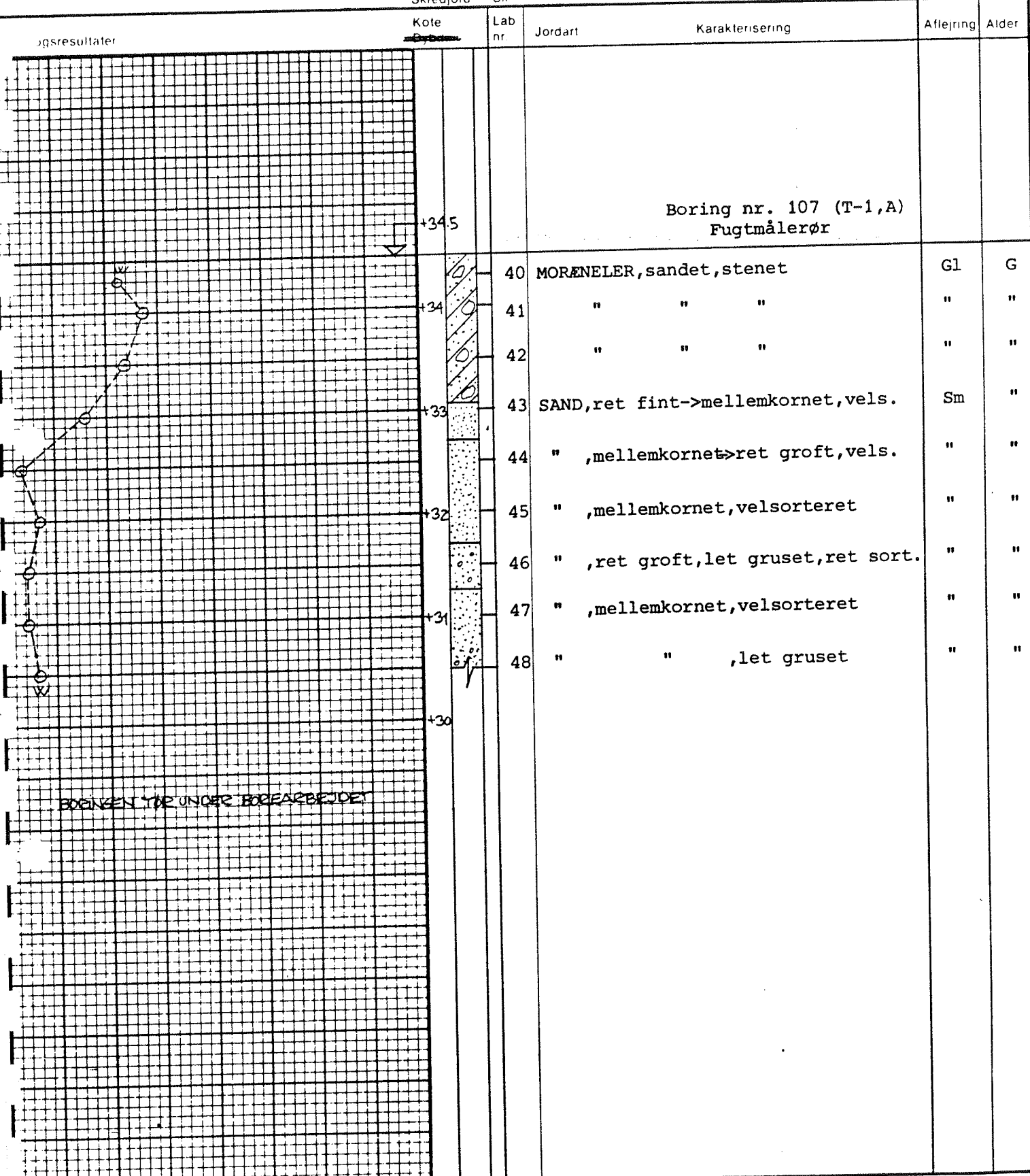


#### APPENDIX 4

Måleresultater fra jordfugtighedsmålinger ved varmelager.

## GEOLOGISKE FORKORTELSER

Aflejring	Ferskvand	F	Smeltevand	Sm	Alder	Postglacial	P
	Flydejord	Fl	Udskyl	U		Senglacial	S
	Gletscher	Gl	Vind	V		Glacial	G
	Marin	M				Interglacial	I
	Nedskyl	N				Tertiær	T
	Overjord	O				Danien	Da
	Skredjord	Sk				Senon (Kridt)	Se



10 20 30

100 200 300

18 20 22

w

%

c<sub>v</sub>c<sub>v</sub>kN/m<sup>2</sup>kN/m<sup>2</sup>

Y

kN/m<sup>3</sup>Geoteknisk Institut  
København 02-88 44 44 Århus 06-27 31 11

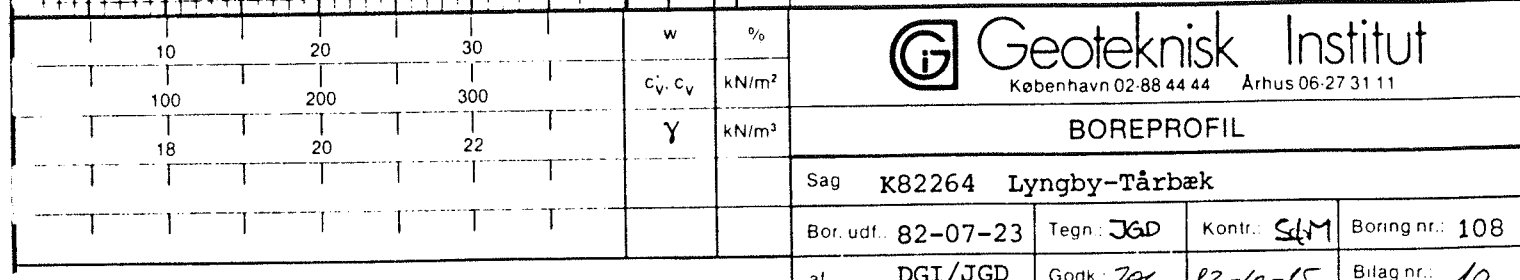
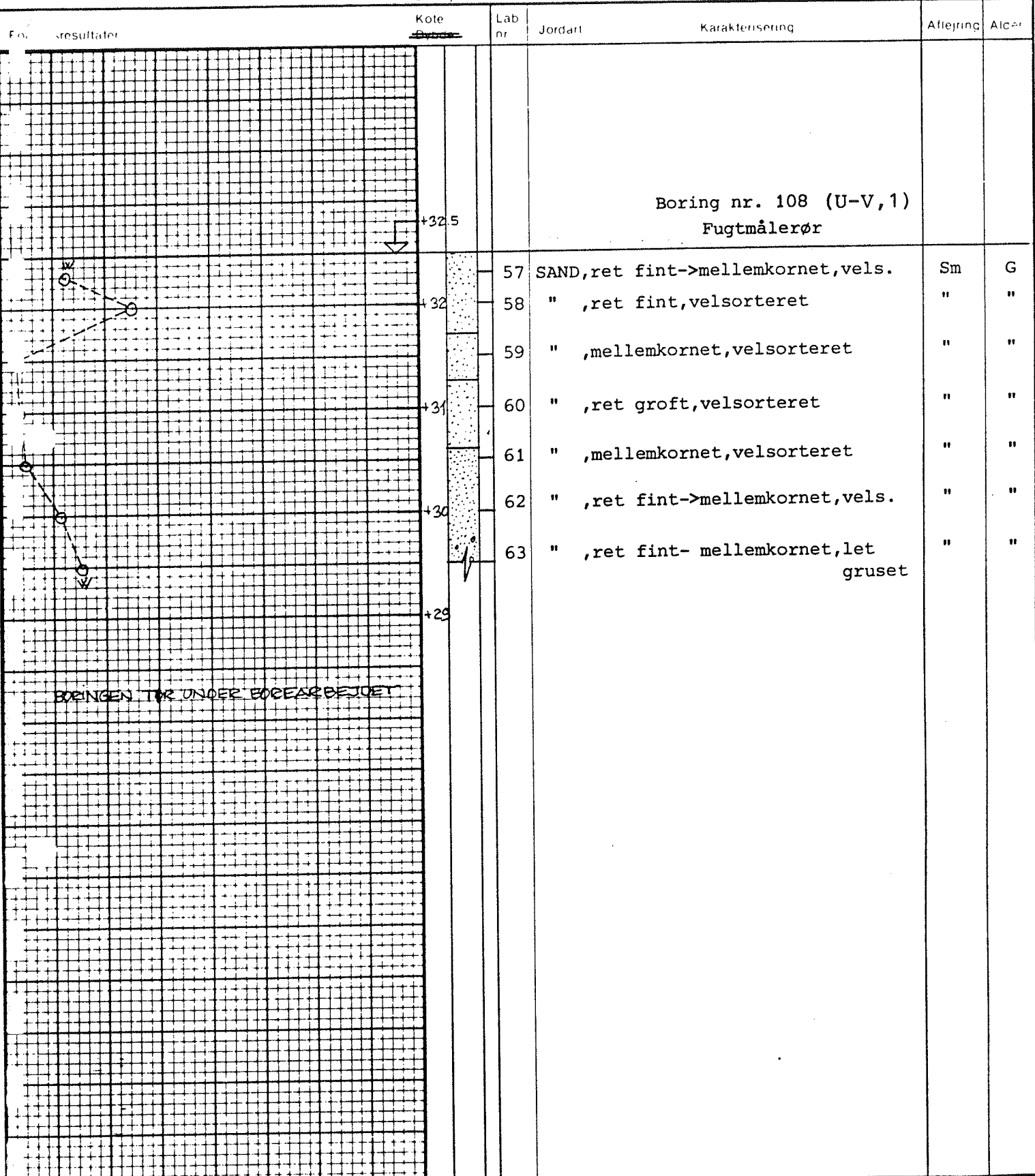
## BOREPROFIL

Sag K82264 Lyngby-Tårbæk

Bor. udf.. 82-07-22 Tegn.: JGD Kontr.: SGM Boring nr.: 107

## EOLOGISKE FORKORTELSER

Arlæring	Ferskvand	F	Smedlevand	Sm	Alder	Postglacia
	Flydedjord	Fl	Udskyl	U		Senglaciale
	Gletscher	Gl	Vind	V		Glacial
	Marin	M				Interglacial
	Nedskyl	N				Tertiær
	Overjord	O				Danien
	Skredjord	Sk				Senor (Kridt)



## GEOLOGISKE FORKORTELSER

Aflejring

Ferskvand	F
Flydejord	Fl
Gletscher	Gl
Marin	M
Nedskyl	N
Overjord	O
Skredjord	Sk

Smeltevand	Sm
Udskyl	U
Vind	V

Alder

Postglacial	P
Senglacial	S
Glacial	G
Interglacial	I
Tertiær	T
Danien	Da
Senon (Kridt)	Se

gsresultater

Kote	Lab
Depth	nr

Jordart

Karakterisering

Aflejring

Alder

+325

Boring nr. 109 (V-X, 1)  
Fugtmålerør

+32

MORÆNELER, sandet, stenet  
SAND, ret fint, velsorteret

Gl  
Sm

+31

" " "

" "

+30

" " "

" "

+29

" " " , let gruset, velsorteret

" "

BORINGEN TØR UNDER BØREARBEJDET

10 20 30

w

%

100 200 300

 $c_v^*, c_v$ kN/m<sup>2</sup>

18 20 22

γ

kN/m<sup>3</sup>

Geoteknisk Institut  
København 02-88 44 44 Arhus 06-27 31 11

## BOREPROFIL

Sag K82264 Lyngby-Tårbæk

Bor. udf. 82-07-23

Tegn.: JGD

Kontr.: SGM

Boring nr.: 109

Måling af jordvand den 9/8 1982 foretaget af  
K.J. Kristensen, HYDROTEKNISK LABORATORIUM.

volumen % vand

DGI-profil nr.	Dybde	Neutronudstyr	DGI-prøver *)
107	20	17,9      18,1	16,5
	50	21,2      21,8	20,3
	100	21,8      22,1	18,0
	150	10,9      11,1	11,3
	200	2,4      2,3	3,0
	250	4,7      4,5	6,8
	200	4,0      4,3	3,8
	350	3,8      3,7	3,8
108	20	8,6      9,1	9,8
	50	21,1      20,1	18,8
	100	9,1      10,0	1,0
	150	2,3      2,2	1,5
	200	5,5      5,5	2,3
	250	9,7      10,4	8,3
	300	11,1      11,5	11,3
109	20	11,1      10,7	14,3
	50	10,2      10,5	12,8
	100	11,4      12,0	12,8
	150	6,8      6,3	6,8
	200	9,3      9,5	20,3
	250	13,8      13,7	12,8
	300	12,2      11,5	9,0

\*) Vægt% ·  $\rho_{t\phi r}$  ( $\rho_{t\phi r} = 1,5$ )

HYDROTEKNIISK LABORATORIUM  
DEN KGL. VETERINÆR- OG LANDBOHØJSKOLE

AGROVEJ 10 . 2630 TAASTRUP

TLF. (02) 99 26 13

Dato: 17. august 1983

Ref.: KJK/jq

Hr. Kurt Kielsgaard Hansen,  
Laboratoriet for Varmisolering,  
D.T.H. Bygning 118,  
2800 Lyngby.

Vedrørende jordfugtighedsmætning ved varmelager.

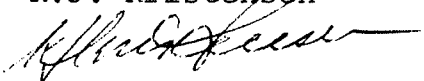
/. Vedlagt sendes en oversigt over de målte vandindhold i jorden. Jeg tror, tabellerne kan forklare sig selv. Som det fremgår, er der ikke større ændring gennem måleperioden bortset fra de øverste måledybder (25 og 50 cm under terræn). Her er ændringerne overvejende bestemt af, hvor lang tid efter nedbør, målingerne er foretaget. Der er ikke, efter min vurdering baggrund for at antage termisk varmetransport i jorden i de afstande fra varmelageret, hvor målingerne har fundet sted. De fundne tidsmæssige ændringer i givne dybder kan forklares med metodens naturlige måleusikkerhed og eventuelt gennemsivende nedbør.

De viste resultater kan være for påvirkede af, at der er foretaget jordarbejder m.v. på arealet i måleperioden, og, som nævnt, af mulighed for tilgang af vand fra nedbøren. For med større sikkerhed at bestemme en eventuel termisk betinget vanddamptransport, bør et rimeligt stort areal omkring målestederne belægges med vandtæt materiale, således at tilgang fra nedbør o.a. og fordampning til atmosfæren hindres.

Jeg er af den opfattelse, at fortsat måling under nuværende forhold ikke giver yderligere information. Jeg foreslår, du tager kontakt med mig, når du har set på materialet, med henblik på at aftale om målingerne skal fortsættes.

Med venlig hilsen

K.J. Kristensen



Rør nr.	Målt			Vandindhold (vol. %) i dybde (cm) u. terræn.								
	A	M	D	Nedbør mm	25	50	100	150	200	250	300	350
R 1 2861	8	16	-	-	22.7	22.5	24.1	19.9	19.2	15.3	15.5	3.0
	10	7	74	21.7	20.5	24.7	22.4	24.6	19.1	19.1	15.5	3.0
	13	13	14	25.9	20.9	25.9	22.9	25.4	19.9	19.6	15.9	2.8
	20	38	26.8	21.6	25.3	22.8	25.3	20.3	21.5	18.2	18.1	4.9
	26	15	25.9	21.0	25.5	23.0	24.7	20.3	21.2	18.1	18.1	4.8
	11	2	26.5	21.4	25.8	22.6	24.9	20.2	19.9	16.4	16.4	4.5
	9	0	25.0	21.0	24.9	23.2	24.9	20.0	19.9	16.3	16.3	3.8
	16	7	24.6	20.5	25.0	23.1	25.0	19.5	19.4	16.0	16.0	4.0
	23	25	26.1	21.3	25.3	23.0	25.2	20.3	20.7	16.8	16.8	4.2
	1	3	70	26.1	20.4	24.7	23.3	24.3	19.4	19.7	16.1	4.3
S 861	28	41	25.6	21.0	24.8	23.1	24.8	19.8	19.2	15.9	15.9	3.4
	23	21	21.7	20.9	24.4	22.8	24.7	19.3	19.5	15.9	15.9	3.6
	24	75	27.2	20.6	24.9	22.5	24.6	19.6	19.8	17.5	17.5	4.7
	4	26	87	24.0	21.9	25.1	22.7	25.2	19.7	19.4	15.2	3.7
	5	24	83	25.3	21.4	24.7	23.7	25.6	19.9	19.7	15.9	4.2
	6	22	69	22.2	21.8	24.6	23.3	25.5	20.0	19.8	14.5	3.3
	7	13	22	22.3	21.3	24.7	23.3	25.3	19.0	19.0	14.4	2.6
	8	12	4	19.6	20.6	24.3	23.1	25.3	18.8	19.1	14.4	2.2

1) Målt på Højbakkegård, Tåstrup.

Rør nr.	Målt			Nedbør mm	Vandindhold (vol%)			i dybde (cm)	u. terræn.	350	371
	A	M	D		25	50	100	150	200	250	
	8	16	-	24.1	24.6	22.0	26.6	28.2	24.4	22.9	23.9
	10	7	74	22.0	24.9	22.7	25.6	27.2	23.2	21.9	22.5
		13	14	26.4	25.4	23.0	26.3	27.6	23.6	22.7	22.2
R 2	20	38	26.4	25.8	23.4	26.6	27.0	23.3	22.6	22.7	23.0
286	26	15	26.9	26.4	23.3	26.2	27.2	23.5	22.0	22.4	23.3
H 11	2	2	26.3	26.0	23.1	25.9	27.2	23.4	22.9	22.1	23.0
	9	0	26.3	26.3	22.6	26.2	27.1	23.4	22.3	22.1	23.0
	16	7	26.3	25.3	23.2	25.8	26.9	23.0	22.5	21.6	22.9
	23	25	27.3	26.3	22.6	26.1	26.6	23.2	22.9	22.1	23.3
	1	3	70	28.6	25.4	22.1	25.6	26.6	22.8	22.1	21.8
	28	41	28.7	25.5	22.9	25.7	26.6	22.9	22.6	21.6	22.7
	2	23	21	28.5	25.5	22.0	26.0	26.3	22.5	21.7	21.3
	3	24	75	29.2	25.5	22.8	25.5	26.7	22.7	22.2	21.4
	4	26	87	28.2	26.5	22.2	26.0	25.9	22.6	21.8	22.7
286T	5	24	83	28.5	26.1	22.8	26.7	27.2	23.6	23.3	23.4
	6	22	69	27.0	27.0	22.5	25.7	26.2	22.6	22.2	22.8
	7	13	22	25.2	26.5	21.9	25.9	26.5	22.3	22.6	23.0
	8	12	4	22.0	26.3	21.2	25.5	26.5	22.3	21.8	21.7

1) Målt på Højbakkegård, Tåstrup.

Rør nr.	Målt			Nedbør mm	25	50	100	150	200	250	300	323
	A	M	D									
8	16	-	-	-	-	10.0	22.7	22.1	27.7	26.7	21.7	17.8
10	7	74	4.5	24.7	25.4	26.1	22.5	23.2	27.3	26.8	21.7	17.7
13	13	14	9.0	-	-	-	-	-	-	27.3	22.4	18.2
S 1	20	38	7.7	26.3	25.3	25.0	22.7	22.4	26.8	26.7	22.2	17.8
26	15	8.1	26.8	19.2	26.0	25.4	23.0	22.4	27.4	26.9	22.3	18.2
2	11	2	2	7.0	14.8	14.8	25.7	22.7	27.0	27.0	22.5	18.2
861	9	0	6.0	7.1	15.5	15.5	23.3	23.3	27.0	26.8	22.5	18.3
16	7	7	7.1	9.5	28.7	25.9	23.1	23.1	27.5	26.6	22.5	17.8
23	25	-	-	-	-	-	-	-	-	26.4	22.3	18.2
1	3	70	29.5	25.3	25.3	25.3	22.6	22.6	26.7	26.7	21.7	17.6
28	41	28.0	28.0	25.4	25.4	25.4	22.8	22.8	26.8	26.7	22.0	18.0
2	23	21	27.7	25.1	26.0	25.1	23.0	23.0	27.2	26.6	21.8	17.7
3	24	75	28.6	24.9	26.2	24.9	22.9	22.9	26.8	26.8	21.6	17.5
4	26	87	27.4	25.9	25.7	25.7	22.7	22.7	27.1	26.2	22.2	17.6
861	5	83	28.4	24.9	25.9	25.9	23.2	23.2	27.7	27.7	21.9	17.5
6	22	69	29.2	26.1	25.7	25.7	23.2	23.2	27.1	27.1	21.7	17.4
7	13	22	28.8	25.6	25.2	25.2	23.5	23.5	27.2	26.4	21.4	17.6
8	12	4	28.5	25.7	25.3	25.3	22.9	22.9	27.6	26.1	21.7	17.6

1) Målt på Højbakkegård, Tåstrup

1) Vandindhold (vol.-%) i dybde (cm) u. terræn.

Rør nr.	Målt			Nedbør mm	Vandindhold (vol.-%) i dybde (cm) u. terræn.					
	A	M	D		25	50	100	150	200	250
S 2	20	38	28.5	29.0	19.2	26.4	26.4	29.2	22.0	22.9
Z861	26	15	28.6	28.9	19.4	27.0	26.9	26.9	20.4	22.1
	11	2	23.5	28.8	19.4	26.2	26.4	26.4	20.2	22.6
	9	0	19.4	28.1	19.3	26.4	26.5	26.5	20.5	21.8
	16	7	22.6	28.1	19.6	26.2	26.5	26.5	20.5	22.1
	23	25	27.4	28.5	19.1	28.0	27.0	27.0	20.6	21.9
										22.3
	1	3	70	30.8	28.7	18.9	26.4	26.5	20.2	21.6
	2	28	41	31.3	28.8	19.0	25.7	26.1	20.1	21.3
	2	23	21	28.3	28.9	19.0	26.5	25.9	19.7	21.1
	3	24	75	30.3	28.8	19.4	25.9	26.6	20.1	21.3
	4	26	87	29.7	30.0	19.0	26.1	26.2	19.8	21.3
	5	24	83	30.4	29.6	19.5	26.3	26.0	20.7	22.9
Z861	6	22	69	28.3	29.8	19.5	26.6	26.1	20.1	21.7
	7	13	22	27.6	29.7	19.3	26.5	25.9	20.3	21.3
	8	12	4	26.3	29.2	19.4	26.8	26.0	20.0	21.3

1) Målt på Højbakkegård, Tåstrup.